

საქართველოს გერამიკოსთა  
ასოციაციის აურნალი

კერამიკა



CERAMICS



JOURNAL OF THE GEORGIAN  
CERAMISTS' ASSOCIATION

Vol. 18. 1(35). 2016

ISSN 1512-0325

saqar T vel o s ker ami ko sT a aso ci aci i s J ur n al i  
**JOURNAL OF THE GEORGIAN CERAMISTS' ASSOCIATION**



ker ami ka **CERAMICS**

samecni er o-teqni kuri da sawarmoo il ustrirebuli,  
registrirebuli, referirebadi Jurnal i

*Vol. 18. 1(35).2016*

## სარედაქციო ბოლუბია:

ი. ბერძენიშვილი, გ. ბიბილაშვილი, გ. გაფრინდაშვილი (მთ. რედ. მოადგილე), ლ. გვასალია, ა. გრიგოლიშვილი, ელ. ელიზარაშვილი, დ. ერისთავი, ლ. თოფურია, რ. თურმანიძე, მ. კმპელიძე, ხ. კოვზირიძე (მთ. რედაქტორი), ნ. კუციავა, მ. მაისურაძე, რ. მამალაძე (მთ. რედ. მოად.), ხ. მესტვირიშვილი, მ. მუჯირი, ნ. ნიჟარაძე (პასუხისმგებელი მდივანი), დ. ნოზაძე, მ. ოქროსაშვილი, ა. სარუხანიშვილი (მთ. რედ. მოად.), გ. ტაბატაძე, რ. ქაცარავა, ქ. შავაქიძე, ჯ. შენგელია, რ. ხუროძე, თ. ჭეიშვილი, დ. ჯინჯარაძე

## EDITORIAL BOARD:

I. Berdzenishvili, M. Bibilashvili, T. Cheishvili, E. Elizbarashvili, D. Eristavi, G. Gaprindashvili (vice-editor-in-chief), A. Grigolishvili, L. Gvasalia, D. Jincharadze, R. Katsarava, M. Kekelidze, R. Khurodze, Z. Kovziridze (editor-in-chief), N. Kuciava, M. Maisuradze, R. Mamaladze (vice-editor-in-chief), Z. Mestvirishvili, M. Mujiri, N. Nizharadze (executive secretary), D. Nozadze, M. Okrosashvili, A. Sarukhanishvili (vice-editor-in-chief), E. Shapakidze, J. Shengelia, G. Tabatadze, L. Topuria, R. Turmanidze

## РЕДАКЦИОННАЯ КОЛЛЕГИЯ:

И. Бердзенишвили, М. Бибилашвили, Г. Гаприндашвили (заместитель главного редактора), Л. Гвасалиа, А. Григолишвили, Д. Джинчарадзе, Р. Кацарава, М. Кекелидзе, З. Ковзиридзе (главный редактор), Н. Куциава, М. Маисурадзе, Р. Мамаладзе (заместитель главного редактора), З. Мествиришвили, М. Муджири, Н. Нижарадзе (ответственный секретарь), Д. Нозадзе, М. Оクロсашвили, А. Саруханишвили (заместитель главного редактора), Г. Табатадзе, Л. Топурия, Р. Турманилзе, Е. Шапакидзе, Дж. Шенгелия, Р. Хуродзе, Т. Чеишвили, Э. Элизбарашвили, Д. Эристави

შურცელები „კერამიკა“  
გამოქვეყნებული სტატიების  
მინიმუმი 10 გვარისა

კვლა სახის მინის,  
კერამიკის, კერამიკული და  
არღიანული კომპოზიტების,  
ზეგამატარი გასაღვების,  
ჭიქურის და მინერალის,  
სხეული ქვის,  
მინერალური ბაზის,  
მჭიდრა გასაღვების, ცემენტის და სხვა  
არეალებისას,  
კერა და ტრადიციული გასაღის  
სფეროში  
ჩატარებული სამეცნიერო კვლევები,  
მათი მიღების ტემისა და  
ტერიტორია, ნარიტებისა და  
ნაციონალური  
კერა და ტრადიციული კომპოზიტების  
მინიმუმი 10 გვარის დაცვა.  
კერა და ტრადიციული კომპოზიტების  
მინიმუმი 10 გვარის დაცვა.

შურცელები აგრეთვე  
შესაძლებელია განთავსდეს  
სტატიები შემდეგ საკითხების:

- ✓ ახალი ტექნიკა, მოწყობილობა  
საწარმოთა და წარმოების ტექნიკუ-  
რი გადამარტინება.
- ✓ საწარმოების ბაზის განვითა-  
რება, ნედლეულის რაციონალური  
გამოყენება, მათ შორის ადგილობ-  
რივი წარმოების ნაწინები.
- ✓ რესურსების და ენერგეტიკული  
ტექნოლოგიები. გარემოს დაცვა.
- ✓ საწარმოთა სამეცნიერო მოდელე-  
ობა საბაზრო პირობებში, ეკონომი-  
კა, მირეკერძობა.
- ✓ საქართვის გამოცდილება.
- ✓ ინფორმაცია, რეკლამა.

გამოყენების სფეროები

- ენერგეტიკა
- მშენებლობა
- სახალხო მოხმარების საგნები
- ქიმია და ქიმიური ტექნოლოგია
- მასალათმცოდნეობა
- მეტალურგია
- ელექტრონიკა და ელექტროტექნიკა
- მედიცინა
- ოპტიკა
- სხვა სფეროები
- გარემოს დაცვა

# მეცნიერება და ტექნოლოგია

შპ 666.291.3

0670 საქართველოს სამართლებული კოდექსის ტექნიკური უნივერსიტეტი

## გ. გაფრინდაშვილი

ქადაგი და ბიოლოგიური ტექნოლოგიების დეპარტამენტი, საქართველოს ტექნიკური უნივერსიტეტი,  
საქართველო, 0175, თბილისი, კოსტავას 69

E-mail: g.gafriashvili@gtu.ge

**რეზიუმე:** განხილულია ინფრაწითელი სხივებით პურ-ფუნთუშეული პროცესების ცხობის ტექნოლოგიის თავისებურებები. სინთეზირებულია ადგილობრივი ბუნებრივი ნედლეულების გამოყენებით თერმულად მდგრადი კერამიკა და შემცხვევარი მასა მაღალი სიშავის კოეფიციენტით, რაც უზრუნველყოფს ცხობის ინტენსიურობას.

**საკვანძო სიტყვები:** ინფრაწითელი სხივები; კონკრეტული და ახლებური რეერით ყოველთვის იწვევდა ეჭვს – ხომ არ უარესდება ამით პურ-ფუნთუშეულის სარისხი? ასეთი ეჭვები განსაკუთრებით მაშინ გამადაფრდა, როდესაც ფირმა „Baxteley გმბх“-მა პურის მცხობელთა საერთაშორისო გამოყენაზე – iba ბაზარზე პირველად გამოიტანა პურის საცხობი თაროებიანი მინიჭებულები STIR (Selektives Transformiertes Infra Rot (გამოყოფილი ტრანსფორმირებული ინფრაწითელი გამოსხივება).

## 1. შესავალი

ცხობის სანგრძლივობის შემცირება, ტექნიკური და ტექნოლოგიური პროცესების სრულყოფილი და ახლებური რეერით ყოველთვის იწვევდა ეჭვს – ხომ არ უარესდება ამით პურ-ფუნთუშეულის სარისხი? ასეთი ეჭვები განსაკუთრებით მაშინ გამადაფრდა, როდესაც ფირმა „Baxteley გმბх“-მა პურის მცხობელთა საერთაშორისო გამოყენაზე – iba ბაზარზე პირველად გამოიტანა პურის საცხობი თაროებიანი მინიჭებულები STIR (Selektives Transformiertes Infra Rot (გამოყოფილი ტრანსფორმირებული ინფრაწითელი გამოსხივება).

STIR დანადგარის ტექნოლოგიით დუმლის სამუშაო კამერის შიგა ზედაპირი დაფარულია საეციალური კერამიკული მასით, რომელიც საშუალებას იძლევა მივიღოთ ნაკადი, რომლის 70–80% ინფრაწითელი სხივებია ანუ სითბური ენერგიის მასალაზე გადაცემის სახეობებიდან (კონკრეტული, ჩვეულებრივი გამოსხივება და კონდექცია) 80%-მდე ინფრაწითელ სხივებზე მოდის.

## 2. ძირითადი ნაწილი

ცნობილია, რომ ბუნებაში არსებული ნებისმიერი სხივი, რომლის ტემპერატურა აღმატება აბსოლუტური ნულის ტემპერატურას, ინფრაწითელი გამოსხივების წეროა [1]. გამოსხივებული ენერგიის სიდიდე დამოკიდებულია სხივის ტემპერატურაზე, გამოსხივების ინტენსიურულებაზე, კოეფიციენტსა (სხივის სიშავის

კოეფიციენტი) და გამომსხივებელი სხივების ზედაპირის ფარობზე. ინფრაწითელი გამოსხივების ყველაზე დიდი ბუნებრივი წერო მზეა. ზაფხულის პერიოდში ინფრაწითელი გამოსხივების წილი მზის სპეციალურში შეადგენს არანაკლებ 50%-ს, ხოლო ვარვარ ნათურებში – 95%-ს. სახელწოდება „ინფრაწითელი“ ნაწარმოებია ლათინურიდან – infra – დაბლა, ქვემოთ, ვინაიდან ეს სხივები თვალით უხილავი ელექტრომაგნიტური გამოსხივებაა, მოთავსებულია სპეციალური სეფეროში 0,77–420 მგმ სიგრძის ტალღის ზონაში ანუ მოქცეულია სპეციალური სილუდ წითელ სხივებსა და ულტრამოკლე რადიოტალღებს შორის.

ინფრაწითელი სხივები პირობითად შეიძლება დავკროთ სპეციალური სამ უბნად: მოკლეტალღიანი (0,77–15 მგმ), საშუალოტალღიანი (15–100 მგმ) და გრძელტალღიანი (100–420 მგმ). ინფრაწითელი გახურების ტექნიკაში პრაქტიკული გამოყენება აქვს მოკლეტალღიან ინფრაწითელ სხივებს, მათ ზოგჯერ სითბურს უწოდებენ, ვინაიდან მათი ინტენსიურობა განისაზღვრება გამომსხივებელი სხივის ტემპერატურით.

იმის გამო, რომ ინფრაწითელი სხივები ხასიათდება მასალაში დიდი შედევებადობის უნარით, აღნიშნულ ღუმელში პურის ცხობა მიმდინარეობს შიგნიდან გარე ზედაპირისკენ და არა ისე, როგორც დღეს არსებულ ქარხნებში – გარედან შიგნით. ცხობის ასეთი რეჟიმი საშუალებას გვაძლევს პურის ცხობის სანგრძლივობა თითქმის 50% შევამციროთ. პურის სარისხს შორის განსხვავება ტრადიციულ კონკრეტურ დუმლებში ცხობასა და ახალი ტექნოლოგიით ცხობას შორის არ არსებობს, რაც დასტურდება პრაქტიკაში სანგრძლივი დაკვირვებისა და კონტროლის შედეგად.

ინფრაწითელ გამოსხივებას აქვს ორი მნიშვნელოვანი მახასიათებელი: გამომსხივებელი სხივების ტალღის სიგრძე (გამოსხივების უნარი) და გამოსხივების ინტენსიურობა. ენერგიის სრულ რაოდენობას, გამოსხივებული დროის ერთეულში, ერთეული ზედაპირიდან უწოდებენ ინფრაწითელი გამოსხივების უნარს – E,  $B_T/M^2$ . გამოსხივების ენერგია დამოკიდებულია ტალღის სიგრძესა და გამომსხივებელი ზედაპირის ტემპერატურაზე, რომელიც ინტენსიურ მახასია-

თებელია, ვინაიდან მსედველობაში მიიღება ყველა ტალღის ენერგია. გამოსხივების უნარს, რომელიც მიეკუთვნება ძლი სიგრძის ტალღის ინტეგრალს, ეწოდება გამოსხივების ინტენსიურობა – I,  $B_T/(M^2 \cdot MKM)$ .

$$I = \frac{dE}{dt} \text{ გაინტეგრალებით } E = \int_{\lambda_1}^{\lambda_2} I \, d\lambda.$$

გამომსხივებლის სიმძლავრის გაზრდით და, შესაბამისად, გამომსხივებელი ზედაპირის ტემპერატურის გაზრდით ასევე იზრდება სხივების ინტენსიურობა, ხოლო გამოსხივების სპექტრი გადადის მცირე სიგრძის ტალღის სფეროში, ამ დროს გამოსხივების ინტენსიურობის პიკი (სპექტრის 85–90%) ხვდება 1,5–6მკმ სიგრძის ტალღის დიაპაზონში, რაც შეესაბამება ინფრაწითელი სხივებით ცხობისა და შრობის ოპტიმალურ რეჟიმს [2].

ცნობილია მასალების სითბური დამუშავების სხვადასხვა ხერხი და მეთოდი, მაგრამ დღეს ყველაზე მნიშვნელოვანი ეფექტურობისა და ეკონომიკური მაჩვენებლების თვალსაზრისით სხივური მეთოდია ანუ სითბური ენერგიის გადაცემა გახურებული წყაროდან ობიექტისადმი გამოსხივების გზით. იგულისხმება არა ხვეულებრივი სხივური ნაკადი, არამედ ინფრაწითელი გამოსხივება. ინფრაწითელი სხივები თითქმის არ შთაინთქმება და არ გაიბრუნება ატმოსფეროში, ხასიათდება დიდი შედწევადობის უნარით. აღნიშნული უნიკალური თვისებები საშუალებას გვაძლევს ინფრაწითელი გამოსხივება ფართოდ გამოვიყენოთ სხვადასხვა მასალის თერმული დამუშავებისას (დნობა, შეცხობა, წრთობა, შრობა, პოლიმერიზაცია, ქიმიური და ბიოლოგიური პროცესების სტიმულირება და ა.შ.).

კერამიკული მასის შერჩევისას გამოყენებული ნედლეულის სახეობა განვსაზღვრეთ, ერთი მხრივ, მიღებული პროდუქციისადმი წაყენებული მოთხოვნილების და, მეორე მხრივ, წარმოების შერჩეული ტექნოლოგიური პროცესების თავისებურებიდან გამომდინარე.

ცნობილია კერამიკული მასების შედეგენილობა პერფორირებული ფორმის ფილების დასამზადებლად, რომელთა დაყალიბება პლასტიკური მეთოდით ხდება საეციალურ წესებზე განსაზღვრული ხომის ნემსისებრი პუანსონის გამოყენებით. კერამიკული კაზმის შედეგენილობაში გამოვიყენეთ ადგილობრივი ბუნებრივი ნედლეულები: ჯვარისა-გურიის კაოლინი, ოზურგეთის კაოლინიზებული ტრაქიტი, ფარაგნის პერლიტი, ძირულის თალკი და მინის ლეზი [3].

მნიშვნელოვანია ინფრაწითელი სხივებით სითბური დამუშავების ეფექტურობა, განსაკუთრებით კვების პროდუქტების მიმართ. ოპტიმალური სიგრძის ტალღის დროს ინფრაწითელი გამოსხივება ინტენსიურად შთაინთქმება იმ წყლის მიერ, რომელიც მასალაშია, მაგრამ არ შთაინთქმება ან უმნიშვნელოდ შთაინთქმება თვით მასალით. ეს ნიშნავს, რომ წყლის მოცი-

ლება აორთქლებით შესაძლებელია მასალის უმნიშვნელო გახურების პირობებში ( $\sim 60^\circ C$ ). წარმოდგენილი თერმული რეჟიმი საშუალებას გაძლევს პრაქტიკულად მთლიანად შევინარჩუნოთ კვების პროდუქტებში ვიტამინები, ბიოლოგიურად აქტიური ნივთიერებები, არომატი, გემოვნება და სხვა მნიშვნელოვანი დანამატები.

ჯვარისას კაოლინები მდებარეობს საღუროპირიდან 8 კმ-ის დაშორებით ჩრდილოეთი მიმართულებით და მასთან დაკავშირებულია სააგტომობილო გზით. საბადო იყოფა ორ მონაკვეთად: ელიაზმინდა და წიქარაული. კაოლინის მარაგი  $A_2+B+C_1+C_2$  კატეგორიით 1,591611 ტონაა. რაც შეეხება გურნის კაოლინურ თხების საბადო მდებარეობს სოფ. გურნიდან აღმოსავლეთით 1–2 კმ-ზე თხისზურგის (ადგილი) მიდამოებში რკინიგზის სადგურ ორპირიდან 17 კმ-ზე, 650–670 მ აბსოლუტურ სიმაღლეზე. აღგილმდებარეობის ფართობი 20 ჰექტარია.

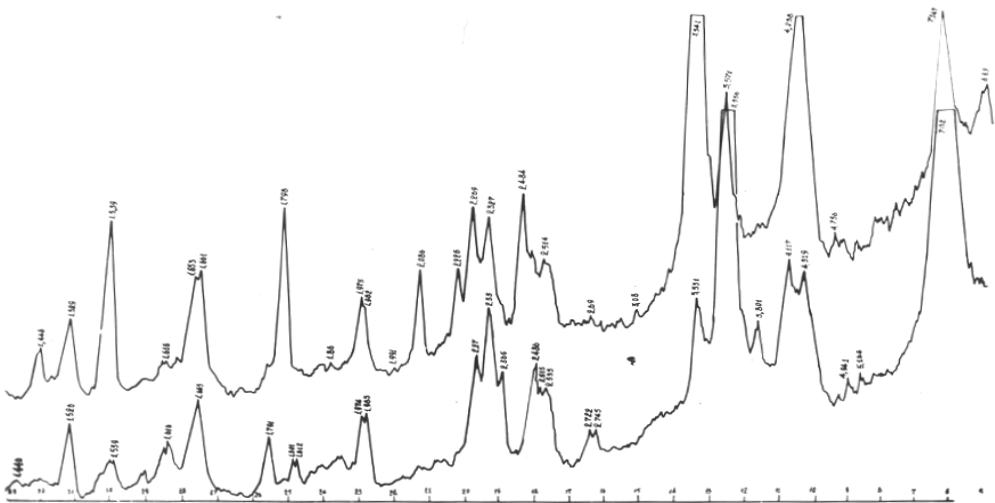
გურნის სელექციური კაოლინი მიეკუთვნება მაღალ ტემპერატურაზე შეცხობად კერამიკულ ნედლეულს, რომლის გამკვრივების ინტერვალი  $1100$ – $1350^\circ C$  ტემპერატურის ფარგლებშია.

გურნის კაოლინის რენტგენოგრამაზე (სურ. 1, შედარებისათვის მოვცავს პროსიანოვის კაოლინის რენტგენოგრამა) წარმოდგენილია შემდგვი ძირითადი პიები:

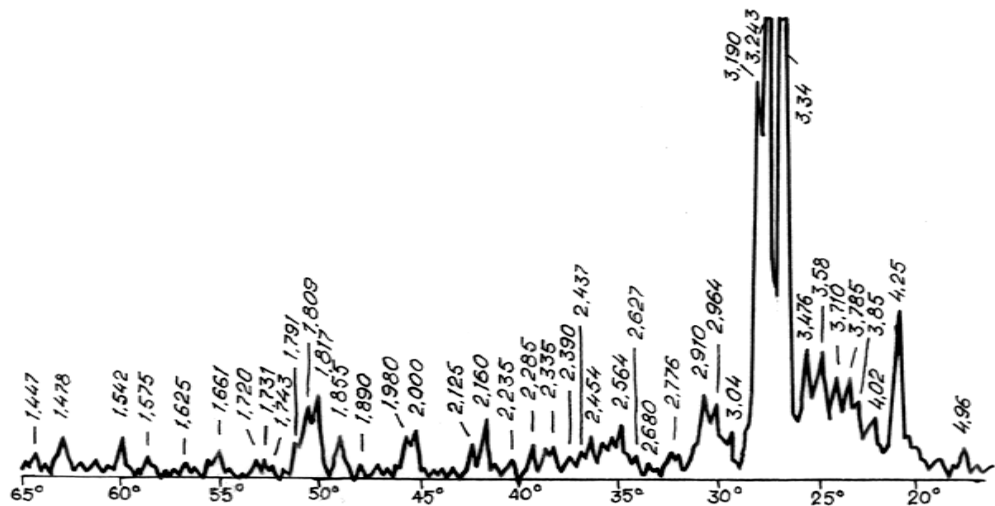
$d=7,147\text{ \AA}$ ;  $3,571\text{ \AA}$ ;  $2,328\text{ \AA}$ ;  $1,661\text{ \AA}$  დამახასიათებელია კაოლინიტისათვის,  $d=4,239\text{ \AA}$ ;  $3,341\text{ \AA}$ ;  $2,086\text{ \AA}$ ;  $1,639\text{ \AA}$ ;  $1,372\text{ \AA}$  – კვარცისათვის;  $d=4,182\text{ \AA}$ ;  $2,163\text{ \AA}$ ;  $1,991\text{ \AA}$ ;  $1,798\text{ \AA}$  – მიკროკლინისათვის;  $d=2,691\text{ \AA}$ ;  $1,78\text{ \AA}$  – მინერალ ჰემატიტისათვის.

გახული საუკუნის 70-იან წლებში პროფ. კ. ქუთაოელაძის და გ. გაფრინდაშვილის მიერ საფუძვლიანი იქნა შესწავლილი ტრაქიტები, როგორც მინდვრის შპატის შემცვლელი ბუნებრივი ნედლეული [4,5]. 2009–2010 წლებში დაძიებული იყო ოზურგეთის ტრაქიტის ახალი უბნები (მთისპირი, ყვითელაური), სადაც გამოვლინებულ იქნა მაღალი სისუფთავის კაოლინიზებული ტრაქიტები, როგორც ახალი კომპლექსური ნედლეული ძვლის ფაიფურის კაზმის შედეგნებიაში. კაოლინიზებული ტრაქიტის მთავარი მინერალი, ისევე როგორც ნებისმიერ ტრაქიტებში, კალიუმის მინდვრის შპატია, რომელიც წარმოქმნის წაგრძელებულ მიკროლიტებს ნაკადების სახით. ძირითადი მასის ასეთი აგებულება დამახასიათებელია ტრაქიტებისათვის და ტრაქიტული სტრუქტურის სახელწოდება მიიღო.

რენტგენფაზური ანალიზის მონაცემების თანახმად (სურ. 2), ძირითადი კრისტალური ფაზები წარმოდგენილია კალიუმის მინდვრის შპატის მინერალ ორთოკლაზის, კვარცისა და კაოლინიტის სახით ( $d=4,25$ ;  $3,58$ ;  $3,24\text{ \AA}$  – ორთოკლაზი;  $d=3,34$ ;  $2,45\text{ \AA}$  – კვარცი;  $d=3,58$ ;  $1,661\text{ \AA}$  – კაოლინიტი).



სურ. 1. გურნისა და პროსიანოვის კაოლინის რენტგენოგრამები



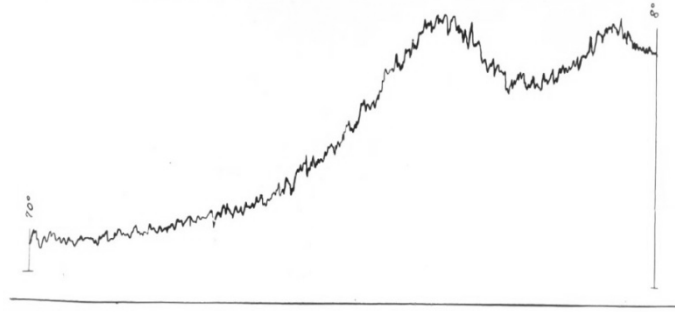
სურ. 2. კაოლინიზებული ტრაქიტის რენტგენოგრამა

ფარავნის პერლიტის საბადო მდებარეობს ნინოწმინდის რაიონში, ფარავნის ტბიდან 2–3 კმ-ზე. საბადო ზღვის დონიდან 2150–2250 მ-ზეა. იგი განლაგებულია ახალქალაქის რკინიგზის 101 კმ-ის მიმდებარე ტერიტორიაზე. დამიებული და დამტკიცებული მარაგები აღმატება  $A+B+C_1=14 \cdot 10^6$  მ<sup>3</sup>-ს. საპროგნოზო  $C_2=100 \cdot 10^6$  მ<sup>3</sup>-ს.

პერლიტი, როგორც დეფიციტური მინდვრის შპატის შემცვლელი ბუნებრივი მაღლობელი, კერამიკაში დანერგილია კ. ქუთათელაძის, ი. ხოზანიშვილის და გ. გაფრინდაშვილის მიერ [6, 7].

ჯერ კიდევ გასული საუკუნის 60-იან წლებში. ამ სიახლემ მიიღო საერთაშორისო ხასიათი და გამოიყენება მრავალ ქვეყანაში. ძალზე მნიშვნელოვანია, რომ პერლიტის გამოყენების შემთხვევაში მისი მარცვლების ზომა კერამიკაში იყოს ერთგვაროვანი და თანაბრად განაწილებული მოელ მოცულობაში [8, 9].

პერლიტი (ობსიდიანი) ვულკანური წარმოშობის მინისებრი ქანია, რაც დასტურდება აგრეთვე რენტგენოსტრუქტურული ანალიზითაც, შეიცავს ასევე მინარევებს, რომლებიც იმყოფება კოლოდურ-დისპერსიულ მდგომარეობაში (სურ. 3).



სურ. 3. ფარავნის პერლიტის  
რენტგენოგრამა

თალკის საბადო მდებარეობს ძირულის კრისტალური მასივის აღმოსავლეთ ნაწილში, მდინარეების – ლოპანისტელის და ჭერათხევის აუზში. თალკის შედგენლობა მერყეობს შემდეგ ფარგლებში:  $3\text{MgO}\cdot4\text{SiO}_2\cdot\text{H}_2\text{O}$ -დან  $4\text{MgO}\cdot5\text{SiO}_2\cdot\text{H}_2\text{O}$ -მდე ზღვრებში და მცირე რაოდენობით შეიცავს სხვა თქმიდების მინარევებსაც.

თიხების მსგავსად, თალკი გახურებით დაპირატაციას განიცდის და წარმოიქმნება კლინოენსტატიტი და კვარცი ( $\sim 1200 - 1300^\circ\text{C}$ ).

ტრადიციული კერამიკული ტექნოლოგიით (ნედლეულის შრობა –  $1050^\circ\text{C}$ , კაზმის შედგენა, ბირთვებიან წისქვილში სველი მეთოდით 3-ჯერადად დაფქვა, თანაფარდობა მ:ბ:წ – 1:1,5:1,3. შლიკერის გაუწყლოება თაბაშირის ფორმებში, რათა მივიღოთ პლასტიკური ცომის სინესტე – 18–19%, ფილების (ზომა  $6,5\times4,5\times1,3\text{მმ}$ ) დაწეხა, 1 ფილაზე 1,2 მმ დიამეტრის 650 ხერელი, შრობა, გამოწვა  $1060^\circ\text{C}$ ) მიღებული ფილები სრულად პასუხობს ინფრაწითელი გამოსხივების მასალებისადმი პრაქტიკული გამოყენების მოთხოვნილებებს. მასალის თხებ  $3,4\cdot10^{-6} \text{ }^\circ\text{C}^{-1}$   $20-800^\circ\text{C}$  ინტერვალში უზრუნველყოფს მნიშვნელოვან თერმულ მდგრადობას.

რენტგენფაზური ანალიზით დაახლოებით 65% კვარცი, 23% მულიტი, 12% კორდიერიტი მიიღება.

კირპხოფის კანონის თანახმად, სხეულის სხივშთანთქმის უნარი პირდაპირპროცესულია სხივგამოსხივების უნარის ანუ აბსოლუტურად შავი სხეული ხასიათება მაქსიმალური გამოსხივების უნარით, ამიტომ კერამიკული მასალის (კორდიერიტი, კლინოენსტატიტი, მულიტი, შამოტი) სიშავის კოეფიციენტი უნდა იყოს მაღალი. სინთეზირებულ ფილებს ვფარავთ სპეციალური კერამიკული მასით (წითლად წვადი ადგილობრივი თიხა, ჭიათურის მანგანუმი, ფარავნის პერლიტის საფუძველზე სინთეზირებული ფრიტა ან მინის ლენი) და ვწვავთ  $950^\circ\text{C}$ -ზე, სიშავის კოეფიციენტი თითქმის 98%-ია.

ამრიგად, მიღებულია მაღალი ხარისხის ინფრაწითელი სხივების გამომსხივებული კერა-

მიკული მასალა და დამუშავებულია მისი დამზადების ტექნოლოგია.

პურ-ფუნთუშეულის ცხობის ტექნოლოგია ინფრაწითელი სხივებით ფართოდაა გავრცელებული გერმანიაში, ავსტრიაში, იტალიასა და ევროპის სხვა ქვეყნებში და რაც მნიშვნელოვანია წარმოება უშუალოდ პურის მაღაზიებში ხდება (სურ. 4). ცხობის სრული პროცესი ჩემი თვალით მაქვს ნანახი: მაღაზიის ღუმლებთან დაკავშირებით აღვნიშნავ, რომ სართულებიანი ღუმლის წარმადობა მის მიერ დაკავებული ფართობის მიხედვით მნიშვნელოვნად აღმატება საყველთაოდ დომინირებულ კონვექციურ ღუმლებს. რაც შეეხება მოქნილობას ანუ ერთდროულად სხვადასხვა პროდუქტის ცხობა ღუმლის ნებისმიერ თაროზე, ცალკეული სისტემის მართვა, არავითარ სირთულეს არ წარმოადგენს.



სურ. 4. პურ-ფუნთუშეულის საცხობი სართულებიანი ღუმელი

### **3. დასკვნა**

ადგილობრივი არამაღნული ბუნებრივი ნედლეულების გამოყენებით მიღებულია თერმულად მდგრადი ქერამიკა კვარცის, მულიტის და კორდიერიტის ფაზური შემცველობით. სინთეზირებულია მაღალი სიშავის კოეფიციენტის კერამიკული მასა სისტემით –  $\text{SiO}_2$ -  $\text{Al}_2\text{O}_3$ - $\text{Fe}_2\text{O}_3$ - $\text{MnO}$ - $\text{MgO}$ - $\text{Na}_2\text{O}$ .

### **ლიტერატურა**

1. Политехнический словарь. Главный редактор акад.И.И.Артоболевский. М.: Советская Энциклопедия, 1977. - 187с.
2. Брамсон М.А. Инфракрасное излучение нагретых тел. М.: Наука, 1964. - 227 с.
3. გ. გაფრინდაშვილი. ტერმული მინანქარი ძვლის ფაიფურის ფუძეზე. თბილისი: საქართველოს ტექნიკური უნივერსიტეტი, 2015, 166 გვ.
4. Кутателадзе К.С., Гаприндашвили Г.Г. Применение трахита в качестве плавня при производстве

санитарных керамических изделий // Реферативная инф. Серия «Керамическая промышленность», вып. 2. М., 1980, с. 33-35.

5. Кутателадзе К.С., Гаприндашвили Г.Г. Трахит как плавень в производстве плиток для внутренней облицовки стен // Реферативная информация, серия «Керамическая промышленность», вып. 4. М., 1980, с.19-21.
6. Круглицкий И.М., Кутателадзе К.С., Гаприндашвили Г.Г., Мамаладзе Р.А. Применение новых заменителей для изготовления керамических масс. Изд. УкрНИИТИ, Киев, 1980, с. 38.
7. Хизанишвили И.Г., Гаприндашвили Г.Г. Фарфорофаянсовые изделия из перлитосодержащих масс // Сообщения АН ГССР, XV, #2, 1967, с.42-44/
8. Специальная керамика. Труды симпозиума Британского керамического общества. М., 1968. – 178 с.
9. Libermann. J. Reliability of Materials for High – Voltage Insulators. Am. Ceram. Soc Bull 79 (2000) [S], p, 55-58.

---

**УДК 666.291.3**

## **BAKING OF BAKERY PRODUCTS WITH APPLICATION OF INFRARED RAYS**

**G. Gafrindashvili**

**Resume:** A foundation of technology baking bakery products with application of infrared beams.

**Key words:** infrared rays; convection; polymerization; the punched form; X-ray analysis; mullite; cordierite; clinostatite.

---

**УДК 666.291.3**

## **ВЫПЕЧКА ХЛЕБОБУЛОЧНЫХ ПРОДУКТОВ С ПРИМЕНЕНИЕМ ИНФРАКРАСНЫХ ЛУЧЕЙ**

**Гаприндашвили Г.Г.**

**Резюме:** Разработана основа технологии выпечки хлебобулочных продуктов с применением инфракрасных лучей.

**Ключевые слова:** инфракрасные лучи; конвекция; полимеризация; перфорированная форма; рентгенофазовый анализ; клиноэнстит; муллит; кордиерит.

---

თბილისის პურის მეწარმეთა კავშირი  
კავშირის თავმჯდომარე მაღაზ დოლიძე  
ქ.თბილისი ზესტაფონის ქ. #11  
ტ. 266 32 97



THE UNION OF THE ENTERPRENEI  
OF THE LEAVENED BREAD OF TBILISI  
11 ZESTAPHONI AV. TBILISI  
TEL. 266 32 97

# 1

3 მაისი 2016 წ

### საქართველოს ტექნიკურ უნივერსიტეტს

პროფესორ გურამ გაფრინდაშვილის მიერ შემოთავაზებული პერფორირებული კერამიკული ფილა დამზადებული ქართული ადგილობრივი ბუნებრივი ნედლეულით (ჯვარისა გურნის, კაოლინი ღიზურების კაოლინიზირებული ტრაქტი, ფარავანის პერლიტი, ძირულის თალკი და მინის ლერი როგორც ტექნიკური ასევე ეკონომიკური და ტექნოლოგიური თვალსაზრისით მეტად მისმანებულოვნია, რადგანაც აღნიშნული სანთურით მიღებული ინფრასტრუქტურით გამოსხივება ეფექტურია. თუ გავითვალისწინებთ იმ გარემოებას რომ კვების მრეწველობაში და კერძოდ პურისა და საკონდიტრო მრეწველობაში ტექნოლოგიური პროცესების ინტენსიფიკაცია მოდერნიზაცია განხორციელდა ანუ დაჩქარდა ტექნოლოგიური პროცესები ინფრასტრუქტურით გამოსხივება უზრუნველყოფს საცხობ კამერაში თანაბარი ტემპერატურული რეჟიმის სრულყოფილებას ხელს უწყობს ნახევარფაბრიკატებში ცოში პურის გემოვნური თვისებების შენარჩუნებას მითუმეტეს ნახევარფაბრიკატებში (ცოში) სინესტე ასორტიმენტის მიხედვით 43-44-45%-ია ასეთი ფილებით შექმნილი თერმორეჟიმი საშუალებას გვაძლევს ვარეგულიროთ ცხობის პროცესი. განსაკუთრებით აღსანიშნავია ქართული პურის საცხობ ღუმელებში სანთურების ასეთი ფილებით აწყობილი კონსტრუქციის გამოყენება რაც ნახევარჯურ ზოგადს ბუნებრივი აირის ხარჯს. ასეთი სანთურები ტექნიკურადაც ადვილებს როგორც მონტაჟს ასევე დემონტაჟს ის მარტივი და ხელსაყრელია და არ ჩამოუვარდება უცხოურ ანალოგებს, ამიტომ მიმართა აღნიშნული ფილების წარმოება სასარგებლობა და აუცილებელი მეწარმეთა ხელშეწყობის თვალსაზრისით.

თბილისის პურის მრეწველთა

კავშირის თავმჯდომარე

ტექ.მეცნ.დოქტორი მ.დოლიძე



შაპ 666. 762.93

სიაღრმეამცველი კომპოზიტის მიღება ნიტროალუმინიტერმული პროცესებით,  
რეაქციული შეცხობის და ცხელი დაწნების მეთოდით

ზ. კოვზირიძე, ნ. ნიუარაძე, ნ. დარახველიძე, გ. ტაბატაძე, ზ. მესტვირიშვილი

ქიმიური და ბიოლოგიური ტექნოლოგიების დეპარტამენტი, საქართველოს ტექნიკური უნივერსიტეტი,  
საქართველო, 0175, თბილისი, კოსტავას 69

E-mail: kowsiri@gtu.ge

**რეზიუმე:** მიზანი: სამუშაოს მიზანია სიაღონ-შემცველი კომპოზიტის მიღება ნიტროალუმინიტერმული პროცესებით, რეაქციული შეცხობის და ცხელი დაწნების მეთოდით.

**მეთოდი:** კომპოზიტი CH-6 მიღებულია რეაქციული შეცხობის მეთოდით და შემდგომი ცხელი დაწნებით ვაკუუმ-დუმელში 1600°C-ზე 30 მასა წნევით, ბოლო ტემპერატურაზე 10–12 წთ დაყოვნებით. პრეცესორი მომზადდა თერმოსტატში 150°C-ზე, ცივად დაიწნება 12–15 მას-სა და 20–25 მას-ზე.

**შედეგები:** ჩატარებულია ცხელი დაწნებით მიღებული ნიმუშების ფიზიკურ-ტექნიკური თვისებების კვლევა. მექანიკური მახვილებლები შეადგენს: სიმტკიცის ზღვარი კუმშვისას – 1640 მას, სიმტკიცის ზღვარი დუნგისას – 490 მას; დრეკადობის მოღული – 199,5 გპა; HV – 11,40 გპა.

რეცტრენტული, ელექტრონულ-მიკროსკოპული და მიკროენტგენსპექტრული ანალიზით შესწავლილია მიღებული კომპოზიტის მიკროსტრუქტურა და ფაზური შედგენილობა. დადგენილია კომპოზიტის შედგენილობა, რომლის ძირითადი ფაზებია: β სიაღონი, კორუნდი და სილიციუმის კარბიდი.

**დასკვნა:** მიღებული კომპოზიტი CH-6 ხასიათდება ფიზიკურ-ტექნიკური თვისებებით – მაღალი სისაღლით, სიმტკიცით და სიმტკიცით.

**საკვანძო სიტყვები:** მაღალცეცხლგამძლე კომპოზიტი; რეაქციული შეცხობა; ნიტროალუმინიტერმული პროცესები; სიაღონი; კორუნდი; სილიციუმის ნიტრიდი; სილიციუმის კარბიდი.

## 1. შესავალი

ბოლო წლებში სიაღონის კერამიკა უფრო მეტად გამოიყენება ცენტრალური, აბრაზიული, კონსტრუქციული დანიშნულების ნაკეთობების დასამზადებლად, რადგან გამოირჩევა უნიკალური მექანიკური თვისებებით, თერმული მედეგობით და მედუგობით ქიმიური გარემოს ზემოქმედების

მიმართ მაღალ ტემპერატურებზე. ამის გამო, სიაღონებს ჰქვიანი სუპერკერამიკა ეწოდა.

სიაღონები გამოიყენება ტექნიკის სხვადასხვა სფეროში. მიუხედავად მეცნიერების მრავალრიცხოვანი შრომებისა [1-9], რომელიც ეძღვნება სიაღონების მიღებას უცხოეთის ბევრ ქვეყანაში, მათში გადმოცემულია სიაღონების სინთეზის მეთოდები ძირითადად ლაბორატორიული ექსპერიმენტების მიხედვით, მცირე ინფორმაციაა სამრეწველო მიღების მეთოდების შესახებ. ეს დაკავშირებულია სინთეზის პროდუქტების მაღალ მგრძნობიარობასთან, ნედლეულის ქიმიურ შედგენილობასა და მიმდინარე პროცესების პარამეტრებთან. ეს ართულებს მისაღები პროდუქტების ფაზური შედეგინდობის პროგნოზირებას.

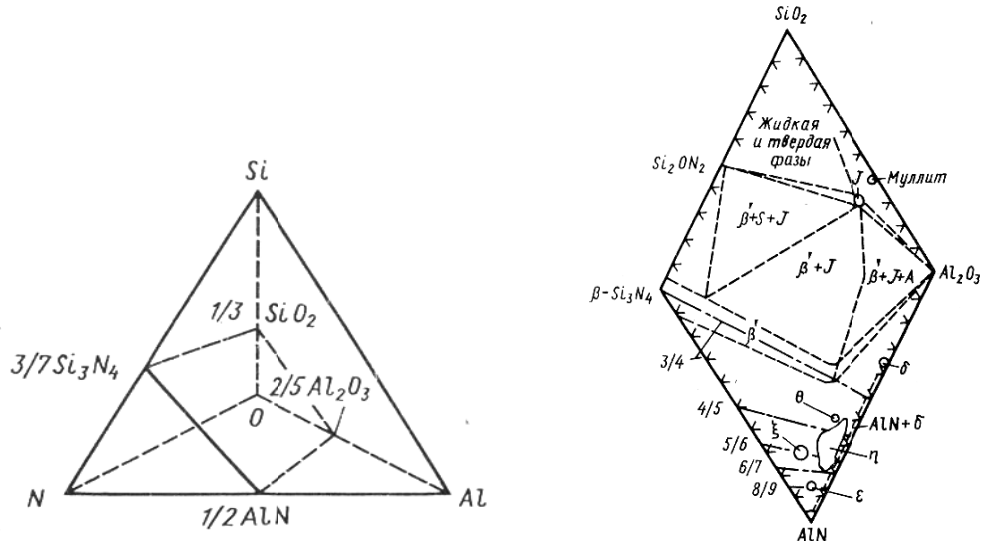
ამასთან დაკავშირებით, სიაღონის სინთეზის მიმდინარეობის შესწავლა და საიმედო მეთოდების შერჩევა ახალი ფუნქციური მასალების მისაღებად თანამედროვე მასალათმცოდნეობის აქტუალური ამოცანაა.

განასხვავებენ 10 სახის სიაღონს, განსხვავებული კრისტალური სტრუქტურით (არსებობს სილიციუმის ნიტრიდის, სილიციუმის ოქსინიტრიდის, ალუმინის ნიტრიდის, მულიტის სტრუქტურით) და Al:Si განსხვავებული თანაფარდობით [10-13]. სიაღონების კრისტალური სტრუქტურა მსგავსია იმ ნაერთის სტრუქტურისა, რომელთანაც ახლოსაა მისი წარმოქმნის არე. სიაღონების რამდენიმე ტიპი არსებობს: α; β; X; O<sup>1</sup>; H; R.

სხვადასხვა ტიპის სიაღონის მიღების მეთოდები განსხვავდება საწყისი ნედლეულით და პროცესის განხორციელების პირობებით (ტემპერატურა, დრო, წნევა, ატმოსფეროს შედგენილობა). β სიაღონის ზოგადი ფორმულაა: Si<sub>x</sub>Al<sub>x</sub>O<sub>x</sub>N<sub>8-x</sub> (სადაც x = 0-4,2). იგი განიხილება, როგორც Si<sub>3</sub>N<sub>4</sub>-ის მყარი სსნარი ალუმინის ნიტრიდისა და ოქსიდის მყარ სსნარში [14-18].

სისტემა Si-Al-O-N შეიძლება წარმოვადგინოთ ოთხეკომპონენტიანი, სქემატურად გამოსახული ტეტრაედრის სახით, რომლის წვეროებში განლაგებულია შემადგენელი ელემენტები (სურ. 1).

სიაღონური ფაზების სტრუქტურა და სახელწოდება წარმოდგენილია I-ელ ცხრილში [19-21].



სურ. 1. Si-Al-O-N სისტემაში შემადგენელი კომპონენტების განაწილების სქემა

ცხრილი 1

სიაღონური ფაზების  
სახელწოდება და სტრუქტურა

სახელწოდება	სიაღონის ქიმიური ფორმულა	სიაღონის სტრუქტურის ტიპი
$\alpha$	$Me_x(SiAl)_{12}(ON)_{16}$ $X=0 \div 2$	$\alpha - Si_3N_4$
$\beta$	$Si_{6-x}Al_xN_{8-x}$ $X=0 \div 4,2$	$\beta - Si_3N_4$
$O^1$	$Si_{2-x}Al_xO_{1+x}N_{2-x}$ $X=0,04 \div 0,4$	$Si_2ON_2$
$X$	$Si_{2-x}Al_{1-x}O_xN_{1-x}$ $x=0,04 \div 0,2$	$3Al_2O_3 \bullet 2SiO_2$
H	$SiAl_3O_2N_3$ $SiAl_5O_2N_5$	AlN
R	$SiAl_4O_2N_4$ $SiAl_6O_2N_6$	AlN

## 2. ძირითადი ნაწილი

რეაქციული შეცხობის მეთოდით და ნიტროალუმინოვარმული პროცესებით მიღებულია კომპონიტი CH-6 აზოტის გარემოში  $1450^{\circ}\text{C}$ -ზე გამოწვით [22-26].

საწყისი მასალების სახით გამოვიყენეთ: კალინი, ალუმინის პუდრი, სილიციუმი, სილიციუმის კარბიდი, ალუმინის ოქსიდი. კომპონიტის ნიმუშების მისაღებად და შეცხობის პროცესის გასაუმჯობესებლად დანამატების სახით გამოვიყენეთ მაგნიუმის ოქსიდი და იშვიათ მიწათა ელემენტის იტრიუმის ოქსიდი. MgO და  $Y_2O_3$  დაკმატა ფენილს 1 და 1,5 მას.%-ის

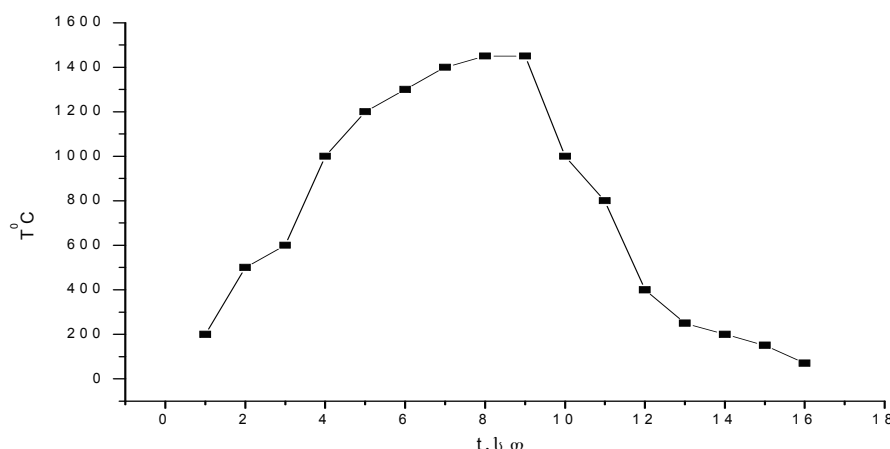
ფორმით. ამ ოქსიდების ლლობის მაღალი ტემპერატურა უზრუნველყოფს ნარევში გახურების დროს მაღალი ტემპერატურის მქონე ეპტემპტო-კური ნალღობის წარმოქმნას, რაც ხელს შეუწყობს მასალის შეცხობის პროცესს, რომელსაც არსებითი მნიშვნელობა აქვს გადიდებული თერმომედეგობისა და სიმტკიცის მქონე ნაკეთობების მისაღებად. შეცხობის პროცესის გასაუმჯობესებლად ასევე დაემატა მინისებრი პერლიტი და ცეცხლგამძლე თიხა მცირე რაოდენობით. ნარევის შედგენილობა წარმოდგენილია მე-2 ცხრილში.

## ნარევის შედგენილობა

კომპოზიტის ინდექსი	საწყისი კომპონენტის შემცველობა, მას. %								
	კაოლინი პროსიანაია (უკრაინა)	Al	Al <sub>2</sub> O <sub>3</sub>	SiC	Si	პერლიტი არაგაცის (სომხეთი)	Y <sub>2</sub> O <sub>3</sub>	MgO	პოლოგის თიხა (უკრაინა)
CH-6	15	20	20	20	22	3	2	1	5

კაოლინის, ალუმინის პუდრის, სილიციუმის, კარბიდის, კორუნდისა და ცეცხლგამძლე თიხის ბაზაზე მე-2 ცხრილში წარმოდგენილი მატერიალური შედგენილობის მიხედვით მოვამზადეთ ნარევი, დაგაყალიბეთ ნიმუშები – ცილინდრები, ზომით d=15მმ, h =15მმ, 20 მპა

წევით ნახევრად მშრალი მეთოდით. 110°C-ზე გაშრობის შემდეგ ნიმუშები გამოიწვა 1450°C ტემპერატურაზე აზოტის გარემოში, ბოლო ტემპერატურაზე 1-საათიანი დაყოვნებით. გამოწვის ტემპერატურული რეჟიმი წარმოდგნილია მე-2 სურათზე.



სურ. 2. რეაქციული შეცხობის მეთოდით მიღებული ნიმუშების გამოწვის ტემპერატურული რეჟიმი

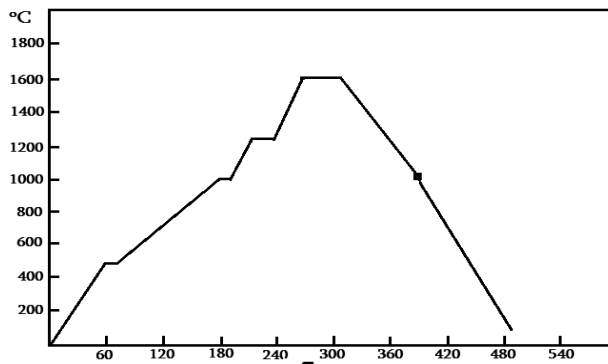
შევისწავლეთ მიღებული ნიმუშების თვისებები, რომელთა ფიზიკურ-ტექნიკური მახასიათებლები წარმოდგენილია მე-3 ცხრილში.

**რეაქციული შეცხობის მეთოდით  
მიღებული კომპოზიტის CH-6-ის თვისებები**

კომპოზიტის ინდექსი	ლია ფორიანობა w, %	სიმტკიცის ზღვარი კუმშვი- სას, მკა	სიმბერივე, ρ, გ/სმ <sup>3</sup>	ქიმიური მედეგობა, %	
				წყალი	მჟავა
CH-6	15.2	256	2.25	99.82	99.20

1450°C-ზე გამომწვარი ნიმუშები დაფუქვით და მოვამზადეთ ცხელი დაწნებისათვის. პრეკურსორი მომზადდა ოქრომოსტატში 1500°C-ზე, ცივად დაიწნება 12–15 მპა-სა და 20–25 მპა-ზე. გამოიწვა 1600°C-ზე 30 მპა წნევით, გახურება მიმდინარეობდა გაგუმში, საბოლოო ტემპერატურაზე

10–12 წთ დაყოვნებით. გამოწვის რეჟიმი იყო: 20–500°C-მდე 70°C /წთ, 500–1400°C-მდე 150°C წთ, 1400–1600°C-მდე კი 10°C/წთ. გაცივება 10°C/წთ. გამოწვის ტემპერატურული რეჟიმი წარმოდგნილია მე-3 სურათზე.



სურ. 3. ცხლად დაწნებილი ნიმუშების  
გამოწვის ტემპერატურული რეჟიმი

შევისწავლეთ  $1600^{\circ}\text{C}$ -ზე ცხლად დაწნებილი ნიმუშების ფიზიკურ-ტექნიკური თვისებები. მიღებული შედეგები წარმოდგენილია მე-4 ცხრილში.

#### ცხლად დაწნებილი ნიმუშების ფიზიკურ-ტექნიკური მახასიათებლები

კომპონი- ტის ინდექსი	ლია ფორიანობა w, %	საერთო ფო- რიანობა, Π, %	სიმკვრივე, ρ, г/სმ <sup>3</sup>	წნევა, მპა	სიმტკიცის ზღვარი კუმშვისას, მპა	სიმტკიცის ზღვარი დუნებისას, მპა
CH-6 (1600 <sup>0</sup> )	0,7	4,35	2,97	30	1619	420

მიღებული მასალის დინამიკური მიეროსისალე და დრეკადობის მოდული განისაზღვრა თანამედროვე ISO-14577 საერთაშორისო სტანდარტის მოთხოვნების შესაბამის დინამიკურ ულტრამიკროსისალის ტესტერზე DUH-211S, რომელიც მყარი სხეულების ზედაპირების მექანიკური მახასიათებლების (მიეროსისალე, დრეკადობის მოდული) დასადაგენად გამოიყენება.

CH-6  $1600^{\circ}\text{C}$ -ზე ცხლად დაწნებილ ნიმუშზე ჩატარებული ტესტის შედეგად ანაბეჭდი აღებულია მატრიცაში, ანაბეჭდის აღება მოხდა რამდენიმეჯერ, სადაც საშუალო სიმაგრე არის HV: 1140.

დინამიკური მიეროსისალე (DH) განისაზღვრება ტესტირების პროცესში ინდენტორზე მოდებული დატვირთვის სიდიდისა და მასალაში შედწევის სიღრმით. მისი მნიშვნელობა გამოითვლება ფორმულით:  $DH=a \times F/h^2$ ; ა მუდმივი სილიგეა და დამოკიდებულია იდენტორის ფორმაზე, კიკერსის ინდენტორისთვის ტოლია:  $a=3,8584$ .

მეთოდის უპირატესობა ჩვეულებრივ სტატიკური ანუ ანაბეჭდის წრფივი ზომების (დიაგონალი) გაზომვებთან შედარებით, მდგომარეობს იმაში, რომ ის შეიცავს როგორც პლასტიკურ, ისე დრეკად მდგენელებს. გაზომვების შედეგები არ არის დამოკიდებული ანაბეჭდის ზომებზე,

თუ შევადარებოთ თვისებათა მახასიათებლებს (ცხრილი 3 და 4), შეიძლება შევნიშნოთ დაყალიბების მეთოდის გავლენა ფიზიკურ-ტექნიკურ მახასიათებლებზე. ცხლად დაწნებილი ნიმუშების დია ფორიანობა არის 0,7 % და სიმტკიცის ზღვარი კუმშვისას – 1619 მპა, ხოლო რეაქციული შეცხობის მეთოდით მიღებული ნიმუშის მაჩვენებლებია: სიმტკიცის ზღვარი კუმშვისას 256 მპა, დია ფორიანობა – 15,2 %. როგორც მოსალოდნელი იყო ნახტომისებრად შეიცვალა სიმტკიცის ზღვარი კუმშვისას და დია ფორიანობა. სისალე არის HV:1140. ჩვენ მიერ ცხრილში წარმოდგენილი მონაცემებიდან შევგვიძლია ვთქვათ, რომ  $1600^{\circ}\text{C}$  საქმარისია ნიმუშების სრული გამკვრივებისათვის.

#### ცხრილი 4

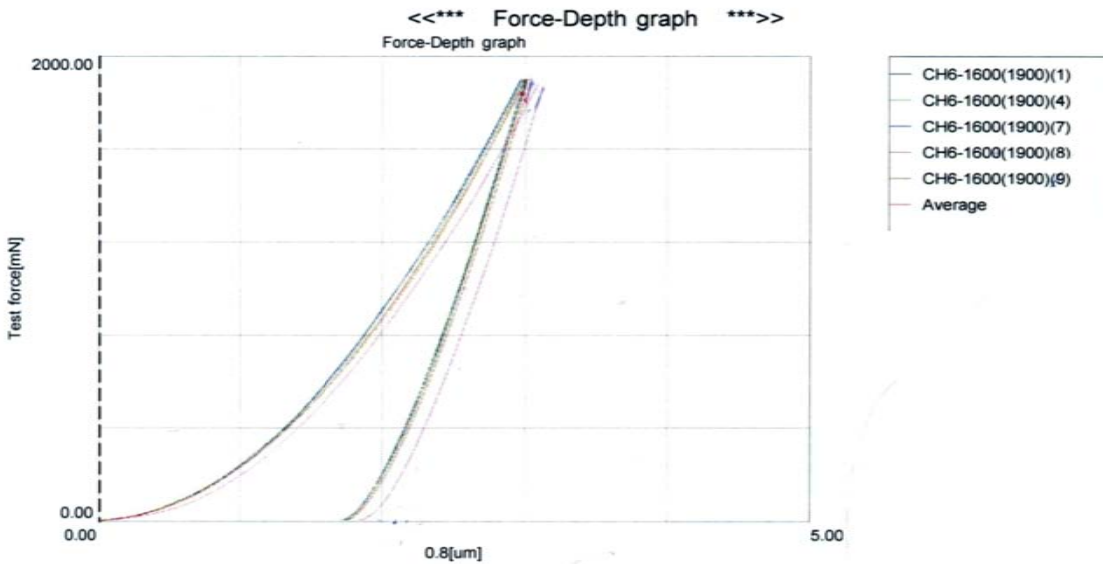
დატვირთვებსა და დრეკადი აღდგენის არაერთგვაროვნებაზე.

დინამიკური სისალე განისაზღვრა დატვირთვა-განტვირთვის რეჟიმში, თოთოეულ კონკრეტულ დატვირთვაზე შვიდი ანათვალის აღებით, ორი უკიდურესი მნიშვნელობის უგულებელყოფით და დარჩენილი ხუთი სიღრმის გასაშუალებით. მიეროსისალის შესაბამისი მნიშვნელობა განისაზღვრებოდა ავტომატურად. დაყოვნების დრო დატვირთვის მაქსიმუმზე შეადგენდა 5 წმ-ს, განტვირთვის ბოლოს – 3 წმ-ს (სურ. 4, ა, ბ).

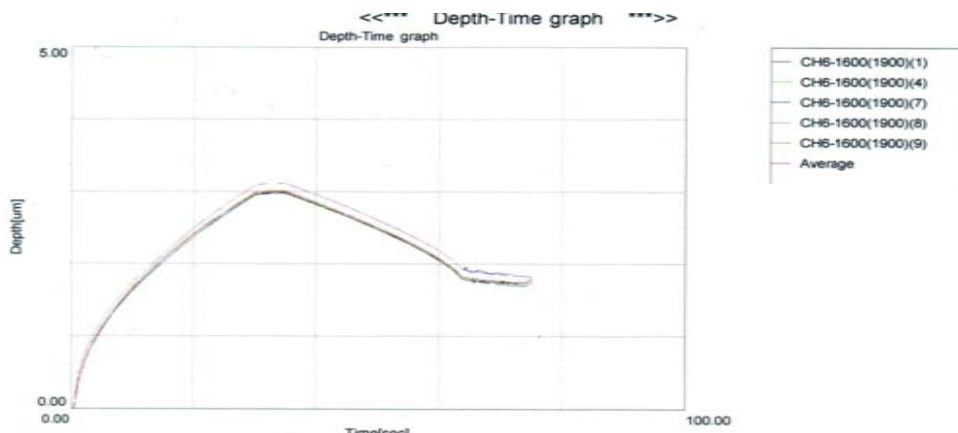
ინდენტირება მოხდა CH-6  $1600^{\circ}\text{C}$ -ზე, ცხლად დაწნებილი ნიმუშის მატრიცაში, რომელიც შედეგება წ-სიალონისაგან. გამოცდის შედეგად მისი საშუალო დინამიკური სისალე შეადგენს DHV=10290 მპა-ს, რაც საქმაოდ მაღალი მაჩვენებელია [27-29].

დატვირთვა-განტვირთვის დამოკიდებულების გრაფიკიდან (სურ. 4) განისაზღვრება დრეკადობის მოდულის სიღრმი  $S=(dF/dh)h-h_{\max}$  სიხისტის დადგენით. ის არის დატვირთვა-განტვირთვის გრაფიკის მხები განტვირთვის საწყის წერტილში. ხელსაწყო განსაზღვრავს საკვლევი მასალის დრეკადობის მოდულს, რომლის სიღრმი ჩვენი ნიმუშის შემთხვევაში ტოლია:  $E=199$  გპა.

მე-5 სურათზე ნაჩვენებია SiAlON მატრიცაში აღებული ანაბეჭდი, საიდანაც ჩანს, რომ ანაბეჭდის ფორმა მკვეთრია, გამოკვეთილი წიბოებით. წიბოების გახწვრივ შეინიშნება თანაბარი ზომის ბზარები, რაც მეტყველებს მატრიცის ერთგვაროვნებასა და მაღალ ფარდობით სიმკრივეზე.



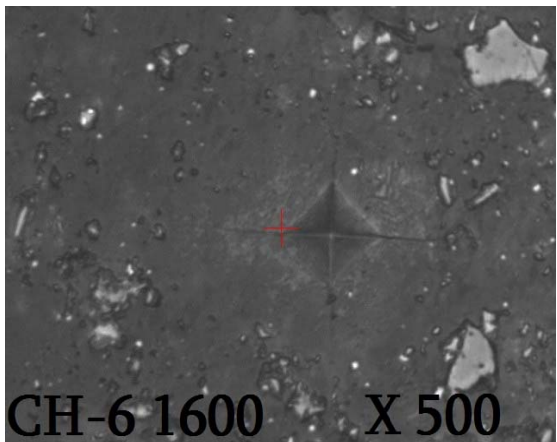
ა)



ბ)

სურ. 4. დატვირთვა-განტვირთვის მრუდები:

- ა) ინდენტორზე დატვირთვის ძალის,
- ბ) ინდენტორის მასალაში შეღწევის სილრმის

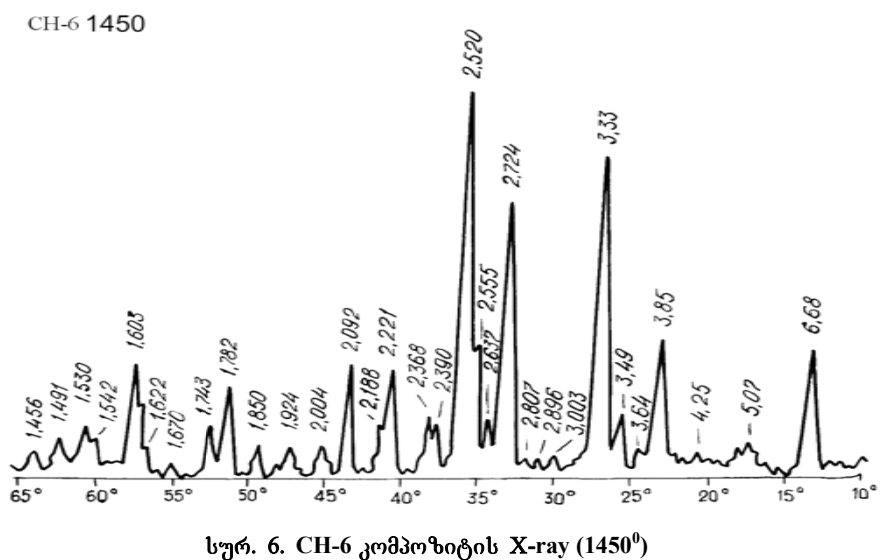


სურ. 5. SiAlON მატრიცაში აღებული  
ანაბუჭდი, დატვირთვა 200 გ

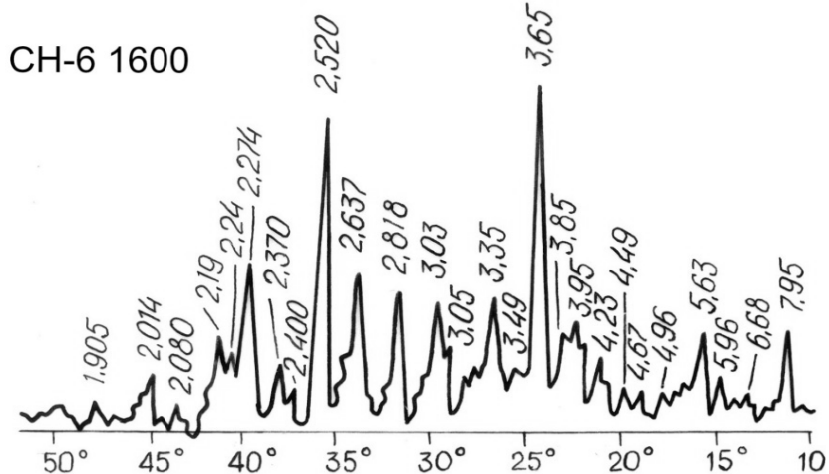
რეაქციული შეცხობის მეთოდით და ცხლად დაწესებით 1600°C-ზე მიღებული კომპოზიტის CH-6 ფაზური შდგენილობის შესასწავლად კვლევა ჩატარდა რენტგენოსტრუქტურული და ელექტრონული მიკროსკოპის მეთოდებით.

რენტგენოსტრუქტურული ანალიზი ჩატარდა რენტგენის აპარატზე დრო-3. რენტგენოგრამა გადაღებულია 22,5-65° კუთხის ინტერვალში, სიჩქარით 2° წუთში. ორივე რენტგენოგრამა წარმოდგენილია მე-6-7 სურათებზე.

კომპოზიტის რენტგენოგრამაზე გამოვლენია სიალონის დამახასიათებელი დიფრაქციული მაქსიმუმები  $D_{hkl}$ : 7,95; 5,63; 3,85; 3,65; 2,520; 2,19; სილიკოზის კარბიდი –  $D_{hkl}$ : 2,63; 2,370; 2,19; 2,014; კორუნდი –  $D_{hkl}$ : 3,49; 2,52; 2,36; 2,090.



სურ. 6. CH-6 კომპოზიტის X-ray (1450°)



სურ. 7. CH-6 კომპოზიტის X-ray (1600°)

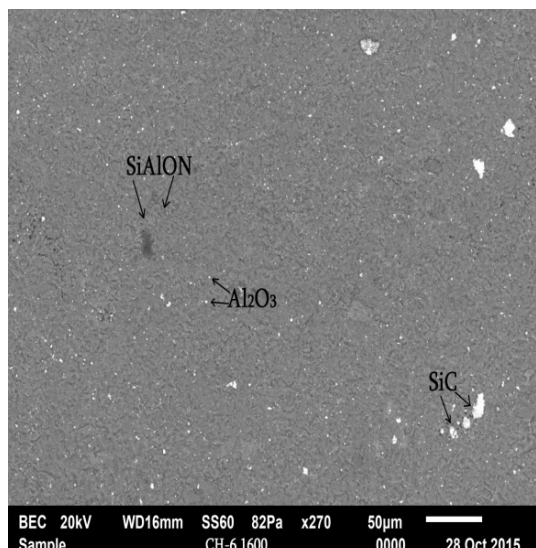
როგორც ორივე რენტგენოგრამიდან ჩანს, CH-6 კომპოზიტი ძირითადად შედგება β სიალონისაგან, რომელსაც აქვს ჰექსაგონური სტრუქტურა, ასევე შეიცავს სილიციუმის კარბიდს და კორუნდს, რომლებიც თავიდან შეიყვანება კომპოზიტში. ორივე შემთხვევაში კომპოზიტის მატრიცა β სიალონია და განმტკიცებულია კორუნდისა და სილიციუმის კარბიდის კრისტალებით.

ელექტრონულ-მიკროსკოპული კვლევა ჩატარდა JEOL ფირმის ელექტრონულ-რასტრული (მას-კანირებული) მიკროსკოპის საშუალებით. მეთოდი

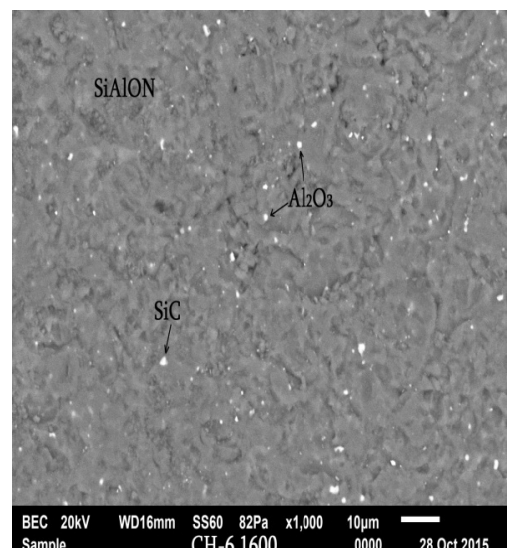
ეფუძნება არეალილი ელექტრონების და მერეული ამოტივორცნილი ელექტრონების ასახვას.

არეალილი ელექტრონების საშუალებით კომპოზიტის ფაზური ანალიზის დროს ნიმუში გავტეხეთ ზედაპირის პარალელურად. აუცილებელია ტეხნიკური მე-8 სურათზე: а) x270, б) x1000, გ) x2200, დ) x2700 გადიდებისას.

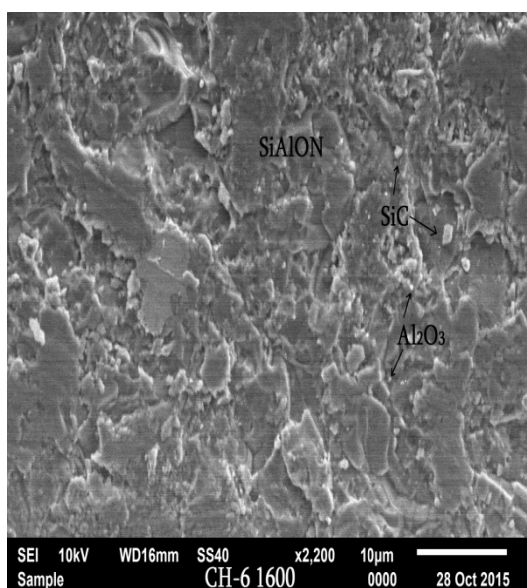
მე-8 სურათზე ჩანს β სიალონისაგან შემდგარი მატრიცა, რაც ადასტურებს რენტგენოსტრუქტურული ანალიზის მონაცემებს.



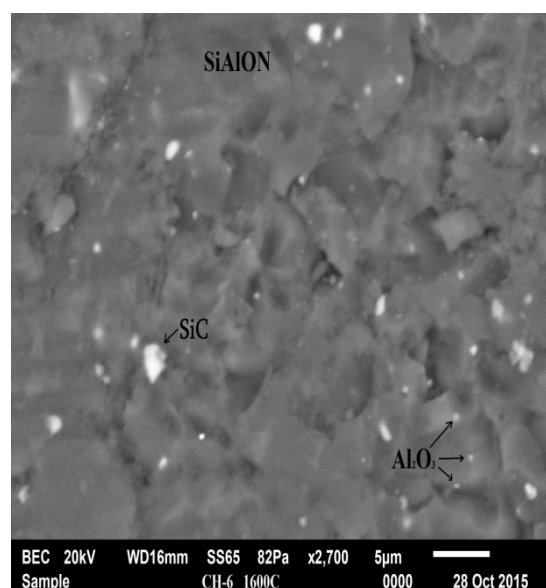
ა) x 270



ბ) x 1000



გ) x2200



ღ) x2700

სურ. 8. CH-6 კომპოზიტის ელექტრონულ-მიკროსკოპული სურათები სხვადასხვა გადიდებისას: а) x270; б) x1000; გ) x2200; ღ) x2700

CH-6 კომპოზიტის ელექტრონული მიკროსკოპის სურათებზე ნაჩვენებია კარგად შემცხვარი ნიმუშის ზედაპირი, რომელზეც გამოკვეთილია კრისტალები იმ ძირითადი ფაზებისა, რომლებსაც შეიცავს  $1600^{\circ}\text{C}$ -ზე ცხლად დაწნებილი კომპოზიტი, კონკრეტულად მატრიცის სახით სიაღონს, SiC-სა და კორუნდს.

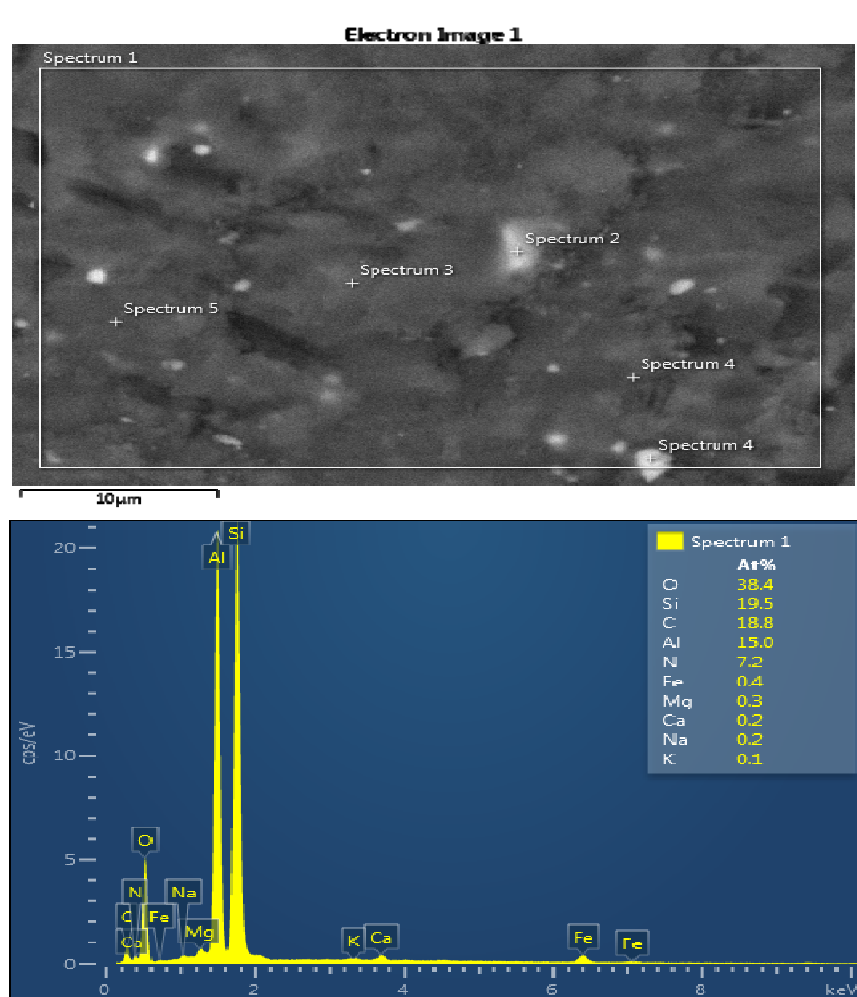
არც ერთ ნიმუშში არ არის ფორები. ამ ნიმუშების რენტგენსტრუქტურული ანალიზის მონაცემები თანხვედრაშია ელექტრონული მიკროსკოპის სურათებთან. აქ ნათელია, რომ ცხელი დაწნებისას მინერალოგიური შედგენილობა არ შეიცვალა, რეაქციული შეცხობით მიღებულ ნიმუშებთან შედარებით, რაც უფრო მკაფიოდ ჩანს დიდი გადიდების შემთხვევაში.

იგივე ნიმუშის მიკრორენტგენსპექტრული ანალიზი ჩატარდა OXFORD INSTRUMENTALS დატმატორზე X-max, რისი საშუალებითაც მივი-

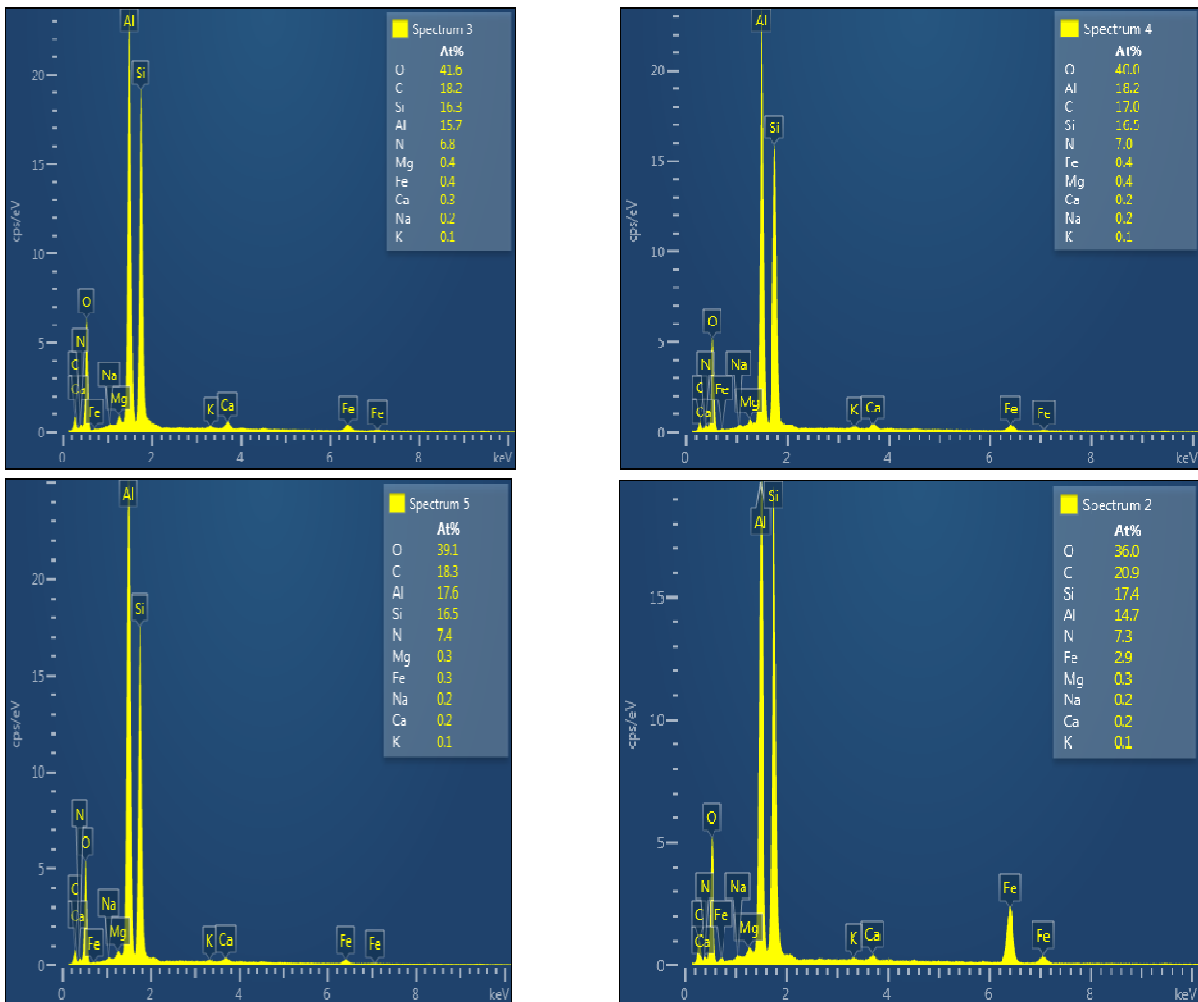
ღეთ კომპოზიტის შემცველ ელემენტთა ზოგადი შედგენილობა. ანალიზის შედეგები მოცემულია მე-9 სურათზე.

მე-9 სურათზე წარმოდგენილია ცხელი დაწნებით მიღებული CH-6 კომპოზიტის მიკრორენტგენსპექტრული ანალიზი spectrum1 მონაცემთა ზე და შემადგენელ ელემენტთა სქემა, მათი პროცენტული შემცველობა, საიდანაც ჩანს, რომ კომპოზიტის ძირითადი შემადგენელი სიაღონია.

მე-9 სურათზე სიაღონის შემცველი ელემენტების: სილიციუმის, ალუმინის, უანგბადისა და აზოტის პროცენტული შემცველობაა მოცემული. ასევე დაფიქსირებულია ელემენტი ნახშირბადი, რომელიც SiC-ს შემცველობაზე მიანიშნებს. უანგბადის გაზრდილი რაოდენობა და ალუმინის შემცველობა ასახავს როგორც სიაღონის, ასევე კორუნდის არსებობას კომპოზიტში.



სურ. 9. CH-6 კომპოზიტის მიკრორენტგენსპექტრული ანალიზი მონაცემთა მე-9 spectrum 1



სურ. 10. CH-6 კომპოზიტის  
მიკრორენტგენსპექტრული ანალიზი

წარმოდგენილია ელემენტთა შემცველობისას ამსახველი სქემები შედარებით მოყლე უძნებზე spectrum 2, 3, 4, 5. სურათზე წარმოდგენილი წერტილების მიკრორენტგენსპექტრული ანალიზი თვალსაჩინო სურათს იძლევა სწორედ ამ წერტილებში არსებული ფაზის შემადგენელი ელემენტების შემცველობის შესახებ, საიდანაც ჩანს სიაღონის, სილიციუმის კარბიდისა და კორუნდის შემადგენელი ელემენტების ძირითადი ფაზების პროცენტული შემცველობა. ყველა უბაზუ პროცენტული თანაფარდობა თითქმის ერთნაირია, რაც მიანიშნებს CH-6 მიღებული კომპოზიტის ერთგვაროვან სტრუქტურაზე და ნაოვდს ხდის ელექტრონული მიკროსკოპული კვლევის შედეგებს.

### 3. დასკვნა

მიღებულია CH-6 კომპოზიტი ალუმინისილიკატური ნედლეულის ბაზაზე, რეაქციული შეცხოვის მეთოდით.

შესწავლილია კომპოზიტის ფიზიკურ-ტექნიკური თვისებები და ფაზური შედგენილობა. ძი-

რითადი ფაზებია:  $\beta$  სიაღონი, რომელიც არის კომპოზიტის მატრიცა, სილიციუმის კარბიდი და კორუნდი.

დადგენილია, რომ სიაღონის (SiAlON) მიღება ხდება ნიტროალუმინოზერმული პროცესებით.

რეაქციული შეცხოვის მეთოდით მიღებული CH-6 კომპოზიტის შემდგომი დამუშავებით დაცხელი დაწესების მეთოდით ნიმუშების დაყალიბებით ხდება კომპოზიტის ფიზიკურ-მექანიკური მაჩვენებლების ნახტომისებრი ზრდა.

ცხელი დაწესებით ვაკუუმში 1600°C-ზე 30 მას წნევით და ბოლო ტემპერატურაზე 10–12 წთ დაყოვნებით მიღებულია მაღალი სისაღის, სიმკვრივისა და სიმტკიცის CH-6 კომპოზიტი. მინერალოგიური შედგენილობა არ შეიცვალა. მასალები თვისებების მიხედვით გამოიყენება მაღალ-ტემპერატურული ნაკეთობების დასამზადებლად. ესენია: თერმოწყვილების დამცავი გარსაცმები, ღუმლების ამონაგები, მჟრელი ინსტრუმენტების სახით ლითონისა და ქის დამუშავება და სხვა.

## ლიტერატურა

1. Zheng, G.M., Zhao, J., Gao, Z.J. and Cao, Q.Y. Cutting Performance and Wear Mechanisms at Sialon-Si<sub>3</sub>N<sub>4</sub> Graded Nano-Composite Ceramic Cutting Tools. *The International Journal of advanced Manufacturing Technology*, (2012) #58, p.19-28.
2. Белий Я.И., Комда В.В., Сивистун В.М., Положай С.Г. К вопросу получения композиционных материалов на основе нитрида кремния // Моск.межд. конф. по композитам. Тезисы докладов. М., ноябрь 1990, ч. 2, с. 174.
3. Чухолина Л.Н. Способ получения порошка сиалона. <http://bd.patent.su/2378000>, 2012.11.18.
4. Боярина И.Л. Пучков А.Б. и др. Сиалоны-новый огнеупорный материал // Огнеупоры, 1981, N 12, с.24.
5. Jack K.H., Review: Sialons and Related Nitrogen Ceramics// *J.Mater. Sci.*-1976.- #11.- p. 1135-1158.
6. Ekstrom T., Persson J. Hot Hardness Behavior of Yttrium Sialon Ceramics// *J. Am. Ceram. Soc.*- 1990.- v.73., # 10.- p. 2834-2838.
7. High Temperature Properties of Mixed α/β-Sialon Materials /H. Klemm, M.Herman, T. Reich et al./*// J.Am. Ceram. Soc.*- 1998. – V. 81. - # 5. – p. 1141-1148.
8. Washburn M.E., Love R.W. A Silicon Carbide Refractory with a Complex Nitride Bond Containing Silicon Oxynitride// *Am. Ceram. Soc. Bull.* – V.41. – 1962.- #7. – p. 447-449.
9. Riley F. L. Silicon Nitride and related Materials// *J.Am. Ceram. Soc.*-2000.-v.83- #2. – p. 10-30.
10. Суворов С. А., Долгушев Н. В., Заболотский А. В. Термодинамические параметры β- сиалонов// Неорганические материалы. – т. 38. 2002. – # 3.- с. 290-292.
11. Rosenflanz A., I-Wei-Chen. Phase Relationships and Stability of sialon // *J.Am. ceram. Soc.* – 1999. – V. 82 - #4 – p. 25-28.
12. Ekstrom T., Kall P.O., Nygren M., Olsson P.O. - Dense Single-Phase Beta-Sialon Ceramics by Glass-Encapsulated Hot Isostatic Pressing. –J .of mat. Sci.- 1989. V.24. p. 1853-1862.
13. Z.Kovziridze, N.Nijaradze, G.Tabatadze, T.Cheishvili, Z.mestvirishvili, E.NikoleiShvili, M.Mshvildadze, N. darakhvelidze. Obtaining of Nanocomposites in SiC-SiAlON and Al<sub>2</sub>O<sub>3</sub>-SiAlON System by Alumothermal Processes.//*Journal of Electronics Cooling and Thermal Control*, 2014, 4, 105-115. <http://dx.doi.org/10.4236/jectc.2014.44012>.
14. Баринов С.М., Шевченко В.Я.Техническая керамика. М.Ж Наука, 1993, с. 187.
15. Горшков В.С., Савельев В.Г., Абакумов А. В. Вяжущие, керамика и стеклокристаллические материалы: структура и свойства. Справочное пособие. М.: Стройиздат, 1994. – 584 с.
16. Kishi K., Umebayashi S., Tani E. Influence of Microstructure of Strength and Fracture Toughness of beta-sialon. *J. of Mat. Sci*, V. 25, 1990, p. 2780 – 2784.
17. Piekarczyk J., Lis J., Bialoskorski J. Elastic Properties, Hardness and Indentation Fracture Toughness of beta – Sialons. *Key Engineering Materials*, v. 89 – 91, 1990, p.541 – 546.
18. Formation of an α – SiAlON Layer on β – SiAlON and its effect on Mechanical properties., *J.Am. Ceram. Soc.*, 1998, v.81, N 7, p. 1907 – 1912.
19. Ekstrom T., Nygren M. SiAlON ceramics. *J. Am. Ceram.Soc.* v.75, #2, p.259-276,1992.
20. Zhen-Kun H. Formation of N-phase and phase relations in MgO-Si<sub>2</sub>N<sub>2</sub>O-Al<sub>2</sub>O<sub>3</sub> system. *J. Am. Ceram. Soc.*, v.77, p. 3251, 1994.
21. Pat. 4113503 USA, CO4B 035/58. Method of forming a ceramic product, Lumby R.J. (GB), 31.05.77, pub. 12.09.78.
22. Z. Kovziridze, N. Nijaradze, G. Tabatadze, Z. Mestvirishvili. გეობოლიმერის ბაზაზე აზოვის გარემოში მიმდინარე კარბო და ალუმინოერმული პროცესები. *Journal of The Georgian Ceramist's Association* 1 (31). 2014.
23. I.Zalite, N.Zilinska, G.Kladler. Some Sialons are prepared from nanopowders by hot pressing. *Journal of Functional Materials and Nanotechnologies* 2007J. phys.: Conf.Ser.93 012008.
24. Z. Kovziridze, N. Nijaradze, G. Tabatadze, N. Darakhvelidze, Z. Mestvirishvili, Application of Alum-Thermal and Nitrogen methods for obtaining Nanocomposites in the systems of SiC-SiAlON and Al<sub>2</sub>O<sub>3</sub>-SiAlON- Innovative Technologies in Metallurgy and Materials science, Georgian Technical University, International conference 16-18July, 2015, Tbilisi, Georgia.
25. Z. Kovziridze, N. Nijaradze, G. Tabatadze, N. Darakhvelidze, Z. Mestvirishvili. Smart Materials in the SiAlON-SiC-Al<sub>2</sub>O<sub>3</sub> System- *Journal of Material Science and Engineering*, International Conference and Expo on Ceramics. August 17-18, 2015 Chicago, USA.
26. ნ. ნიჯარაძე, გ. ტაბათაძე, თ. ჭევილი, ნ. დარახველიძე, ზ. მესტვირიშვილი, მ. მშვილდაძე, ე. ნიკოლეიშვილი. ნიტროალუმინოერმული პროცესებით სიალონების მიღება // კერამიკა, №2(32), 2014, გვ. 23-31.
27. BS EN ISO14577-1:2002; Metallic materials-Instrumented Indentation Test for Hardness and Materials Parameters.
28. <http://www.shimadzu.eu/duh-211duh-211s.20.04.2015>
29. Osman Sahin, OrhanUzun, MalgorzataSopicka-Lizer, HasanGocmez, UgurKolemen. Dynamic hardness and elastic modulus calculation of porous SiAlONceramics using depth-sensing indentation technique. *Journal of the European Ceramic Society* 28 (2008) 1235–1242.

**UDC 666. 762.93**

## **PREPARATION OF COMPOSITES BY NITRO ALUMINOTHERMIC PROCESSES BY REACTIVE SINTERING AND HOT PRESSING**

**Z. Kovziridze, N. Nizharadze, N. Darakhvelidze, G. Tabatadze, Z. Mestvirishvili**

**Resume:** Goal: The goal of the research is preparation of SIALON-containing composite through nitro aluminothermic processes, by the methods of reactive sintering and hot compaction.

Method: The composite CH-6 was obtained by the method of reactive sintering, with further grinding and hot compression in vacuum furnace at  $1600^{\circ}\text{C}$ , under 30 mPa pressure and standing at the final temperature for 10-12 minutes. Precursor was prepared in a thermostat at  $150^{\circ}\text{C}$  temperature by double compression. Pressure equaled to 20-25 mPa.

Results: Physical-technical properties of samples prepared via hot compaction were investigated. Limit of hardness at compression - 1640 mPa, limit of hardness at bending – 490 mPa, flexibility module 199,5 gPa HV -11,40 gPa. X-Ray diffraction analysis, electron microscopic and micro X-ray diffraction analysis were used to investigate composite microstructure and phase composition. Composite formulation was defined, the main phases of which are:  $\beta$ -SIALON, corundum and silicon carbide.

Conclusion: Composite CH-6 has been selected from the obtained composites, which is characterized by relatively high physical-technical properties: strength, density and hardness.

**Key words:** high refractory composite; reactive sintering; nitro aluminothermic processes; SIALON; corundum; silicon nitride; silicon carbide.

---

**УДК 666. 762.93**

## **ПОЛУЧЕНИЕ СИАЛОНСОДЕРЖАЩИХ КОМПОЗИТОВ НИТРОАЛЮМОТЕРМИЧЕСКИМИ**

## **ПРОЦЕССАМИ, МЕТОДАМИ РЕАКЦИОННОГО СПЕКАНИЯ И ГОРЯЧЕГО ПРЕССОВАНИЯ**

**Ковзирдзе З.Д., Нижарадзе Н.С., Дарахвелидзе Н.И., Табатадзе Г.С., Мествиришвили З.Д.**

**Резюме:** Цель работы: получение сиалонсодержащих композитов нитроалюмотермическими процессами, методами реакционного спекания и горячего прессования.

**Метод:** методами реакционного спекания и последующим горячим прессованием получен композит CH – 6 при температуре  $1600^{\circ}\text{C}$  и под давлением 30 МПа в вакуумной печи. Подготовка прекурсора производилась в терmostate при  $150^{\circ}\text{C}$ , под давлением холодного прессования 120 – 150 кг/ см<sup>2</sup> и 200 – 250 кг/ см<sup>2</sup>.

**Результаты:** проведены исследования физико-технических свойств образцов, полученных реакционным спеканием и горячим прессованием. Механические показатели образцов, полученных горячим прессованием: предел прочности при сжатии 1640 МПа, предел прочности при изгибе 490 МПа, модуль упругости 199,5 ГПа.

Рентгеноструктурным, электронно – микроскопическим, микрорентгеноспектральным анализами изучены микроструктура и фазовый состав полученного композита.

Выводы: композит CH – 6 характеризуется высокими физико-техническими свойствами: высокой твердостью, плотностью и прочностью, что позволяет получать высокотемпературные изделия, такие как защитные чехлы термопары, применять при печной футеровке, в машиностроении - для изготовления шариковых подшипников, в качестве инструмента для металло-камнеобработки и т.д.

**Ключевые слова:** высокоогнеупорный композит; реакционное спекание; нитроалюмотермические процессы; сиалон; корунд; нитрид силиция; карбид силиция.

---

## შპ 6219.02

### მეტალოგრამიკული კომპოზიტი ლითონების ჰარიტ დასამუშავებლად

ზ. კოვარიძე, ნ. ნიურაძე, ა. მიქანაძე, გ. ტაბატაძე

ქიმიური და ბიოლოგიური ტექნოლოგიების დეპარტამენტი, საქართველოს ტექნიკური უნივერსიტეტი,  
საქართველო, 0175, თბილისი, კოსტავას 69

E-mail: kowsiri@gtu.ge

**რეზიუმე:** მიზანი: ტიტანის კარბონიტრიდისა და მაღალი ლდობის ტემპერატურის მქონე შემაკავშირებელი ლითონური ფაზის შერწყმით მიღებულია მცირებოლოფრამიანი მჭრელი კომპოზიტი. მეთოდი: კომპოზიტი მიღებულია დაწნებით და შემდგომი შეცხობით გაკუუმ-დუმელში  $1600^{\circ}\text{C}$ -ზე,  $10^{-3}$  პა წნევისას. ფაზური ანალიზი შესწავლილია რენტგენის აპარატზე DRON-3, მიკროსტრუქტურა - ელექტრონულ მიკროსკოპზე NANOLAB-7, მიკროსისალე მუკე მარცის მიკროსისალის საზომზე, საჭრისების შედარებითი მედეგობა შეფასებულია ჭრის ერთნაირი რეჟიმების დროს გავლილი მანძილით, ცდები ჩატარებულია სახარაგო ჩარხზე. შედეგები: მიღებული კომპოზიტის ფიზიკურ-მექანიკური მაჩვენებლებია:  $\sigma_{\text{დ}}=1000-1150 \text{ MPa}$ ,  $\sigma_{1000^{\circ}\text{C}}=600 \text{ MPa}$ ,  $\text{HV}=14 \text{ GPa}$ ;  $\text{HV}_{1000^{\circ}\text{C}}=6,5 \text{ GPa}$ . ჭრის მაღალი სიჩქარისა და მაღალი ტემპერატურის პირობებში, საკვლევი კომპოზიტით დამზადებული საჭრისების მედეგობა 1,5-2-ჯერ აღემატება BK8 და KNT20 სალი შენადნობების საჭრისების მედეგობას. დასკვნა: რეკომენდებულია მისი გამოყენება გახურებული ფოლადების ჭრით დამუშავებისას ეწ. ცხელი ნაწილურების მოხსნისთვის, აგრეთვე ფოლადების ჭრით დამუშავებისას სუფთა და ნახევრად სუფთა ოპერაციებზე.

**საკანძო სიტყვები:** მეტალოგრამიკული; კომპოზიტი; მჭრელი მასალა; მაღალტემპერატურული; მხურვალმტკიცე; მიკროსისალე.

## 1. შესავალი

საინსტრუმენტო მასალების ძირითადი მოცულობა დღემდე ვოლფრამის ბაზაზე იწარმოება, რომლის მარაგი თანდათან იწურება. ამასთან დაკავშირებით მეცნიერების წინაშე დგას პრობლემა, შექმნან ახალი კომპოზიციური მასალები ვოლფრამის გარეშე ან შეამცირონ მისი შემცველობა მინიმუმდე და შეინარჩუნონ ის ფიზიკურ-მექანიკური და საექსპლუატაციო თვისებები, რაც ვოლფრამის ბაზაზე მიღებულ კომპოზიტებს აქვს [1-6]. ამ პრობლემის გადასაჭრელად როგორც მსოფლიოს მრავალ ქვეყნაში, ასევე საქართველოს ტექნიკურ უნივერსიტეტშიც ხორციელდება კვლევები, რომელსაც საფუძვლით აკადემიკოსმა თ. ლოლაძემ ჩაუყარა [7-16]. მას დიდი საკმაო წვლილი მიუძღვის ლითონების ჭრით დამუშავების თეორიის განვითარებაში [7-11].

## 2. ძირითადი ნაწილი

როგორც ცნობილია, მჭრელი ინსტრუმენტი ძირითადად ექვემდებარება ბუნებით ორ განსხვავებულ დაშლის ტიპს: მყიფე და პლასტიკური [7,17,18-24]. ჭრის ნორმალურ პირობებში საჭიროა, რომ ინსტრუმენტი არც ერთ ამ დაშლას არ დაექვემდებაროს და ფლობდეს საკმაო პლასტიკურ და მყიფე სიმტკიცეს.

მყიფე მსხვერევა ხდება, როცა მთავარი გამჭვიმავი ძალები ინსტრუმენტის მჭრელი ნაწილის ეწ. „საშიშ ზონაში“ აღწევს ზღვრულ სიდიდეს, მასალის სიმტკიცის ზღვარს. პლასტიკური დაფორმაცია ხდება, როცა ძვრადი დაძაბულობა სხეულის გარეგეულ მოცულობაში ჭარბობს დენადობის ზღვარს და იწყება დენადობა. ჭრის პროცესში მჭრელი წიბო განიცდის არათანაბარ და ყოველმხრივ შეგუმშვას, ინტენსიურ გახურებას და გარბილებას, რაც მის პლასტიკური ძალის ამაღლებს. დადგენილია, რომ მჭრელი ინსტრუმენტის შეუძლია ჭრით დამუშაოს მასალა თუ მისი სისალე 1,4-ჯერ აღემატება დასამუშავებელი მასალის სისალეს [7]. სისალის შეფარდება შენარჩუნებული უნდა იყოს ჭრის ნებისმიერ პირობებში ანუ საინსტრუმენტო მასალის გახურების შემთხვევაშიც.

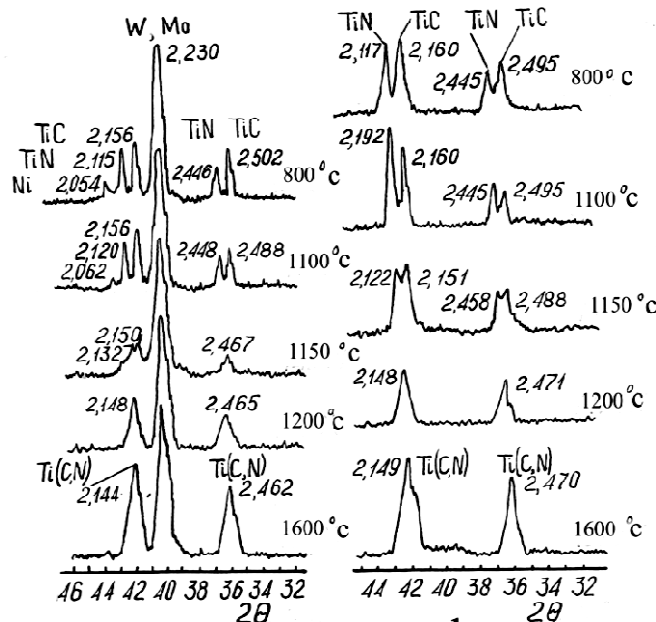
სტანდარტული სალი შენადნობების პლასტიკური დაშლის ერთ-ერთი უმთავრესი მიზეზია საკონტაქტო ვენების გახურება და მათი გარბილება ჭრის პროცესში, ამიტომ დიდი მნიშვნელობა აქვს საინსტრუმენტო მასალის სისალის ტემპერატურულ დამოკიდებულებას.

მჭრელი ლითონ-კერამიკული კომპოზიტები შედება ლითონური ფაზით შეკავშირებული კარბიდების, ნიტრიდების, ბორიდების ან მათი მყარი სხენარებისგან. ამ კომპოზიტების ეწ. კერამიკული ფაზა ნაკლებად ექვემდებარება პლასტიკურ დაფორმაციას. მჭრელი ინსტრუმენტის პლასტიკური დაფორმაციის მიზეზად გვევლინება შემაკავშირებელი ლითონური ფაზა, ამიტომ პლასტიკური სიმტკიცის აწევის მიზნით შეიძლებოდა შეგვემცირებინა ლითონური ფაზის შემცველობა, მისი შემცირება კი გამოიწვევს მყიფე სიმტკიცის ზღვრის შემცირებას. აკადემიკოსმა ლოლაძემ თავის დროზე გამოოქანოსაზრება [9], რომ მჭრელი ინსტრუმენტის გაუმჯობესების ერთ-ერთი გზა ლითონური შემკვრელის პლასტიკური სიმტკიცის ამაღლებაა. ამ მიზნით ჩატარებული კვლევების შედეგად მიღებულ იქნა რამდენიმე კომპოზიტი. განვითარება ერთ-ერთს, T მცირევოლფრამიან კომპოზიტს,

რომლის შედგელობაში შედიოდა მას. %: TiC -30-42; TiN - 30-42; Ni- 6-10; Mo-10-12; W-10-12.

კომპოზიტის შეცხობა ხდებოდა ვაგუუმ-დუ-მელში  $1600^{\circ}\text{C}$ -ზე,  $10^{-3}$  პირობებში. შეცხობის

პროცესში ტიტანის კარბიდისა და ტიტანის ნიტ-რიდის ურთიერთქმედებით წარმოიქმნა ტიტანის კარბონიტრიდი, რაც რენტგენოსტრუქტურულმა ანალიზმა დაადასტურა (სურ. 1).

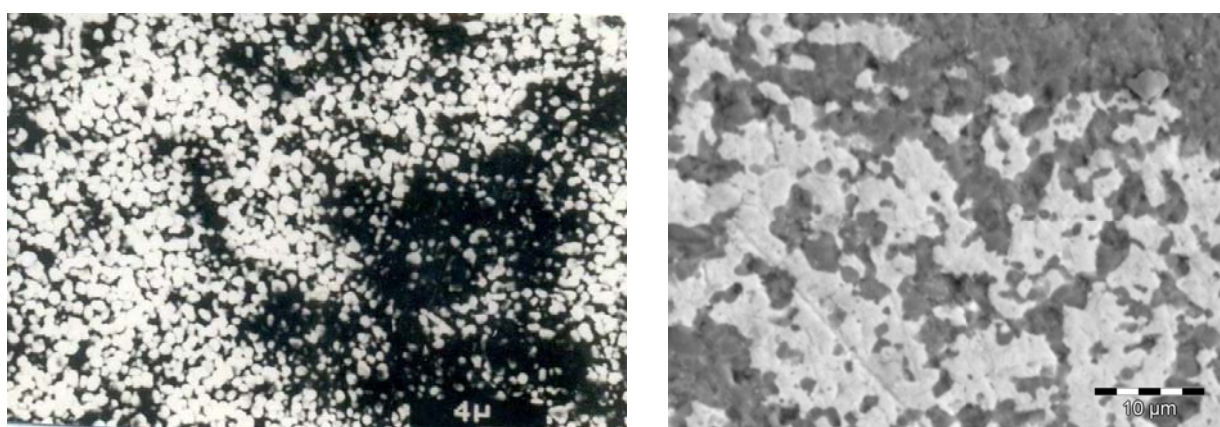


სურ. 1. მცირევოლფრამიანი კომპოზიტის შეცხობისას მიმდინარე პროცესის რენტგენოსტრუქტურული ანალიზი: а) ლითონური Ni-Mo-W-ის ფაზის თანაობისას და ბ) ლითონური ფაზის გარეშე

საკვლევი კომპოზიტის მიკროსტრუქტურა უმ-თავრესად ერთგვაროვანია (სურ. 2, ა, ბ), შერ-ჩეული შეტაღური ფაზა საკმაოდ მტკიცედ აკაგშირებს კარბონიტრიდის მარცვლებს, რაზე-დაც მიუთითებს სიმტკიცის ზღვარი ღუნგისას  $\sigma_{\text{დ}}=1100-1150$  მპა (ცხრილი 1), მაშინ, როცა იგივე ტემპერატურაზე შემცხვარი ტიტანის კარ-ბონიტრიდის სიმტკიცის ზღვარი ღუნგისას  $\sigma_{\text{დ}}=500$  მპა, ტიტანის კარბონიტრიდის მარც-ლების ზომები 1-2 გვთ ზომისაა (სურ. 2). შეც-

ხობის ტემპერატურის მნიშვნელოვანი ზემოქმედება კარბონიტრიდის მარცვლების სიდიდეზე არ დაფიქსირებულა, რაც შეიძლება აისხნას კარბონიტრიდის ნაკლები ხსნადობით Ni-Mo-W-ის მეტალურ ფაზაში.

რადგან სისალის სიდიდეს დიდი მნიშვნელობა ენიჭება ჭრის პროცესისთვის, ის გაიზომა როგორც ოთახის, ასევე მაღალ ტემპერატურებზე.



სურ. 2. T კომპოზიტის მიკროსტრუქტურა

ოთახის ტემპერატურაზე სისალე გაიზომა როგორც როკველის მეთოდით, ასევე ვიკერსით სხვადასხვა დატვირთვის პირობებში. შედარების მიზნით პარალელურად გაზომილ იქნა სტანდარტული შენადნობების – BK8 (WC92-Co8%) და KNT20 (TiCN80-(Ni,Mo)20%) მასასიათებლებიც.

მიკროსისალე გაიზომა კლაუსტალის (გერმანია) ტექნიკური უნივერსიტეტის კერამიკის კათედრაზე.

ოთახის ტემპერატურაზე მიკროსისალის გაზომვის შედეგები წარმოდგენილია 1-ელ ცხრილში და სურათებზე (3, 4, 5).

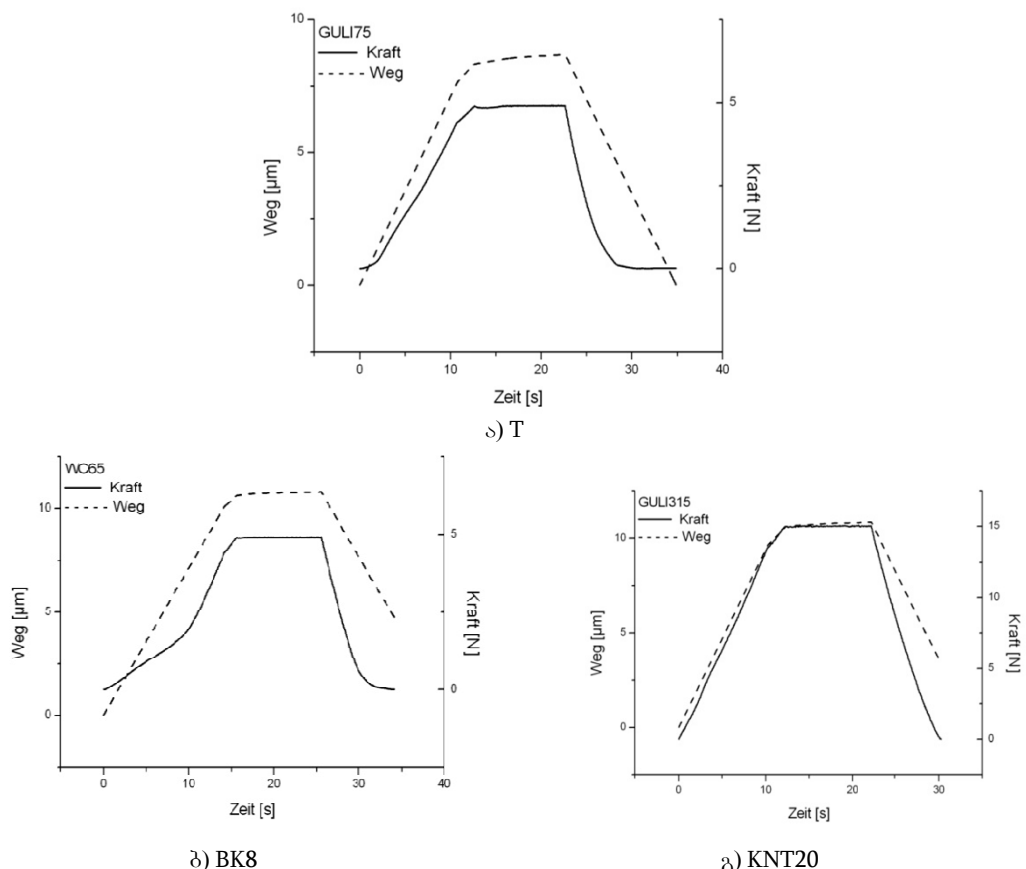
#### ცხრილი 1

##### საკვლევი და სტანდარტული კომპოზიტების მექანიკური თვისებები ოთახის ტემპერატურაზე

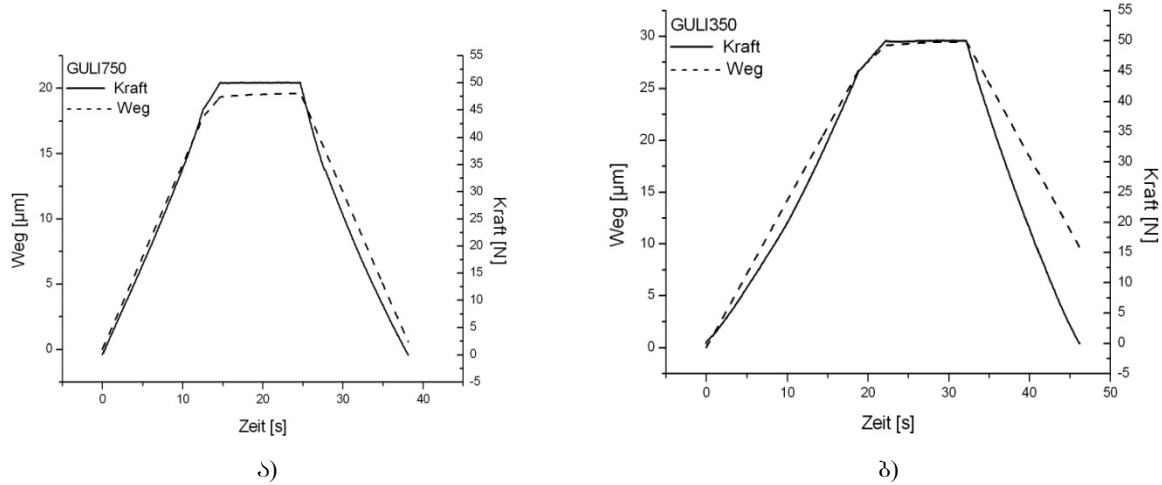
კომპოზიტის დასახელება	სიმტკიცე ღუნ- გისას, დამპა	HRA	HV, გპა 5N დატვირთვისას	HV, გპა 15N დატვირთვისას	HV, გპა 50N დატვირთვისას
T	900-1150	88-89	9-10	8-9	7-8
BK8	1400-1500	89-90	10-11	11-12	11-12
KNT20	1300-1400	89-90	15-16	16-17	14-15

როგორც ცხრილიდან ჩანს წრფივი დამოკიდებულება მიკროსისალება და დატვირთვის სიდიდეს შორის ერთმნიშვნელოვნად არ დაფიქსირდა. გარკვეული გადახრები განპირობებულია სხვადასხვა ფაქტორით, რომლებიც გავლენას ახდენს სისალის რიცხვით მნიშვნელობაზე, მასალის არაერთგვაროვნებაზე, მარცვლების ზომებზე, გაზომვის ცდომილებაზე და სხვა [25-27].

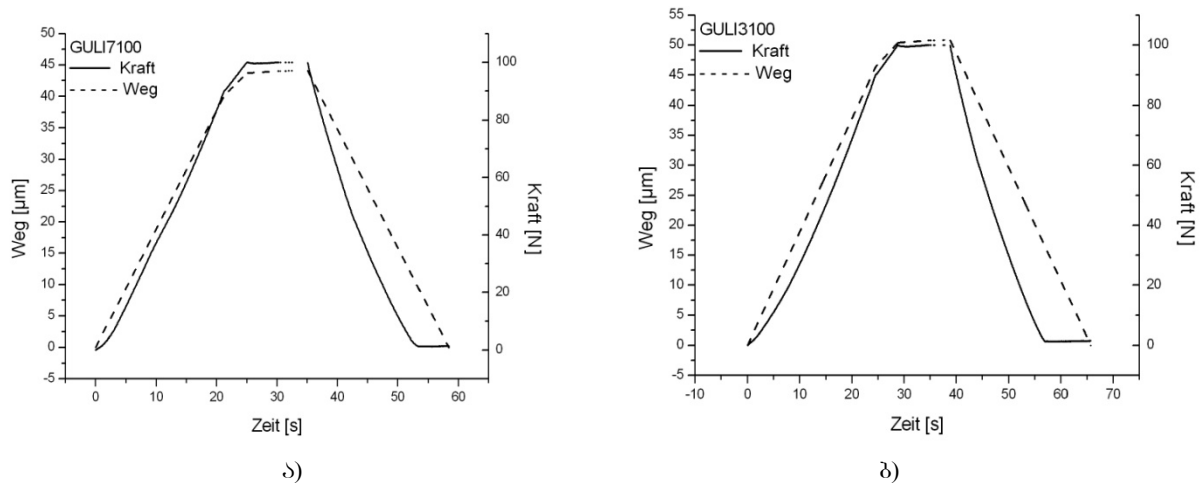
მიკროსისალის გაზომვისას დატვირთვისას და დატვირთვის მოხსნის შემდეგ, ინდენტორის მიერ გავლილი გზის შედარებით, ვცადეთ დაგვეხასიათებინა დრეკადი დეფორმაციის სიდიდე, რაც რიცხობრივად მათი სხვაობის პროცენტით გამოვთვალეთ. აღმოჩნდა, რომ სტანდარტული შენადნობებისათვის ის იცვლებოდა 22–38% ფარგლებში, ხოლო საკვლევი კომპოზიტის შემთხვევაში საერთოდ არ დაფიქსირდა.



სურ. 3. მიკროსისალისა და ინდენტორის მიერ გავლილი გზის გრაფიკები 5N დატვირთვისას: ა) T საკვლევი კომპოზიტის, ბ) BK8 და გ) KNT20 შენადნობებისთვის



სურ. 4. მიკროსისალისა და ინდენტორის მიერ გავლილი გზის გრაფიკები 50N დატვირთვისას: а) T საკვლევი კომპოზიტის, ბ) KNT20 შენაღნობისთვის



სურ. 5. მიკროსისალისა და ინდენტორის მიერ გავლილი გზის გრაფიკები 100N დატვირთვისას: а) T საკვლევი კომპოზიტის, ბ) KNT20 შენაღნობებისთვის

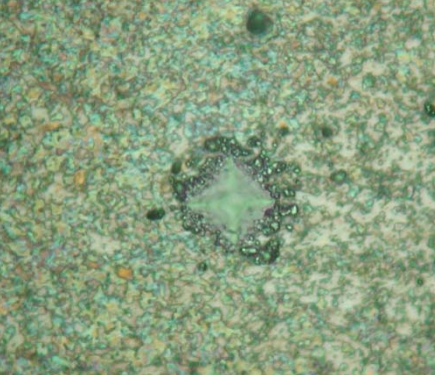
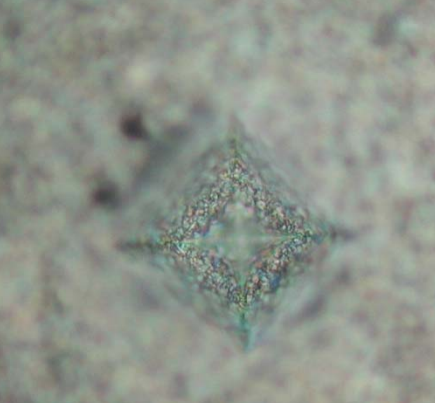
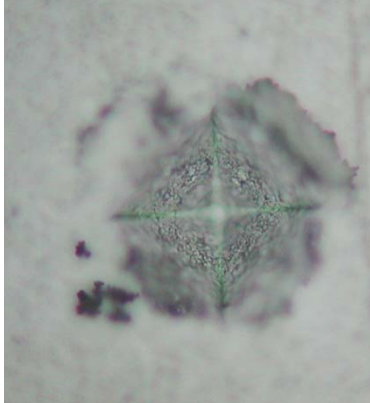
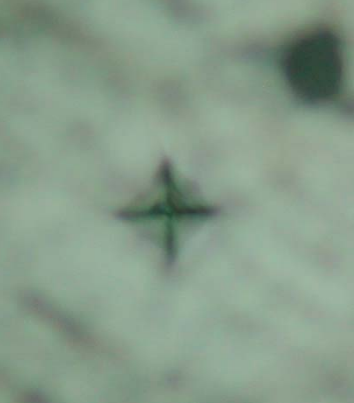
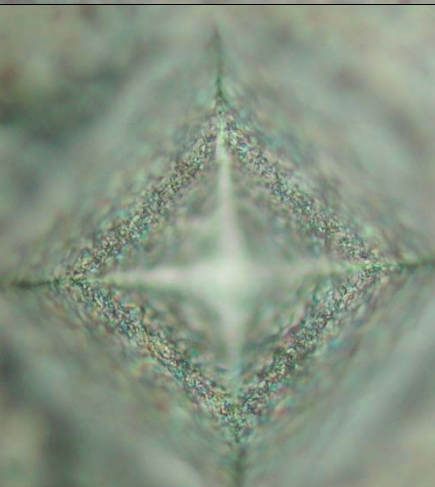
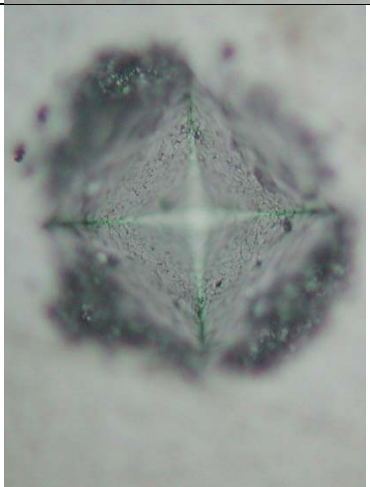
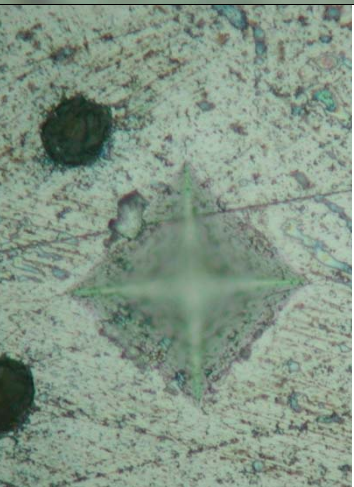
ინდენტორის ანაბეჭდებზე დატვირთვებამ გვიჩვენა (სურ. 6, а, ბ), რომ საკვლევი კომპოზიტის საზღვრები დარღვეულია ყველა დატვირთვის შემთხვევაში, სტანდარტული BK8-ის შემთხვევაში კი რღვევა 15N დატვირთვის შემდეგ ფიქსირდება, ხოლო KNT20 შენაღნობის შემთხვევაში, სადაც 20% ნიკელ-მოლიბდენის ლითონურ შემაკავშირებელს შეიცავს, ანაბეჭდის საზღვრების რღვევა უფრო მეტი – 50N დატვირთვისას ფიქსირდება, რაც, ჩვენი აზრით, მიუთითებს საკვლევ კომპოზიტში, სტანდარტულ შენაღნობებთან შედარებით, დრეკადი დეფორმაციის ნაკლებობაზე ოთახის ტემპერატურის პირობებში.

სისალის მახასიათებლების მაღალ ტემპერატურებზე განსაზღვრით (ცხრილი 2) ვნახეთ, რომ საკვლევი კომპოზიტი სისალეს ინარჩუნებს საკმაოდ მაღალ ტემპერატურამდე მაშინ, როცა სტანდარტული კომპოზიტები კობალტის ან

ნიკელ-მოლიბდენის ლითონური შემაკავშირებლით საგრძნობლად ჩამორჩება მას, რაც განაპირობა შემაკავშირებელი მეტალური ფაზის მხერვალმედეგობის გაზრდამ, მასში მეტალური კოლფრამის შექვანით.

## ცხრილი 2 კომპოზიტების სისალის ტემპერატურაზე დამოკიდებულება

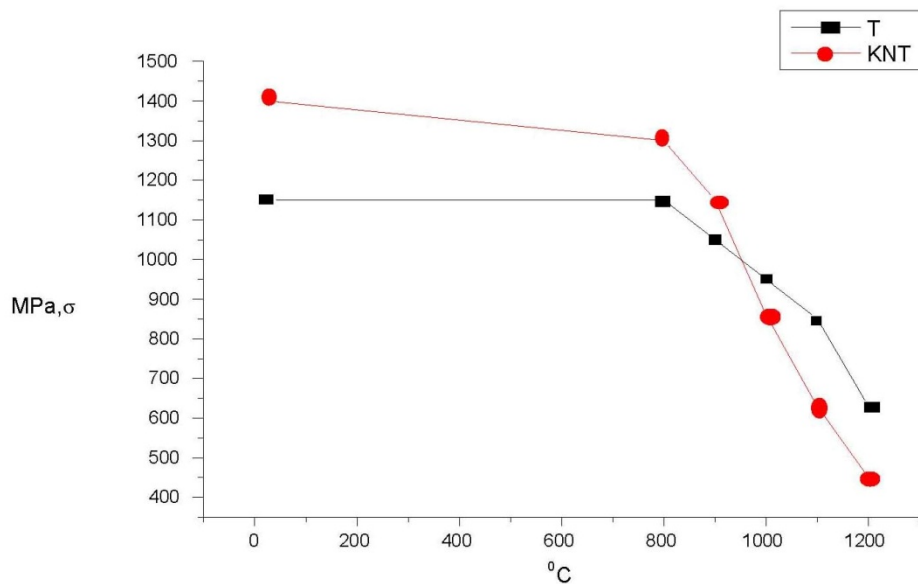
ტემპერატურა, $t$ °C	სისალე HV, გპა		
	საკვლევი კომპოზიტი T	WC92-Co8	TiCN80-Co20
200	14,0	13,0	14,0
400	13,0	10,5	11,5
600	11,0	8,0	8,5
800	9,0	5,5	6,0
1000	6,5	3,5	4,0

N	კომპოზიტის დასახელება		
	T	BK	KNT
5			
15			
50			

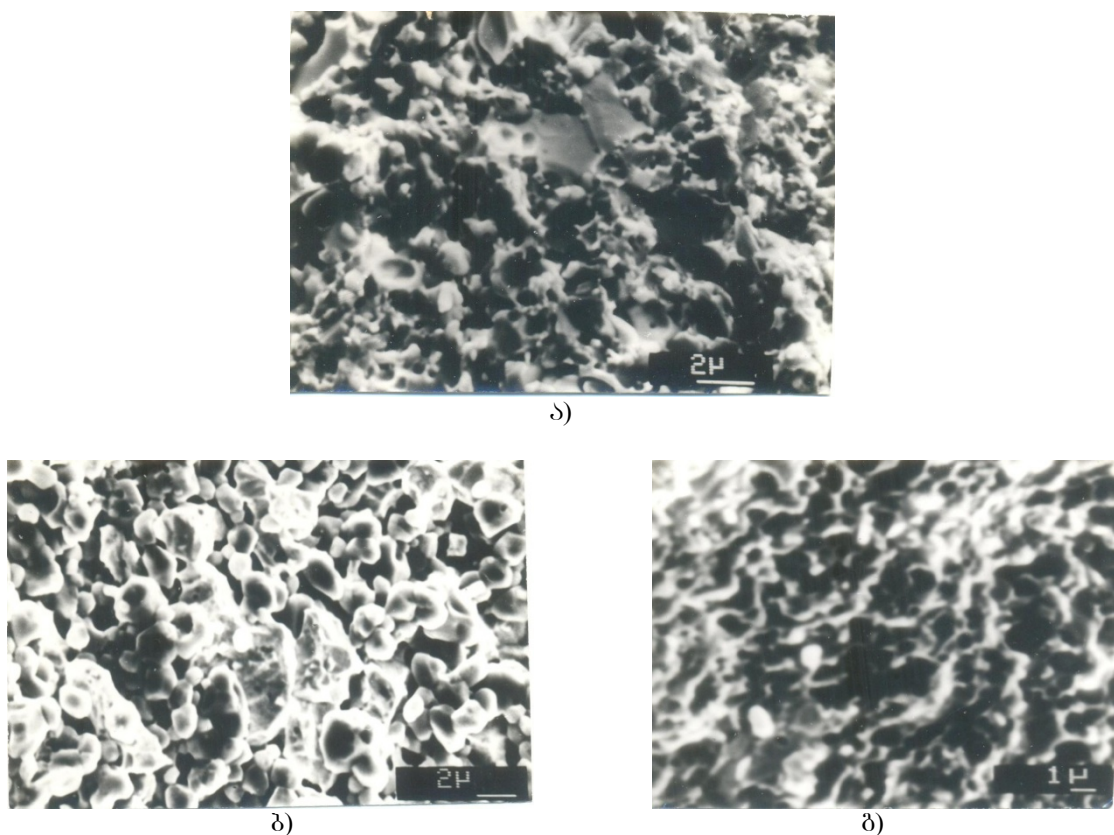
სურ. 6. ინდენტორის ანაბეჭდების  
სურათები 5, 15, 50 N დატვირთვისას

ღუნვაზე სიმტკიცის ზღვრის განსაზღვრამ მა-  
დალ ტემპერატურაზე გვიჩვენა, რომ საკვლევი  
ჰცირევოლფრამიანი კომპოზიტის სიმტკიცე თით-  
ქმის არ იცვლება 1000°C-მდე, ნიმუშების გამოც-  
დის ტემპერატურის შემდგომი ზრდისას სიმტკი-  
ცის ზღვარი ღუნვისას მდოვრედ ეცემა, მაგრამ 1200°C-ზე ჯერ კიდევ ინარჩუნებს 400–600მამ  
სიდიდეს (სურ. 7).

ჩატარებულ იქნა ელექტრონულ მიკროსკო-  
პული კვლევა საკვლევი კომპოზიტის ნიმუშების  
ტეხისას, ღუნვაზე სიმტკიცის ზღვრის გამოცდის  
შემდეგ (სურ. 8). ოთახის ტემპერატურაზე გატე-  
ხილი ნიმუშის (სურ. 8, а) შემთხვევაში ჩანს,  
რომ რღვევა ხდება როგორც მარცვალთშორის,  
ასევე ტრანსკრისტალიტური მექანიზმით, ხოლო  
მაღალ ტემპერატურებზე – მარცვალთშორის  
მეტალურ ფაზაზე (სურ. 8, б).

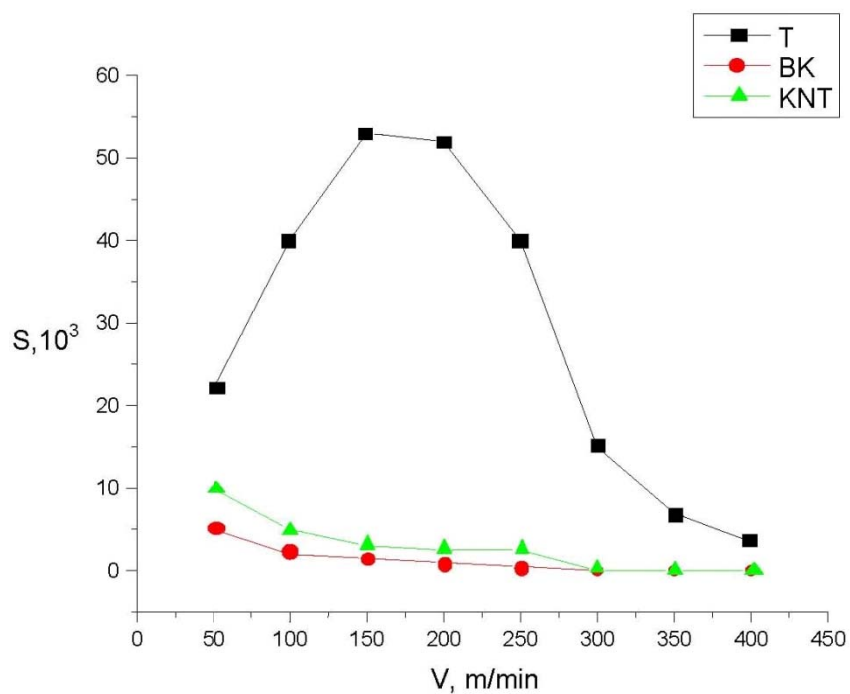


სურ. 7. T და KNT20 კომპოზიტის ღუნვაზე სიმტკიცის ზღვრის ტემპერატურაზე დამოკიდებულების მრუდები

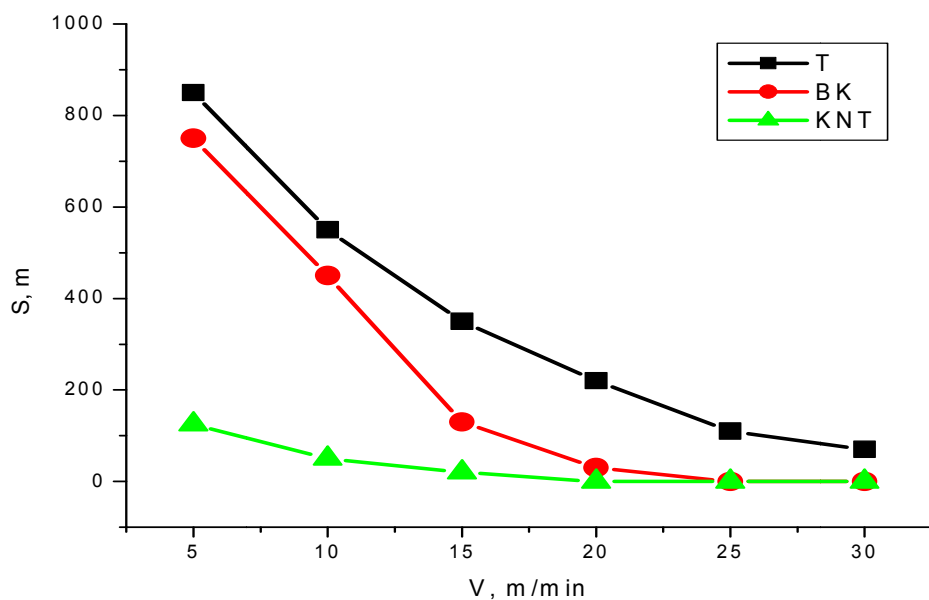


სურ. 8. T კომპოზიტის ტეხის ელექტრონულმიკროსკოპული სურათი ღუნვაზე სიმტკიცის ზღვრის გამოცდის შემდეგ: а) ოთახის ტემპერატურაზე, б) 800°C; г) 1200°C

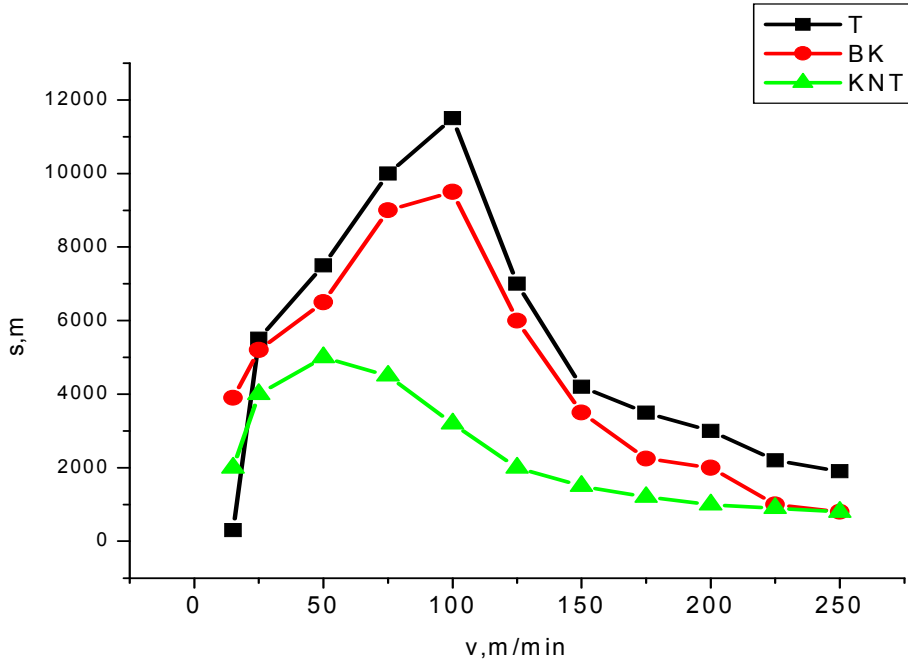
მედეგობაზე ჩატარებულმა ცდების [28-30] შედეგებმა ნახშირბადოვანი, ლეგირებული ფოლადებისა და მხერვალმტკიცე შენადნობების ჭრით დამუშავებისას გვიჩვენა, რომ საკვლევი კომპოზიტის მედეგობა 1,5–2-ჯერ აღემატება სტანდარტული კომპოზიტების მედეგობას (სურ. 9, а, ბ, გ).



δ)



δ)



δ)

სურ. 9. მედეგობის მრუდები T, BK და KNT კომპოზიტებისათვის  
სხვადასხვა მასალის ჭრით დამუშავებისას: а) ფოლად HRC=45-ის, δ) თუჯისა და  
გ) უქანგავი ფოლადის ( $\alpha=\alpha_1=90^\circ$ ;  $\varphi = 45^\circ$ ;  $\varphi^1 = 35^\circ$ ;  $t=1\text{mm}$ ;  $S=0,21\text{მმ}^2/\text{მრ}$ )

ფოლად 45-ის (HRC-45) დამუშავებისას, ჭრის დაბალი სიჩქარის დროს, მედეგობის მაჩვენებელი (სურ. 9, а) ყველა კომპოზიტისთვის მეტნაკლებად ერთნაირია, რომელიც განისაზღვრება მყიფე ადჰეზიური ცვეთითა და ჩამოფხვნით, რადგან მათ დაახლოებით ერთნაირი სიმტკიცის ზღვარი აქვს. თუჯის დამუშავებისას დაბალი ჭრის სიჩქარის პირობებში  $v=5-10 \text{ m}/\text{წ}$  (სურ. 7, ბ) მედეგობა დაახლოებით ისევ ერთნაირია, ხოლო  $v=5-10 \text{ m}/\text{წ}$  სიჩქარისას T კომპოზიტის მედეგობა ბევრად აღემატება BK8 და KNT20 მედეგობას, ასევე უქანგავი ფოლადების დამუშავებისას (სურ. 9, გ).

საკვლევი კომპოზიტის მეტალურ შემაკავშირებელში მაღალი ლითობის ტემპერატურის მქონე კოლფრამის დამატებით, ზოგადად, ამ კომპოზიტის პლასტიური სიმტკიცე გაიზარდა, რაც გამოიხარა მაღალი სიჩქარების ჭრისას მის უპირატესობაში [31].

მაღალი პლასტიური სიმტკიცისა და დიფუზური მედეგობის შედეგად საკვლევი მცირევლფრამიანი კომპოზიტის მნიშვნელოვანი უპირატესობა დაფიქსირდა BK8 და KNT20-ის მიმართ გახურებულ მდგომარეობაში ფოლადის ჭრით დამუშავებისას შენადუდი მიღების შიგა და გარე ნაკერების მოხსნის ოპერაციაზე, როცა ჭრის ტემპერატურა  $900-950^\circ\text{C}$  აღწევდა.

### 3. დასკვნა

ტიტანის კარბონიტრიდისა და მაღალი ლითობის ტემპერატურის მქონე შემაკავშირებელი ლითონური ფაზის შერწყმით მიღებული მცირევლფრამიანი მჭრელი კომპოზიტი შეიძლება გამოყენებულ იქნეს ფოლადების ჭრით სუფთა და ნახევრად სუფთა დამუშავებისას. რეკომენდებულია მისი გამოყენება აგრეთვე გახურებული ფოლადების ჭრით დამუშავებისას ე.წ. ცხელი ნაწილურების მოხსნისთვის.

### ლიტერატურა

1. Шлишевский Б.Е. Ларина Т.В. Безвольфрамовые твердые сплавы и перспектива их использования в оптической отрасли приборостроения // ИНТЕРЭК-СПО ГЕО-СИБИРЬ, выпуск №1. Том 4. 2007, с. 1-7.
2. Грубый С.В. Повышение эффективности токарной обработки сталей резцами из безвольфрамовых твердых сплавов, Автореферат диссертации. Москва, 1984.
3. Зубков Н.Н. Инструментальные материалы для изготовления лезвийных инструментов // НАУКА и ОБРАЗОВАНИЕ: Электронное научно-техническое издание, выпуск №05, 2013, с.75-97.

4. Верещака А.С., Кушнер В.С. Резание материалов, М.: Высшая Школа, 2009. -539с.
5. Smith G. Cutting Tool Technology: Industrial Handbook - London: Springer-Verlag London Limited, 2008.
6. Smith G. Cutting Tool Technology: Industrial Handbook - London: Springer-Verlag London Limited, 2008.-559р.
7. Loladze T.N., Totchiev F.G., Tkemaladze G.N. Some Features of Brittle Failure of Cutting Tools in: Proc. Jf the Internatonal M.T.O.R. Conference. Swancea,1980. Р.р.297-303.
8. Лоладзе Т.Н. Прочность и износостойкость режущего инструмента. М.: Машиностроение, 1982. – 320 с.
9. Лоладзе Т.Н.Основные направления развития обработки материалов резанием // Вестник машиностроения, 1980,№11, с.40-41.
10. Миканадзе А.И. Режущие свойства и применение маловольфрамовых сплавов с высокотемпературной связкой. Автореферат кандидатской диссертации. Тбилиси: Грузинский политехнический институт, 1983. - 30с.
11. Лоладзе Т.Н. Научные основы создания эффективных инструментальных материалов на примере сплавов Т и ТП // Тезисы докладов Всесоюзного научного симпозиума “Проблемы создания и внедрения высокопроизводительного режущего инструмента с пониженным содержанием вольфрама”. Тбилиси, 1977, с.57-69.
12. Kowsiridze Z., Kiknadze N., Hainrich J., Goerke R., Tabatadze G. Structural Research of  $\text{Al}_2\text{O}_3$  – TiC System Nanoceramic Composite Material, 1<sup>st</sup> International Conference for Students and Young Scientists on Materials Processing Science, Tbilisi< Georgia, 10-13 October 2010.
13. Kowsiridze Z., Nizharadze N., Tabatadze G., Nikoleisvili E., Mestvirisvili Z., Kinkladze V. Multifunctional heteromodulus composites in the  $\text{B}_4\text{C}$ -BN-TiC-SiC-C System. Journal of the European Ceramic Society, Elsevier, vol. 31, issue 10, September 2011, pp. 1921-1926.
14. Kowsiridze Z., Jalabadze N., Tabatadze G.  $\text{B}_4\text{C}$  and  $\text{Al}_2\text{O}_3$  Based Composites. II<sup>nd</sup> International Conference for Students and Young Scientists on Materials Processing Science, Tbilisi< Georgia, 10-13 October 2012, pp. 150-156.
15. Kowsiridze Z., Kiknadze N., Tabatadze G. Cutting Ceramic Composite material on the Basis of  $\text{Al}_2\text{O}_3$  – TiC-WC-TiN System. II<sup>nd</sup> International Conference for Students and Young Scientists on Materials Processing Science, Tbilisi< Georgia, 10-13 October 2012, pp. 136-141.
16. Kowsiridze Z., Tabatadze G., Hainrich U., Mestvirisvili Z. 4<sup>th</sup> International Congress on Ceramics, Chicago, Illinois, USA, Juli 15-19, 2012, pp.65.
17. Лоладзе Т.Н. Основы создания эффективных инструментальных материалов для обработки жаропрочных сплавов и специальных сталей. Тбилиси: Грузинский политехнический институт, 1976. - 44с.
18. Постнев В.В., Хадиуллин, Шафиков А.А., Федоровцев А.Ю. Исследование влияния интенсивности автоколебаний на формуустойчивость режущей кромки твердосплавного инструмента // Вестник Уфимского государственного технического университета. Выпуск №1(36), том 14, 2010. С.43-49.
19. Трефилов В.И., Мильман Ю.А. Изв. АН СССР. Неорганические материалы, 1984, т.20. №6. С.958-966.
20. Трефилов В.И., Мильман Ю.А. Физические основы прочности тугоплавких металлов. Киев, 1975.
21. Андриевский Р.А. Журнал Всесоюзного физического общества. 1979, №3.с.258-262.
22. Андриевский Р.А., Ланин А.Г., Рымашевский Г.А. Прочность тугоплавких соединений. М.: Металлургия, 1974. - 231 с.
23. Андриевский Р.А., Спивак И.И. Прочность тугоплавких соединений и материалов на их основе. Справочник. Челябинск: Металлургия. Челябинское отделение. 1989. - 367 с.
24. Липатов А.А., Чигиринский Ю.Л. Оценка режущих свойств твердосплавного инструмента по объемному содержанию фаз // Известия Волгоградского государственного технического университета, выпуск №100, том 13, 2012, с.35-37.
25. Федосов С.А., Пешек Л. Определение механических свойств материалов микроиндицированиям. М.: МГУ им. М.В. Ломоносова, 2004. – 98 с.
26. Головин Ю.И. Наноиндицирование и его возможности. М.: Машиностроение, 2009.–312 с.
27. Матюнин В.М. Оперативная диагностика механических свойств конструкционных материалов. М.: Издательский дом МЭИ, 2006. – 214 с.
28. Макаров А.Д. Ускоренные методы определения оптимальных режимов резания. - В сб.: Оптимизация процессов резания жаро- и особо прочных материалов. Выпуск VI, Уфа, 1981, с.3-16.
29. Ковеленов Н.Ю., Михайлов С.В., Болотских С.В. Разработка экспериментального метода ускоренного определения режущих свойств инструмента

- // Известия Самарского Научного Центра РАН, №1, том.16,2014.с.404-409.
30. Артамонов Е.В., Василега Д.С., Тверяков А.М. Определение температуры максимальной работоспособности сменных режущих пластин из инструментальных твердых сплавов // Омский научный вестник. Вып. №3-123. 2013. С.85-87.
31. Трефилов В.И., Григориев О.Н., Шатохин Т.М. ДАН СССР. 1981. Т.259. №4, с.836-839.

---

**УДК 621.9.02**

**METAL-CERAMIC COMPOSITES FOR METAL TREATMENT BY CUTTING**

**Z. Kovziridze, N. Nizharadze, A. Mikanadze, G. Tabatadze**

**Resume:** The Goal: Low wolfram-containing cutting composite was obtained by fusion of titanium carbonitride and binding metal phase of high melting temperature; Method: The composite was prepared by compaction and further baking in vacuum furnace at  $1600^{\circ}\text{C}$  and  $10^{-3}$  Pa pressure. Method: analyses were performed on the X-Ray diffraction apparatus DRON-3, microstructure - on electron microscope NANOLAB-7, micro hardness - on micro-hardness meter of the mark MUCKE; relative resistance of cutters was estimated according to distances run at similar cutting regimes. Experiments were performed on turning machine. Results: Physical –mechanical proper of the prepared composite are as follows:  $\sigma_{\text{bend.}}=1000-1150$  MPa,  $\sigma_{\text{bend.}1000^{\circ}\text{C}}=600$  MPa HV=14GPa; HV<sub>1000</sub><sup>0</sup>C 6,5 GPa. At the terms of high cutting rates and high temperatures stability of cutters prepared by the composite under the study exceeds 1,5-2 times that of the known BK8 and KNT20 hard composite cutters. Conclusion: Its application is recommended in hot steel treatment by cutting, for removal of the so called edges/seams, as well as in steel treatment by cutting, during pure and semi-pure operations.

**Key words:** metal-ceramic; composite; cutting material; high-temperature; heat-resistant; micro hardness.

---

**УДК 621.9.02**

**МЕТАЛЛОКЕРАМИЧЕСКИЙ КОМПОЗИТ ДЛЯ ОБРАБОТКИ МЕТАЛЛОВ РЕЗАНИЕМ**

**Ковзиридзе З.Д., Нижарадзе Н.С., Миканадзе А.И., Табатадзе Г.С.**

**Резюме:** Целью является получение маловольфрамового режущего композита связыванием карбонитрида титана с высокотемпературной металлической фазой. Методы: композит получен предварительным прессованием и последующим спеканием в вакуум-печи при температуре  $1600^{\circ}\text{C}$  и давлении  $10^{-3}$  Па. Фазовый анализ проведен на рентгеновском аппарате DRON-3, микроструктура на электронном микроскопе NANOLAB-7, микротвердость на микротвердомере фирмы «MUCKE», сравнительная стойкость резцов оценивалась длиной пройденного пути резания при одинаковых режимах обработки. Испытания проводились на токарном станке. Результат: физико-технические показатели исследуемого композита:  $\sigma_{\text{изг.}}=1000-1150$  МПа;  $\sigma_{\text{изг.}1000^{\circ}\text{C}}=600$  МПа; HV=14ГПа; HV<sub>1000</sub><sup>0</sup>C =6,5ГПа. Стойкость резцов, изготовленных из исследуемого композита, в 1,5 и 2-раза превосходит стойкость резцов из известных твердых сплавов BK8 и KNT20. Заключение: Рекомендовано использование полученного маловольфрамового композита для обработки резанием сталей при чистовых и получистовых операциях, а также для обработки сталей в нагретом состоянии - т.н. для снятия горячих сварных швов.

**Ключевые слова:** металлокерамический композит; режущий материал; высокотемпературный; жаропрочный; микротвердость.

---

## შაპ 591.2

მართვალი ლოგისტიკი პიპლანირების მეთოდით სწორი ნაზღავის პიგოსა (პროექტოლოგიური) და საშვილოსნოს ყელის დაგანვითარების სამპურნალო აპარატი და უსაზოგოვრების შესრულება თემის ვირტუალური განვითარების

### ზ. კოვჩირიძე,\* ნ. ჯოგლიძე,\*\* ნ. ნიუარაძე,\* ხ. ბლუაშვილი\*

ქიმიური და ბიოლოგიური ტექნოლოგიების დეპარტამენტი, საქართველოს ტექნიკური უნივერსიტეტი, საქართველო, 0175, თბილისი, კოსტავას 69

\*\*თბილისის სახელმწიფო სამედიცინო უნივერსიტეტი. ფარმაკოლოგიური და სამკურნალო საშუალებების კვლევის ჯგუფი. საქართველო, 0177, თბილისი, ვაჟა-ფშაველას 33

E-mail: kowsiri@gtu.ge

**რეზიუმე:** მიზანი: შესწავლითია პიპლანირების მონოტერაციული ეფექტი სწორი ნაზღავის კიბოსა და საშვილოსნოს ყელის დაგანვითარების სამკურნალო. მეთოდი: მართვალი ლოგისტიკური პიპლანირების მეთოდის განვითარებისათვის, ექსპრიმენტულ მასალაზე დაყრდნობით, გამოყენებულ იქნა ხელსაწყო „ლეზი“, რომელიც შეიქმნა სტუსის ბიონანოერაციისა და ნანოკომპოზიტების მასალათმცოდნეობის ცენტრში. შედეგები: ყველა ცხოველში (3 თვის ალბინოსი თაგვები) დაფიქსირდა კიბოს დაგანვითარების შეჩერება და განვითარდა ინტრატემორული ნეკროზი (საქართველოს ინტელექტუალური საკუთრების ეროვნული ცენტრი, საქართველო). დაფიქსირდა კიბოს დაგანვითარდა ინტრატემორული ნეკროზი (საქართველოს ინტელექტუალური საკუთრების დამადასტურებელი მოწმობა 5054. „მართვალი ლოგისტიკური პიპლანირებისა და მაგნიტური პიპლანირების სამკურნალო“). დასკვნა: შედეგად დადგინდა, რომ 7–10 სეანსის შემდეგ სიმსიცნე დაწყებულდა, რაც ექსპერიმენტის დადებით შედეგზე მეტყველებს (პათოლოგიურ-ანატომიური დაბორატორია „პათჯეოს“ დასკვნა. გამოკვლევის №3119-12 და პისტოპათოლოგიური გამოკვლევა №15272-13. დიაგნოზის გაცემის თარიღი 14.01.2014 წ. თბილისი, საქართველო).

უვნებლობაზე ექსპერიმენტმა ცხადყო, რომ ზემოაღნიშნული მეთოდის გამოყენება მკურნალობის პროცესში ცხოველებისათვის უსაფრთხოა.

**საკვანძო სიტყვები:** მართვალი ლოგისტიკური პიპლანირები; ნეკროზი; დაწყებულება; შეტასტაზი; ექსპერიმენტი; უსაფრთხოება; მკურნალობა.

## 1. შესავალი

### პრობლემის აქტუალურობა და კვლევის სიახლე

ჯანდაცვის მსოფლიო ორგანიზაციის მონაცემებით ავთვისებიანი სიმსიცნეებით განპირობებული აფალობისა და მისგან გამოწვეული სიკვდილიანობის მაჩვენებელი გამუდმებით იზრდება მთელ მსოფლიოში. დღეისათვის ონკოლოგიურ ავადმყოფთა მკურნალობაში წამყვანი როლი ენიჭება:

### 1. ქირურგიულ მეთოდებს;

### 2. ქიმიოთერაპიას;

### 3. სხივურ თერაპიას.

პორმონო- და იმუნოთერაპია დამხმარე მეთოდებია.

თუმცა, ხშირ შემთხვევაში, კვალიფიციურად ჩატარებული ჩარევის მიუხედავად, დაავადება ლეტალური გამოსავლით მთავრდება. გარდა პოლიორგანული უქმარისობისა, ამის მიზეზია ქიმიორადიოთერაპიით გამოწვეული იმუნური სისტემის დათრგუნვა, მიელოდეპრესია, ლეიკოპენია, კარდიო-, ნეფრო-, ჰემატო- და ნეიროტოქსიკურობა, ინტერურებული მიკრობული გართულებები და სხვა. ყოველივე ეს განაპირობებს ავთვისებიანი სიმსიცნეების მკურნალობის ახალი გზების ძიების აუცილებლობას, რომლებიც მიმართული იქნება სიმსიცნის საწინააღმდეგო სტრატეგიის გასაძლიერებლად.

პირველად საქართველოში შეგისწავლეთ მართვალი ლოგისტიკური პიპლანირების სიმსიცნის საწინააღმდეგო ეფექტი. პიპლანირებია არის მეთოდი, რომელიც გულისხმობს სიმსიცნურ უჯრედებზე ციტოსტატიკურ ზემოქმედებას უჯრედში ტემპერატურის გაზრდით – ჩვენ შემთხვევაში ტემპერატურული ველით გამოწვეული სითბური გაბნევით.

საქართველოში ყოველწლიურად ავთვისებიანი სიმსიცნით დაავადებულთა რაოდენობა შვიდი ათასს აღწევს. დაავადებულთა საერთო რაოდენობა ოცდათეუთმები ათასია.

ცნობილია, რომ ავთვისებიანი სიმსიცნეები შედება ორგანიზმის საკუთარი უჯრედებისაგან, რომლებიც ნორმისაგან მხოლოდ იმით განსხვავდება, რომ მათში მიმდინარეობს უკონტროლი შეუზღუდავი გამრავლება და ზრდა. ამიტომ, ავთვისებიან სიმსიცნეებში მეტაბოლური პროცესების ინტენსიურობა და, შესაბამისად, ენერგეტიკული მოთხოვნილებები უფრო მაღალია, ვიდრე ჩვეულებრივ ქსოვილებში. ამ ფაქტორის გათვალისწინებით პერსპექტიულია ონკოლოგიურად დაავადებულ და მის მოსაზღვრე ქსოვილებზე ისეთი ზემოქმედების გამოყენება, რომელიც დროის ერთ მონაკვეთში ამოწურავს გადაგვარებული უჯრედების ენერგეტიკულ პოტენციალს, გამოიწვევს მათი ცილების დენატურაციას (დაღუპვას),

ამავე დროს შენარჩუნებული იქნება ჯანმრთელი უჯრედების სიცოცხლისუნარიანობა [1-9].

ასეთი ბიოფიზიკური ზემოქმედება შეიძლება იყოს ადგილობრივი პაპეროტერმია ( $+42\text{--}+44^{\circ}\text{C}$ ).

მთელ მსოფლიოში ავთვისებიანი სიმსივნე-ებით განაირობებული ავადობისა და მისგან გამოწვეული სიკვდილიანობის მაჩვენებული გამუდმებით იზრდება და კლების ტენდენცია არ გააჩნია. გამნელებულია ნაადრევი დიაგნოსტიკა და ავადმყოფთა დიდი ნაწილი სტაციონარს გავრცელებული სიმსივნეებით (III-IV სტადია) მომართავს, როდესაც მათ ქირურგიული, სხივური და მედიკამენტური კომპონენტების გამოყენებით კომბინირებული და კომპლექსური მკურნალობა ესაჭიროებათ. იმატა იმ პაციენტთა რაოდენობამაც, რომლებიც ექიმ-ონკოლოგს მიმართავენ სიმსივნური პროცესის დაგვიანებითი კლინიკური ნიშნების მანიფესტაციოთა და სხვადასხვა მეტაბოლური დარღვევებით.

ავთვისებიან სიმსივნეთა მკურნალობის ახალი მეთოდების შემუშავება ონკოლოგიის მნიშვნელოვანი ამოცანაა. ექსპერიმენტული და კლინიკური კვლევებით დადასტურებული დაღებითი ეფექტის შემნე სამკურნალწამლო საშუალებისა თუ მკურნალობის მეთოდის კლინიკურ პრაქტიკაში დანერგვა წინგადადგმული ნაბიჯია ონკოლოგიური პაციენტების მკურნალობის საკითხში.

## 2. ძირითადი ნაწილი

კვლევის მიზანია ონკოლოგიური ავადმყოფების მკურნალობის უახლოესი და შორეული შედეგების გაუმჯობესება სიმსივნურ წარმონაქმნებისა და ლოკალური პიპეროტერმის გამოყენებით.

აღნიშნული მიზნის მისაღწევად დასახულია შემდეგი ამოცანების გადაჭრა:

1) ექსპერიმენტულ სიმსივნეებზე პიპეროტერმის სიმსივნის საწინააღმდეგო სამკურნალო ეფექტის შესწავლა.

2) ექსპერიმენტში პიპეროტერმის სიმსივნის საწინააღმდეგო აღიუგანტური ეფექტის დაღენაპოლიქიმიოთერაპიასთან კომბინაციაში.

პიპეროტერმის სხვადასხვა რეჟიმის შესწავლა მკურნალობის უშუალო და შორეულ შედეგებზე.

### მეცნიერული სიახლე

ექსპერიმენტულ მასალაზე დაყრდნობით, საქართველოში პირველად იქნა წარმოდგენილი მართვადი ლოკალური პიპეროტერმის სიმსივნის საწინააღმდეგო მონოტერაპიული სამკურნალო ეფექტი და აღიუგანტური მოქმედება სიმსივნეთა პოლიქიმიოთერაპიულ მკურნალობაში სწორი ნაწლავისა და საშვილოსნოს ყელის დაავადებებისათვის.

### კვლევის ობიექტი და ამოცანა

კვლევის ობიექტს წარმოადგენდა 2-3 თვის 20-25 გრამი მასის უჯიშო არახაზოვანი თეთრი თაგვები და მათი ავთვისებიანი სიმსივნური უჯრედები. კიბოს უჯრედები ჩვეულებრივ იღუპება დახლოებით  $42\text{--}44^{\circ}\text{C}$ , რაღაც უანგბადის მიწოდება სისხლძარღვებით არასაკმარისია მაშინ, როდესაც ნორმალური უჯრედები არ ზიანდება უფრო მაღალი ტემპერატურის დროსაც. გარდა ამისა, სიმსივნე უფრო ადვილად ხურდება, ვიდრე გარშემო მდებარე ნორმალური ქსოვილი, რადგან სისხლძარღვები და ნერვული სისტემები ნაკლებად განვითარებულია სიმსივნეში, ამას გარდა ასეთი დაავადებული უჯრედების უანგბადით მომარაგება ნაკლებია ჩვეულებრივ ჯანმრთელ უჯრედებთან შედარებით [1-15]. ექსპერიმენტი ჩატარდა ცხოველების ოორმეტ ჯგუფზე. შედეგები ყველა ჯგუფისათვის თანაბრად დადებითია და გამოქვეყნებულია იაპონიაში, აშშ-ში, ევროპასა და საქართველოში. პრეზენტაციები გაკვეთებულია საერთაშორისო კონფერენციებსა და მსოფლიო კონგრესებზე [16-20]. ამ შედეგებსა და რამდენიმე წლის მუშაობის გამოცდილებაზე დაყრდნობით გაჩნდა მოტივაცია, რათა შექმნილიყო კლინიკური აპარატურა ვოლუტარი პაციენტებისათვის, აპარატურა მართვადი ლოკალური პიპეროტერმის მეთოდით სწორი ნაწლავის (პროქტოლოგიური) კიბოსა და საშვილოსნოს ყელის დაავადებების სამკურნალოდ. რომელიც შეიქმნა საქართველოს ტექნიკური უნივერსიტეტის ბიონანოვერამიკისა და ნანოკომპოზიტების მასალათმცოდნეობის ცენტრში.

სამუშაოს მიზანს შეაღებნდა ჩვენ მიერ კონსტრუირებული სამკურნალო კლინიკური აპარატი გამოგვეყნებინა ცხოველებზე მართვადი ლოკალური პიპეროტერმის მისაღებად. მისი საშუალებით ხდებოდა ტემპერატურული ველის მიზანმიმართული ტრანსპორტირება ცოცხალ ორგანიზმი ავთვისებიანი სიმსივნეების სამკურნალოდ.

სამუშაოს არსი მდგომარეობს იმაში, რომ ჩვენ მიერ შექმნილი კლინიკური ხელსაწყოს (სურ. 1) ზონდის (პიპეროტერმიული თავაკის) მეშვეობით ხდება ტემპერატურული ველის ტრანსპორტირება ვოლუტარი პაციენტის ორგანიზმი პიდრო-პიპეროტერმიული მეთოდით. ამ თავაკის სიმსივნერ უბანში ჩადგმით, გარკვეული დროის განმავლობაში, რომელიც ემპირიულად განისაზღვრება, ვნახავთ, როგორ რეაგირებს პაციენტი მკურნალობაზე და როგორ ექვემდებარება დააგადება მკურნალობას. ზემოთქმულიდან გამომდინარე, ტემპერატურული ინტერვალი შეადგენს  $42\text{--}44^{\circ}\text{C}$ , ხოლო დროის ხანგრძლივობა – 20-40 წუთს.



**სურ. 1. მართვადი ლოკალური პიპერთერმიის მეთოდით  
სწორი ნაწლავისა (პროქტოლოგიური) და საშვილოსნოს ყელის  
სიმსიგნური დაგადებების სამკურნალო აპარატი. დამზადებულია  
საქართველოს ტექნიკური უნივერსიტეტის ბიონანოგერამიკისა და  
ნანოკომპოზიტების მასალათმცოდნეობის (ცენტრში  
(ხელმძღვანელი, პროფ. ზ. კოგზირიძე)**

#### ძირითადი პარამეტრები

ელექტროკვება

220 ვ 160 ვ<sup>3</sup>

გამაცხელებლის ელექტროკვება

60 ვ 100 ვ<sup>3</sup>

ავზის მოცულობა

0.5 ლ

ტემპერატურის რეგულირების დიაპაზონი გამოსავალზე 40.5–47.0°C

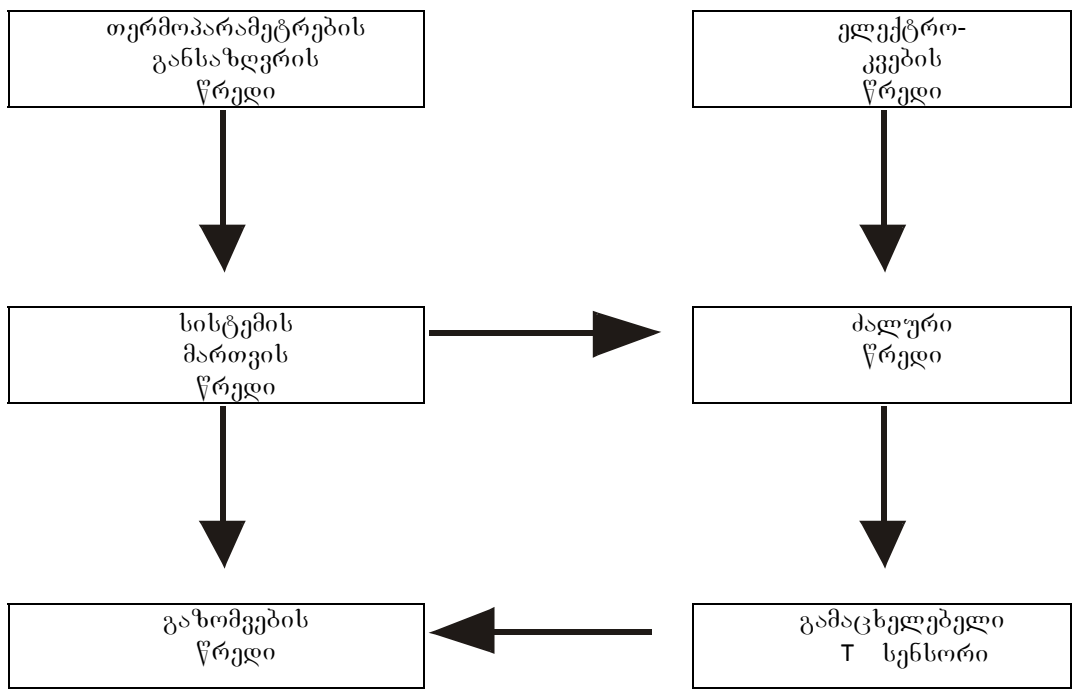
ზონდში სითხის ნაკადის სიჩქარე

250 მლ/წთ

აპარატის დამზადებისას გამოიყენება სამედიცინო დანიშნულების სილიკონის სადრენაჟო მილები, მანაწილებლები და სხვა სამედიცინო აქსესუარები.

სითხის ნაკადების ტემპერატურის გასაკონტროლებლად, რომლის შედეგები გამოისახება მართვის პანელის 3-თანრიგიან დისპლეიზე. მესამე სენსორი დამონტაჟებულია გამაცხელებელზე და მისი სიგნალი გამოიყენება სისტემის ელექტრონული მართვის წრედში.

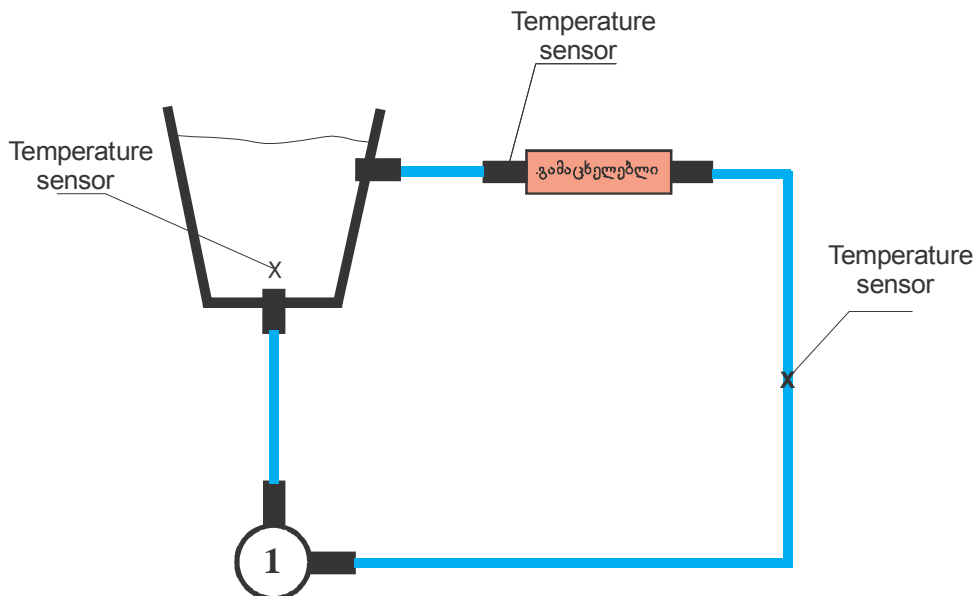
ტემპერატურის კონტროლი ხორციელდება სამი სენსორით. ორი თერმოსენსორი გამოიყენება პიდროსისტემის შესახვლელ-გამოსახვლელზე



**სურ. 2. ტემპერატურის სტაბილიზაციის ელექტრონული წრედის სქემა**

გამაცხელებელი დამზადებულია მაღალი სიუფთავის ვერცხლის  $4 \times 7 \times 220$  მმ მილისგან. მილის აქტიური არე დაფარულია თბოგამტარი ელექტროსაიზოლაციო ფენით, რომელზეც დახვეულია სპირალი. მილის დაბოლოებაზე დამონტაჟებულია ტემპერატურული სენსორი, რო-

მელიც აღრიცხავს გამაცხელებლიდან გამოსული სითხის ნაკადის ტემპერატურას. კარგვების თავიდან აცილების მიზნით გამაცხელებელი მთლიანად დაფარულია თერმოზოლაციური დამცავი გარსით.



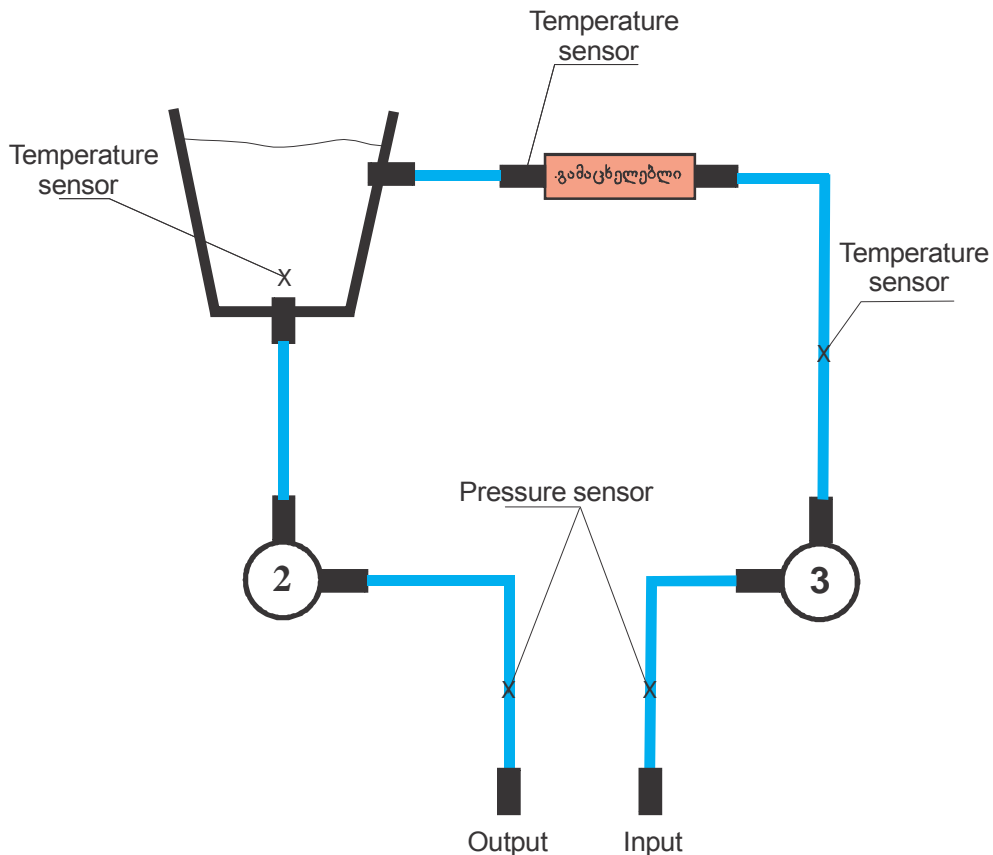
**სურ. 3. პიდრაგლიკური სისტემის ფუნქციონირების სქემა**

პიდრავლიკური სისტემის ფუნქციონირებას უზრუნველყოფს სამი მუდმივი დენის დაბალი ძაბვის ელექტროტუმბო. ტუმბოების მართვის ელექტრონული ბლოკი ახორცილებს ერთ სარეზერვო და სამ მუშა რეჟიმს:

- მუშაობს PUMP1 ტუმბო, რაც განსაზღვრავს ავზში მოთავსებული სითხის ცირკულაციას გამაცხელებლის გავლით. პრაქტიკულად ეს რეჟიმი გამოიყენება აპარატის მოსამზადებლად, ავზში სითხის ტემპერატურა სტაბილურდება მართვის პანელიდან განსაზღვრულ დონეზე (სურ. 3).

- მუშაობს PUMP2 (რევერსულ რეჟიმში) და PUMP3 ტუმბოები. პრაქტიულად ზონდიდან ამოიტუმბება პაერის და სითხის ნარჩენები. რეჟიმი განსაზღვრულია გარსაცმიანი ზონდის სხეულში შეკვნის და გამოყვანის პროცესის შესამსუბურებლად.

- მუშაობს PUMP2 და PUMP3 ტუმბოები, ზონდში ცირკულირებს საჭირო ტემპერატურამდე გაცხელებული წყლის ნაკადი. ზონდიდან ამოტუმბული სითხე გამაცხელებლის გავლით ბრუნდება ავზში, მიმდინარეობს სამკურნალო არის გაცხელებაზე დაკარგული ტემპერატურის აღდგენა (სურ. 4).



სურ. 4 პიდრავლიკური სისტემის ფუნქციონირების სქემა  
სამკურნალო რეჟიმში

პიდრავლიკური სისტემის მართვის სქემა უზრუნველყოფს ტუმბოების მუშაობას მართვის პანელიდან არჩეული რეჟიმის შესაბამისად.

პიდრავლიკური სისტემის მართვის სქემა განსაზღვრავს ტუმბოების ინტესიურობას ზონდში საჭირო წნევის (მაქსიმალური 50 კპა) შესაქმნელად. ჭარბმა წნევამ შესაძლოა გამოწვიოს სხეულის ქსოვილების დაზიანება. მართვის პანელიდან შესაძლებელია წნევის რეგულირება 10% ფარგლებში. დაავადებულ ქსოვილთან

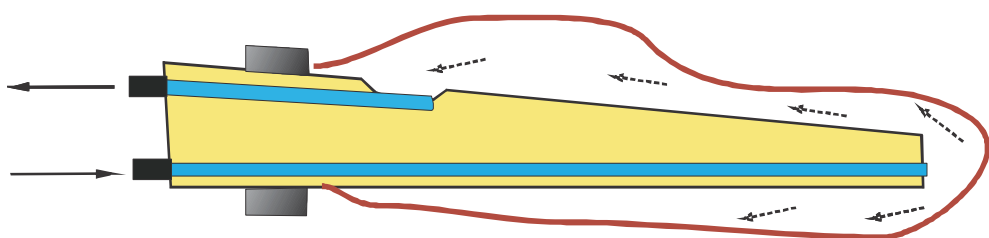
ზონდის შეხების ფართობთა ეფექტური თბოგადაცემის პროცესის მისაღებად შენარჩუნებული უნდა იქნეს სათანადო სიჩქარის სითხის ნაკადი. არსებული სისტემის მართვის ელექტრონული სქემა, კლინიკური გამოცდის შედეგების მიხედვით, ახდენს არსებული ფიქსირებული პარამეტრების რეგულირებას ფართო დიაპაზონში.

პიდრავლიკური სისტემის გამოსასვლელზე შემავალი და გამომავალი ნაკადების შესართებლად ზონდის შესაბამის მილებთან გამოყვა

ნებულია გადამყვან-ჩამკეტები. ზონდთან მოსაერთებლად გამოყენებულია სილიკონის სქელაედლიანი სადრენაჟო მიღები: 2x5 მმ (შემავალი) და 3x6 მმ (გამომავალი). პიდრავლიკური სისტემის აპარატის შიგა შეერთებისთვის გამოყენებულია 4x8 მმ სილიკონის მიღი. მოწყობილობაში სილიკონის სქელკედლიანი მიღების

გამოყენებამ, სილიკონის თერმოზოლაციური თვისებების გათვალისწინებით, განაპირობა გარემოს ტემპერატურის უმნიშვნელო გავლენა ცირკულირებადი სითხის ტემპერატურაზე რეგულირება ხდება ფართო დიაპაზონში.

ზონდი სილიკონის მიღია, რომელზეც წამოცმელია თხელკედლიანი გარსაცმი.



**სურ. 5 პიპერთერმიული მეთოდით  
სწორი ნაწლავისა და საშვილოსნოს ყელის სიმსიგნური დაავადებების  
სამკურნალო ზონდი**

**მართვადი ლოკალური პიპერთერმიის მეთოდის გამოყენების უსაფრთხოების შესწავლა შემკლებული პროგრამით თეთრ ვირთაგვებზე**

მეთოდის არსი მდგომარეობს კანქეშა ქსოვილებში ლოკალურად 42–44 სმ ფარგლებში მუდმივი ტემპერატურული ველის წარმოქმნასა და შენარჩუნებაში.

მკურნალობის ნებისმიერი ახალი მეთოდი შესწავლილი უნდა იქნეს უსაფრთხოებაზე. ამ მიზნით ჩატარდა კვლევები თეთრ ვირთაგვებზე.

### ექსპერიმენტის აღწერა

ზემოთ მითითებული მეთოდის უსაფრთხოება შემოკლებული პროგრამით შესწავლილ იქნა 20 ± 5 გ წონის თეთრ ვირთაგვებზე.

ექსპერიმენტისთვის შეირჩა ვირთაგვების საცდელი და საკონტროლო ჯგუფები. თოთოეულ ჯგუფში შედიოდა 10 მამრობითი და 10 მდედრობითი სქესის ვირთაგვა. საცდელი ჯგუფის ცხოველების საშვილოსნოს ყელსა და სწორ ნაწლავში შეგვევდა სპეციალური პიპერთერმიული ზონდი თერმოპადი თავაკით. თერმოპადი შეერთებული იყო სითბოს გამოსამუშავებელ ხელსაწყოსთან. ორივე ჯგუფის ცხოვე-

ლებზე ექსპერიმენტი გრძელდებოდა 10 დღის განმავლობაში.

თერმოპადის საშუალებით ხდებოდა ტემპერატურული ველის ტრანსპორტირება ვირთაგვების საშვილოსნოს ყელისა და სწორი ნაწლავის გარკვეულ საპროცესო მონაკვეთზე. ექსპერიმენტული ცხოველის საშვილოსნოს ყელსა და სწორ ნაწლავში (სურ. 6) შევვანილი ზონდის თავაკი თბებოდა 42–43°C და ამ ტემპერატურას აღნიშნული თავაკი ინარჩუნებდა სპეციალური აპარატის საშუალებით. ექსპერიმენტის წინა პერიოდში ვირთაგვები იმყოფებოდნენ 2-კირიან კარანტინში.

თითოეულ ვირთაგვაზე პროცედურის 3-წუთიანი ხანგრძლივობა 10 დღის განმავლობაში 100-ჯერ აღემატება მეთოდის აგზორების მიერ მოწოდებულ 30-წუთიანი პროცედურის დროს.

ექსპერიმენტის დასრულებისთანავე მოხდა ცხოველების დეკაპიტაცია შინაგანი ორგანოების შესწავლის მიზნით.

კვლევის მიზანი იყო სასიკვდილო დოზის ( $LD_{50}$ ) დადგენა და ასევე ორგანიზმში მიმდინარე უარყოფითი, ცალკეული სიმპტომების რეგისტრაცია.



20160114-112751



20160114-112814-001



20160114-113355-001



20160114-113355-002



20160114-113519-001



20160114-113519-002



20160114-113519-003

**სურ. 6. ექსპერიმენტი მართვადი ლოკალური პიპერთერმიის  
მეთოდის შესასწავლად უსაფრთხოებაზე საცდელი ჯგუფის  
ცხოველების საშეილოსნოს ყელსა და სწორ ნაწლავში**

**კვლევის შეფასება**

კვლევის შეფასება ხდებოდა ირვინის სკალის მიხედვით:

განწყობა-ემოციურობა (მოუსეუნერობის გადრ-მავება, აგრესიულობა); მოძრაობის უნარი; ცნე-ის აგზება (შეკრომა, კუდის გაშეშება, კანკალი, კრუნჩხევა); პოზა (პროსტრაცია, შებოჭილობა, კიდურების მდგომარეობა – მოხრილი, გაშლი-ლი); მოტორული დისკორდინაცია (ბარბაცი, უწვეულო სიარული, დგომის რეფლექსი); კუნთო-ვანი ტრნუსი (ჩაჭიდულობის ძალა, ჩაზნექილი ზურგი, მუცლის დაჭიმულობა); რეფლექსები (ნი-ჟარის რქოვანას, იპსილატერული მოხრის რეფ-ლექსი); ავტონომიური რეაქციები (გუგა, ქუთუ-ოვები, ეგზოფრალიში, შარდვა, ნერწყვდენა, ცრემლდენა, კანის ფარი ნიერაზე); ციანოზი ან პიპერების, გულისცემის და სუნთქვის სიხშირე; მყისი ან დაფორცებული სიკვდილი.

სხეულის მასის ნამატის კონტროლი ხორ-ციელდება ცდის დაწყების დღეს და შემდგომ ყოველ მე-5 დღეს.

**კვლევის შედეგები**

დაკვირვება ხორციელდება პროცედურის დამთავრებიდან 10 წუთის, 1, 2, 4 საათის გან-მავლობაში და შემდეგ ყოველდღიურად, დღეში ერთხელ 14 დღის განმავლობაში.

ექსპერიმენტის ჩატარებისა და დაკვირვების მთელი პერიოდის განმავლობაში ინტეგრალური მაჩვენებლების ნორმიდან გადახრა არ დაფიქ-სირებულა.

დაკვირვების პერიოდში ყველა ცხოველი ჯანმრთელია, აქტიური. დაკვირვების პერიოდში საცდელი ცხოველების ორიგინარება გარემოში,

ყნოსფითი რეაქციები და მოძრაობის უნარი ნორ-მაშია. არ აღინიშნება მოუსეუნერობა და აგრესი-ულობა, შენარჩუნებულია ნორმალური პოზა, მოტორული აქტიურობა, კუნთოვანი ტონუსი, რეფლექსები გარე გაღიზიანებაზე (ხმაური, სი-ნათლე, შეხება, ტკივილი). ავტონომიური რეაქ-ციები ნორმის ფარგლებშია, სუნთქვისა და გუ-ლისცემის სიხშირე საწყის მაჩვენებლებს შეესა-ბამება. თვალით შესამჩნევი გამოვლინებები არ აღინიშნება. თაგვების სხეულის წონის ნამატი არ განსხვავდება საკონტროლო ჯგუფის მაჩვე-ნებლებისაგან. თაგვები ნორმალურად მოიხმარებ საკვებსა და წყალს. დაკვირვების 14 დღის გან-მავლობაში ცხოველების დაცემა რეგისტრირე-ბული არ არის. თაგვების კვდომის არარსებობის შედეგად შეუძლებელი გახდა LD<sub>50</sub>-ის გათვალი.

დადგინდა, რომ ზემოთ აღნიშნული მეთოდის 100-ჯერ გაზრდილი ხანგრძლივობა ვირთაგვებ-ში არ ავლენს არც ლეტალურ და არც მაგნე ეფექტებს.

**მაკროსკოპული გამოკვლევები**

ვირთაგვებში ბეწვის საფარი სუფთაა და სწორი განლაგების, კიდურებისა და კურების კა-ნი ვარდისვერი და სუფთაა. დათვალიერებისას თმის ბუღობრივი ცვენის კერები არ იყო აღმოჩე-ნილი. ბუნებრივი ხვრელებიდან გამონადენი არ აღწენებათ. შინაგანი ორგანოები განლაგებუ-ლია სწორად. ქსოვილები სუფთა, ცხიმოვანი ქსოვილი საშეალოდა განვითარებული. სერო-ზული გარსის ზედაპირი ნამიანი, კრიალა, გარ-სები გამჭვირვალეა. მიოკარდიუმი მკვრივი, პარ-აუჭების ღრუ ცარიელია, ენდოკარდიუმი სუფთა. ფილტვები ვარდისფერი, პაეროვანი (წყალში არ

იძირება), პარენქიმაში სისხლჩაქცევები არ აღნიშნება. განაკვეთზე სითხე ან სისხლი არ დაფინება. დეიდლი და ელექტრო გადიდებული არ არის. ზედაპირი სადა, ნამიანი, კრიალა, განაკვეთზე ანაფხებს არ იძლევა. თორკმლების კაფსულა ადგილად სცილდება, ორივე თორკმლის ზედაპირი სადაა, განაკვეთზე ქერქოვანი და ტერნოვანი ნივთიერება ადგილად გასარჩევია. შარდის ბუშტი სავსეა, შარდი გამჭვირვალე.

### კვლევის შედეგები და დასკვნა

ამრიგად, ექსპერიმენტმა ცხადყო, რომ ზემოაღნიშნული მეთოდის გამოყენება ცხოველებისათვის უსაფრთხოა.

### 3. დასკვნა

ზონდზე წამოცმული გარსაცმი გამორიცხავს ცირკულირებადი სითხის შეხებას სამკურნალო ზედაპირთან და უზრუნველყოფს ტემპერატურის ინტენსიურ გადაცემას მიმღებარე ქსოვილებთან და შედეგად აქტიურ ჰიდროპიპერთემიულ მკურნალობას  $42\text{--}44^{\circ}\text{C}$  ინტერვალში, ექსპერიმენტული დროის განმავლობაში. ვირთაგვებზე ექსპერიმენტმა ცხადყო, რომ ზემოაღნიშნული მეთოდის გამოყენება მკურნალობის პროცესში და შემდგომ დაკავირვების პერიოდში ცხოველებისათვის უსაფრთხოა.

**მაღლიერება:** ავტორი მაღლიერებას გამოხატავს თბილისის კლინიკური ონკოლოგიის ინსტიტუტის ონკოლოგების, პროფესიონალების, ბატონების – გურამ მენთეშაშვილის და პააგა ხორავას მიმართ, საქმიანი და მაღალპროფესიულ დონეზე გაწეული თანადგომის, კონსულტაციებისა და რჩევებისათვის მართვადი ლოკალური ჰიპერთერმიის მეთოდით კლინიკური აპარატის კონსტრუირების პროცესში. ასევე, აპარატის კონსტრუირების პროცესში გათვალისწინებულ იქნა სამედიცინო მაღალკვალიფიციური პერსონალის ფართო წრის რჩევები და კონსულტაციები.

### ლიტერატურა

- R. Cavaliere, E. C. Ciocatto, B. C. Giovanella, C. Heidelberger, R. O. Johnson, M. Margottini, B. Mondovi, G. Moricca, and A. Rossi-Fanelli, "Selective Heat Sensitivity of Cancer Cells. Biochemical and Clinical Studies," *Cancer*, 20 1351–1381 (1967).
- K. Overgaard and J. Overgaard, "Investigation on the Possibility of a Thermic Tumour Therapy. II. Action of Combined Heat-Roentgen Treatment on a Transplanted Mouse Mammary Carcinoma," *Eur. J. Cancer*, 8 573–575 (1972).
- J. Overgaard, "Effect of Hyperthermia on Malignant Cells In Vivo. A Review and a Hypothesis," *Cancer*, 39 2637–2646 (1977).
- M. J. Hyatt and D. E. Day, "Glass Properties of Yttria-Alumina-Silica System," *J. Am. Ceram. Soc.*, 70 283–287 (1987).
- E. M. Erbe and D. E. Day, "Chemical Durability of  $\text{Y}_2\text{O}_3\text{-Al}_2\text{O}_3\text{-SiO}_2$  Glasses for the In Vivo Delivery of Beta Radiation," *J. Biomed. Mater. Res.*, 27 1301–1308 (1993).
- D. E. Day and T. E. Day, "Radiotherapy Glasses," An Introduction to Bioceramics. eds. L. L. Hench and J. Wilson. World Science, Singapore, 305–317, 1993.
- G. J. Ehrhardt and D. E. Day, "Therapeutic Use of  $90\text{Y}$  Microspheres," *J. Nucl. Med.*, 14 233–242 (1987).
- R. V. Mantravadi, D. G. Spigos, W. S. Tan, and E. L. Felix, "Intraarterial Yttrium 90 in the Treatment of Hepatic Malignancy," *Radiology*, 142 783–786 (1982).
- M. J. Herba, F. F. Illescas, M. P. Thirlwell, G. J. Boos, L. Rosenthal, M. Atri, and P. M. Bret, "Hepatic Malignancies: Improved Treatment with Intraarterial Y-90," *Radiology*, 169 311–314 (1988).
- A. A. Luderer, N. F. Borrelli, J. N. Panzarino, G. R. Mansfield, D. M. Hess, J. L. Brown, E. H. Barnett, and E. W. Hahn, "Glass-Ceramic-Mediated, Magnetic-Field-Induced Localized Hyperthermia—Response of a Murine Mammary-Carcinoma," *Radiat. Res.*, 94 190–198 (1983).
- Y. Ebisaw, F. Miyaji, T. Kokubo, K. Ohura, and T. Nakamura, "Bioactivity of Ferrimagnetic Glass-Ceramics in the System  $\text{FeO-Fe}_2\text{O}_3\text{-CaO-SiO}_2$ ," *Biomaterials*, 18 1277–1284 (1997).
- H. Konaka, F. Miyaji, and T. Kokubo, "Preparation and Magnetic Properties of Glass-Ceramics Containing a-Fe for Hyperthermia," *J. Ceram. Soc. Jpn.*, 105 833–836 (1997).
- M. Kawashita, H. Takaoka, T. Kokubo, T. Yao, S. Hamada, and T. Shinjo, "Preparation of Magnetite-Containing Glass-Ceramics in Controlled Atmosphere for Hyperthermia of Cancer," *J. Ceram. Soc. Jpn.*, 109 39–44 (2001).
- M. Kawashita, Y. Iwahashi, T. Kokubo, T. Yao, S. Hamada, and T. Shinjo, "Preparation of Glass-Ceramics Containing Ferrimagnetic Zinc-Iron Ferrite for the Hyperthermal Treatment of Cancer," *J. Ceram. Soc. Jpn.*, 112 373–379 (2004).
- Masakazu Kawashita, Ceramic Microspheres for Biomedical Applications *Int. J. Appl. Ceram. Technol.*, 2 [3] 173–183 (2005).
- Z. Kovziridze, G. Donadze, G. Mamniashvili, A. Akhalatsi, D. Daraselia, D. Japharidze, O. Romelashvili, A. Shengelaia, C. Gavasheli, J.G. Heinrich. THE RECEIVING AND STUDY OF HEMATITE NANOPARTICLES FOR HYPERTHERMIA, 1st International Conference for Students and Young Scientists on Materials Processing Science, Tbilisi, Georgia 10-13 October 2010, Journal of Georgian Ceramists Association "Ceramics" N2(23), 2010, 1(24), 2011, Tbilisi, p.37-46.
- Z. Kovziridze, J. Heinrich, R. Goerke, G. Mamniashvili, Z. Chachkhiani, N. Mitskevich, G. Donadze. Production of superparamagnetic nanospheres for hyperthermic therapy of surface (skin) cancer diseases. 3rd

- International congress on Ceramics, November 14-18, 2010, Osaka, Japan. [IOP Conference Series: Materials Science and Engineering](#), 2010.
18. Z.Kovziridze, J. Heinrich, R. Goerke, G. Mamniashvili, A. Akhalkatsi, Z. Chachkhiani, N. Mitskevich, G. Donadze. PRODUCTION OF BIONANOCERAMIC SUPER-PARAMAGNETICS FOR CREATION OF CONTROLLED LOCAL HYPERTHERMIA AND THEIR USE, AS THERAPEUTIC AGENTS, FOR PURPOSEFUL TRANSPORTATION IN LIVING ORGANISMS IN SURFACE (SKIN) CANCER TREATMENT. Journal of Georgian Ceramists Association "Ceramics" N 1(22), Tbilisi, 2010, p.43-51.
19. Z. Kovziridze, P. Khorava, N. Mitskevich. Controlled Local Hyperthermia and Magnetic Hyperthermia of Surface (Skin) Cancer Diseases. Journal of Cancer Therapy, 2013. 4. 1262-1271.
20. ბ. კოვზირიძე, გ. მენატეშვილი, პ. ხორავა, ნ. მიცქევიძე. მართვადი ლოკალური ჰიპერთერმია სიმსივნეების სამკურნალო. თბილისი: კერამიკა, 1(31) 2014. გვ. 16-28.

---

УДК 591.2

## APPARATUS FOR THERAPY OF (PROCTOLOGIC) RECTUM CANCER AND CERVIX UTERI DISEASES BY LOCAL CONTROLLED HYPERTHERMIA AND STUDY OF SAFETY ON ALBINO RATS

Z. Kovziridze, N. Joglidze, N. Nizharadze, Kh. Bluashvili

**Resume:** Goal: Monotherapeutic effect of hyperthermia has been studied for therapy of rectum cancer and cervix uteri diseases. Method: Apparatus "Lezi" was used for further development of the local controlled hyperthermia method, on the base of experimental material. Apparatus was created at GTU Bionanoceramic and Nanocomposite Materials Science Center. Results: In all animal (3 month albino rats) inhibition of cancer disease was fixed and intra-tumor necrosis was developed. (Georgian National Center of Intellectual Property, "GeorgianPatent". Certificate of deposition: 5054. "Local controlled hyperthermia and magnetic hyperthermia for cancer diseases therapy"). Conclusion: It was proved that after 7-10 sessions cancer was ulcerated, which refers to positive effect of experiments. (Conclusion (Pathology-anatomy Laboratory "PathGeo", examination # 3119-12, histo-pathological examination # 15272-13. Date of issue of diagnosis: 14.01.2014, Tbilisi, Georgia)

Experiments for safety proved that application of the above referred method in the process of therapy is safe for animals.

**Key words:** local controlled hyperthermia; necrosis, ulceration; metastasis, experiment; safety/harmlessness, therapy.

---

УДК 591.2

## АППАРАТ ДЛЯ ЛЕЧЕНИЯ ЗАБОЛЕВАНИЙ РАКА ПРЯМОЙ КИШКИ (ПРОКТОЛОГИЧЕСКОЙ) И ШЕЙКИ МАТКИ МЕТОДОМ УПРАВЛЯЕМОЙ ЛОКАЛЬНОЙ ГИПЕРТЕРМИИ И ИЗУЧЕНИЕ БЕЗОПАСНОСТИ НА БЕЛЫХ МЫШАХ

Ковзиридзе З.Д., Джоглидзе Н.Ш., Низхарадзе Н.С., Блуашвили Х.Т.

**Резюме:** Изучен монотерапевтический эффект лечения рака шейки матки методом управляемой локальной гипертермии, опираясь на экспериментальный материал. Для этого было использовано устройство «Лези», которое создано в Центре материаловедения нанокерамики и нанокомпозитов. Эксперимент, проводимый на белых мышах (трехмесячных альбиносах) зафиксировал приостановку болезни и развитие интрапатологического некроза (изученный метод запатентован Центром национальной интеллектуальной собственности - сакпатентом 5054).

Через 7 сеансов лечения опухоль изъязвилась, что говорит о положительном результате лечения.

(Было подтверждено патолого-анатомической лабораторией «Патжео» №3119-12 и чистопатологическим исследованием №15272-13 от 14.01.2014 г. в г. Тбилиси, Грузия).

Подтверждена безопасность лечения животных вышеупомянутым методом.

**Ключевые слова:** управляемая локальная гипертермия; некроз; изъязвление; метастазы; эксперимент; безопасность; лечение.

შაპ 669.168.553.3

## სილიკონგანგანუმის გამოყენების პროცესის გამოკვლევა კაზმში ფუზვების გამოყენებით

ქ. სიმონგულაშვილი, გ. ქურდაძე

ქიმიური და ბიოლოგიური ტექნოლოგიების დეპარტამენტი, საქართველოს ტექნიკური უნივერსიტეტი,  
საქართველო, 0175, თბილისი, კოსტავას 69

E-mail: z.simongulashvili@yahoo.com

**რეზიუმე:** მიზანი: სილიკონგანგანუმის გამოყენების პროცესის ინტენსიუტიკურის მიზნით, გამოკვლეულია ტრადიციული გამოყენებული ქვირად დირქბული საკაზმე მასალების (კვარციტი, კირქვა, დოლომიტი) შეცვლა, კაუმიწის, თიხამიწისა და ტუბე ლითონების ოქსიდების შემცველი შედარებით იაფი კომპლექსური ნედლეულით – ტუფის დორდით, რომელიც სამშენებლო წარმოების ნარჩენია და ჯერჯერობით სათანადოდ არ გამოიყენება. მეთოდი: შესწავლილ იქნა სხვადასხვა გრენზისის ტუფების ქიმიური, ფიზიკურ-მექანიკური, მინერალოგიური და მეტალურგიული თვისებები. შედეგები: ჩატარებული სამრეწველო გამოკვლევების საფუძველზე შემუშავებული, ათვისებული და დანერგილია, კვარციტების და კირქვის ნაცვლად, ტუფების გამოყენება სილიკონგანგანუმის წარმოებაში. დასკვნა: დადგენილია, რომ ტუბე ლითონების ალუმინისილიკატები ხელს უწყობს სილიკონგანგანუმის წილების გათხვადებას, აუმჯობესებს ძირითადი ელემენტების – მანგანუმისა და სილიციუმის სასარგებლო გამოყენების ხარისხს, რაც საბოლოო ჯამში მნიშვნელოვნად ზრდის წარმოების ძირითად ტექნიკურ-ეკონომიკურ მახასიათებლებს.

**საკვნძო სიტყვები:** სილიკონგანგანუმი; კაზმი; მანგანუმი; სილიციუმი; ტუფი; კვარციტი; აღდგენა; ლითონი; წილა.

### 1. შესავალი

მძღავრ და საშუალო სიმძლავრის ელექტროდუმლებში სასაქონლო სილიკონგანგანუმის გამოყენების პროცესის ფიზიკურ-ქიმიური ანალიზი და წარმოების გამოცდილება მოწმობს იმაზე, რომ ჯერ კიდევ დიდია დუმლების წარმადობის გასრდის, შენადნობის ხარისხის გაუმჯობესების და წარმოების ეფექტურობის ამაღლების რეზერვი.

სილიკონგანგანუმის გამოყენების პროცესის ინტენსიფიკაციის ერთ-ერთი მიმართულება ტრადიციულად გამოყენებული საკაზმე მასალების (კირქვა, დოლომიტი, კვარციტი) შეცვლაა კაუმიწის, თიხამიწისა და ტუბე ლითონების ოქსიდების შემცველი კომპლექსური ნედლეულით. ასეთ ნედლეულს განეკუთვნება ბუნებაში ფართოდ გავრცელებული სხვადასხვა გენეზისის ტუფები,

პეგმატიტები, გრანიტები, პერლიტები და სხვა. ეს ქანები ფიზიკური თვისებებით აკმაყოფილებს ელექტროდუმლებში ფეროშენადნობების გამოსადნობად გამოყენებულ საკაზმე მასალებზე წაყენებულ მოთხოვნებს.

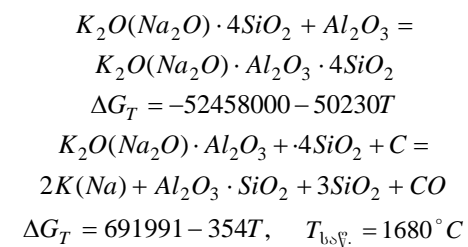
გამოკვლეულია, რომორ მოქმედებს კაზმში სილიკონგანგანუმის გამოყენების პროცესის ტექნიკურ-ეკონომიკურ მახასიათებლებზე კირქვისა და კვარციტის ტუფით შეცვლა.

### 2. ძირითადი ნაწილი

ცნობილია, რომ სხვადასხვა კაზმში ტუბე ლითონების ოქსიდებისა და მარილების დამატება მნიშვნელოვნად აჩქარებს ლითონების ნახშირბადით აღდგენის პროცესს მათი ოქსიდებით.

სილიკონგანგანუმისა და ლითონური მანგანუმის გამოსადნობ კაზმებში პეგმატიტის წარმატებით გამოყენების მაღალითმა აჩქნა, რომ მიზანშეწყილია გაგრძელდეს კვლევები სხვა უფრო პერსპექტიული, ხელმისაწვდომი და არადეფიციტური ბუნებრივი მინერალების მოძიებისა, რომლებიც ტუბე ტუფების შეიცავს [1, 2].

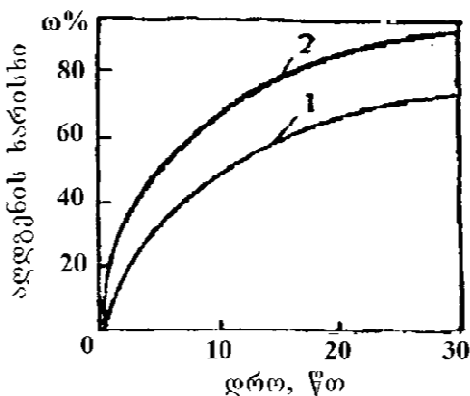
მადანადმდგრენ დუმლებში ტუბეების ქცევის ანალიზი გვიჩვენებს, რომ ისინი, თიხამიწის თანაარსებობის პირობებში, ძირითადად გადადის წილაში და ამიტომ მათი აღდგენა, აირად ფაზაში გადასვლა და რეგენერაცია გაძნელებულია. ეს იმით აიხსნება, რომ ტუბე ლითონების სილიკატებს უნარი აქვს თიხამიწასთან წარმოქმნას ტუბე ალუმინისილიკატები, საიდანაც ტუბეების აღდგენა მოითხოვს შედარებით მაღალ ტემპერატურებს, რაც მათი წილაში გადასვლის ძირითადი წინაპირობაა [1-3]:



ტუბეშემცველი მასალების ეს თვისება მეტად მნიშვნელოვანია მანგანუმიანი ფეროშენადნობების გამოყენებისათვის გამოყენებული საკაზმე მასალების შერჩევის თვალსაზრისით, რადგან გავრცელებული სხვადასხვა გენეზისის ტუფები,

ამ პირობებში ტუბე ლითონების გადასვლა აირად ფაზაში მინიმალური იქნება. ასეთ მინერალებს განეკუთვნება სხვადასხვა ტუბი, რომლებიც როგორც პეგმატიტები ვულკანური წარმოშობის მთის ქანებია. ხდება მათი ფართო გამოშუავება და ძირითადად სამშენებლო წარმოებაში გამოყენება. მათი ნარჩენების 10–70 მმ ფრაქციის (ტუფის დორდი), რომლის ღირებულება 6–8-ჯერ ნაკლებია, ვიდრე პეგმატიტის და 3–4-ჯერ ნაკლები, ვიდრე კვარციტის, გამოყენება ჯერჯერობით ვერ ხდება.

ტუფის მინშენელოვანი მახასიათებელია მასში კაუმიწისა და ტუბე ლითონების ოქსიდების თანაარსებობა, რაც, როგორც ცნობილია, ხელს უწყობს სილიკატური ნალლობების სიბლანტის შემცირებას [4] და მანგანუმისა და სილიციუმის აღდგენის პროცესების ინტენსიფიკაციას (ნახ. 1).



ნახ. 1. სილიკომანგანუმის მისაღები ქაზმების აღდგენის კინეტიკური მრუდები 1600°C  
1 – კვარციტის და კირქვის გამოყენებით;  
2 – ტუფის გამოყენებით

ტუფები, თავისი ქიმიური შედგენილობით, განეკუთვნება მეავე მინერალებს, რომლებიც შეიცავს, %: 68–76SiO<sub>2</sub>; 7–10(Na<sub>2</sub>O + K<sub>2</sub>O);

13–17Al<sub>2</sub>O<sub>3</sub>; 1–4Fe<sub>2</sub>O<sub>3</sub>; 2–5CaO [5]. მათი ფოზიკურ-მექანიკური მახასიათებლები მერყეობს შემდეგ ფარგლებში:

- ხელითი მასა (სიმკვრივე) – 2500–3500 კგ/მ<sup>3</sup>;
- მოცულობითი მასა – 1000–1800 კგ/მ<sup>3</sup>;
- ფორიანობა – 30–60%;
- წყლის შთანთქმის უნარი – 20–40%;
- თბოგამტარობის კოეფიციენტი – 0,35–0,45 ჭ/კგ.სთ.გრად;
- დნობის ტემპერატურა – 1200–1450 °C.

საცდელი-სამრეწველო დნობები 5 მგა სიმძლავრის მადანაღმდგენ ელექტროლუმელში ოთხ ვარიანტიდ ჩატარდა.

დნობების თითოეული ვარიანტის ხანგრძლივობა იყო 30 დღე-დამეტ. სილიკომანგანუმის გამოდნობა ხდებოდა უწყვეტი პროცესით, დნობის პროცესების პერიოდული (2სო) გამოშვებით. აღნიშნულ დუმელს აქვს წაჭრილი კონუსისმაგვარი თაღი, რომელშიდაც განთავსებულია დუმლის საკაზმის მომსახურებისათვის განკუთვნილი სამი ფანჯარა და აღჭურვილია სამი 400 მმ დიამეტრის გრაფიტის ელექტროდებით. დნობის ელექტრული რეჟიმი შემდეგია: ძაბვა ელექტროდებზე – 110ვ, დენის ძალა – 19–21 კა. დნობის პროცესი ხასიათდება მდგრადი ელექტრული დატვირთვით, კაზმი ელექტროდების ღრმა მდებარეობით და აირების თანაბარი გამოყოფით კაზმის მთელი ზედაპირიდან. დნობის პროცესების გამოშვება ხდება ცეცხლგამდევ აგურით (შამოტი) ამოგებულ ციცხვში, საიდანაც ზედმეტი წიდა გადადის დახრილ დარში და მიედინება საგრანულაციო ორმოში. სილიკომანგანუმის ექსპერიმენტული დნობებისათვის გამოყენებული საკაზმე მასაღების ქიმიური შედეგებით და ვარიანტების მიხედვით დნობების ტემპი უძველესი მახასიათებლები მოყვანილია ცხრილებში (1, 2).

ცხრილი 1

### საკაზმე მასაღების ქიმიური შედგენილობა, %

მასაღები	Mn	SiO <sub>2</sub>	CaO	MgO	Al <sub>2</sub> O <sub>3</sub>	K <sub>2</sub> O	Na <sub>2</sub> O	Fe <sub>2</sub> O <sub>3</sub>	P	H <sub>2</sub> O
მანგანუმის კონცენტრატი კოქის ნაცარი	44,3	14,0	3,8	2,0	2,47	1,2	0,6	1,8	0,19	12,0
კვარციტი	0,8	35,3	3,9	1,2	2,7	1,8	1,0	28,9	0,11	14,3
კირქვი	—	96,0	0,3	0,4	1,1	—	—	1,4	—	—
ტუფი	—	0,4	53,6	0,67	0,17	—	—	0,5	—	—
	—	75,0	2,85	1,5	15,0	4,8	4,2	1,1	0,011	—

## სამრეწველო დნობის ძირითადი მაჩვენებლები

მაჩვენებლები	ვარიანტი	I	II	III	IV
ხელითი ხარჯი, გგ/ტ					
- მანგანუმის კონცენტრატი	2250	2200	2150	2100	
- კვარციტი	606	415	231	—	
- კოქსიფირილა	530	515	494	480	
- კირქვა	98,3	—	—	—	
- ტუფი	—	226	445	690	
ელ. ენერგიის ხარჯი, კვტ.სთ/ტ	4350	4217	4152	4048	
ლითონის ქიმ. შედგენილობა, %					
Mn	74,2	74,2	74,1	73,8	
Si	17,0	17,30	17,81	18,20	
P	0,36	0,37	0,36	0,37	
შენადნობში გადადის, %					
Mn	74,5	76,1	77,8	79,3	
Si	40,58	42,30	44,45	46,60	
წილის ქიმ. შედგენილობა, %					
MnO	18,6	18,0	17,5	16,3	
SiO <sub>2</sub>	48,3	46,2	44,3	42,4	
CaO	14,8	12,4	12,0	12,1	
MgO	5,2	4,6	4,6	5,1	
Al <sub>2</sub> O <sub>3</sub>	7,0	8,45	10,0	10,9	
Na <sub>2</sub> O + K <sub>2</sub> O	4,95	5,9	6,8	7,3	
წილის ჯერადობა					
წილაში ოქსიდების ფარდობა					
(CaO + MgO) / SiO <sub>2</sub>	1,15	1,08	1,00	0,95	
(Na <sub>2</sub> O + K <sub>2</sub> O) / SiO <sub>2</sub>	0,414	0,368	0,419	0,453	
(Na <sub>2</sub> O + K <sub>2</sub> O) / Al <sub>2</sub> O <sub>3</sub>	0,102	0,128	0,153	0,172	
	0,707	0,692	0,680	0,670	

დნობების I ვარიანტში სილიკომანგანუმის გამოღნობა ხდებოდა ჩვეულებრივი, საქართველო კაზმის გამოყენებით. დნობების II, III და IV ვარიანტებში კირქვა კაზმიდან მთლიანად ამოიღეს და კვარციტი ტუფით შეცვალეს, კვარციტის წონითი რაოდენობის 30, 60 და 100%-ის შესაბამისად.

საცდელი დნობების შედეგები გვიჩვენებს, რომ კაზმში ტუფის რაოდენობის გაზრდით მანგანუმის და სილიკოუმის ამოკრეფა შენადნობში მატულობს და მაქსიმალურ მნიშვნელობებს აღწევს, როდესაც კაზმიდან ამოღებული კვარციტი და კირქვა 100%-ით შეიცვალა ტუფით. ამავე დროს, წილაში (Na<sub>2</sub>O + K<sub>2</sub>O) / SiO<sub>2</sub> ფარდობა (წილის ტუბე მოღული – M<sub>წილ.</sub>) 0,102-დან 0,172-მდე თანდათან იზრდება, ჩვეულებრივ კაზმთან შედარებით.

ამ ფარდობაზე დამოკიდებულებით იცვლება შენადნში მანგანუმისა და სილიკოუმის ამოკ-

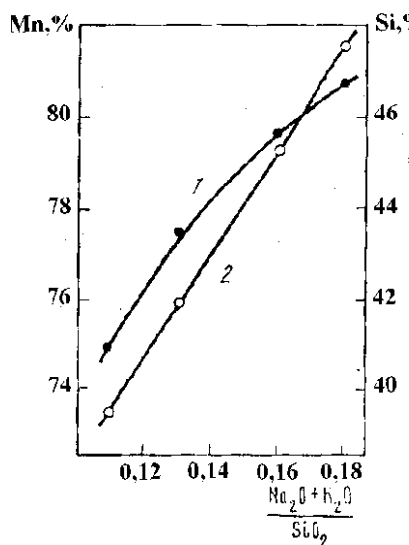
რეფა (ნახ. 2) და მათი წილაში გადასვლის ხარისხი (ნახ. 3).

M<sub>წილ.</sub> გაზრდით სილიკოუმის ამოკრეფა შენადნში იზრდება გამოკვლეული წილების მთელი ინტერვალში. მანგანუმის ამოკრეფა ლითონში შესამჩნევად იზრდება  $M_{წილ.} = 0,16$  მნიშვნელობამდე, ხოლო შემდეგ უმნიშვნელოდ მატულობს. მანგანუმის ასეთი ქცევა აიხსნება იმით, რომ ტუფით, კაზმში სილიკოუმისა და ტუბე ლითონების ოქსიდების გარდა, შეგვევს მნიშვნელოვანი რაოდენობის თიხამიწა Al<sub>2</sub>O<sub>3</sub>, რომელსაც შეუძლია მანგანუმთან შექმნას უფრო მტკიცე ნაერთები, ვიდრე კაჟმიწასთან SiO<sub>2</sub>. ამ დროს მანგანუმის მონოოქსიდის აქტიურობა ნალლობში მცირდება და, შესაბამისად, იკლებს მანგანუმის აღდგენის ხარისხი.

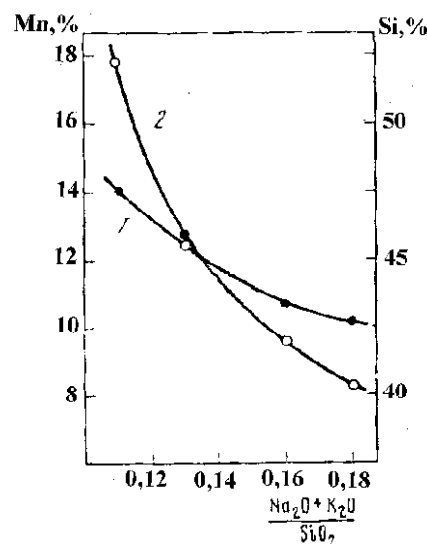
შესაბამისად, სილიკომანგანუმის დნობა კაზმში ტუფის შეკვანით უნდა შეფასდეს არა გამოყენებული ტუფის რაოდენობით, არამედ წი-

დაში კაჟმიწის, თიხამიწის, ტუტე ლითონების ოქსიდების შემცველობით და მათი ფარდობით, რაც კარგად დასტურდება წიდის ჯერადობისა და დასარჯული ელექტროენერგიის ხვედრითი ხარჯის დამოკიდებულებით წიდის ტუტე მოდულთან (ნახ. 4). ასე, მაგალითად, სილიკომანგანუმის დნობის საუკეთესო ტექნიკურ-ეკონომიკური მაჩვენებლები, საცდელი დნობების მოცემულ პირობებში, მიიღწევა მაშინ, როდესაც წიდი

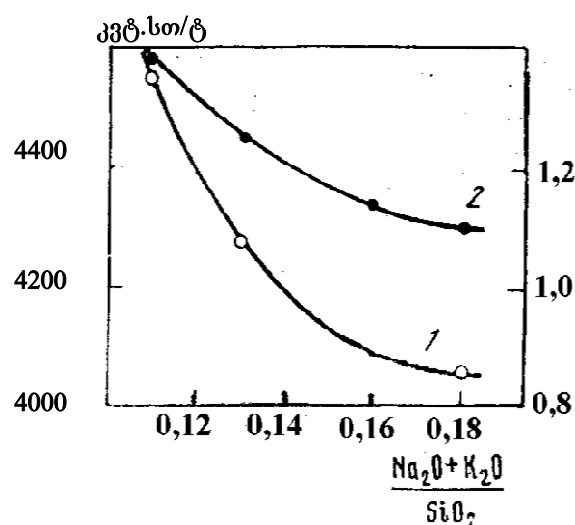
შეიცავს 10–12%  $Al_2O_3$ , 6–7% ( $Na_2O + K_2O$ ) და  $M_{\text{ფილ.}} = 0,16 – 0,18$ . მიუხედავად იმისა, რომ წიდის ტუტე მოდულის შემდგომი გაზრდა ხელს უწყობს სილიციუმის ლითონეზი ამოკრეფის მატებას, ამ დროს უმნიშვნელოდ იზრდება მანგანუმის სასარგებლო გამოყენება და წიდის ჯერადობისა და ელექტროენერგიის ხვედრითი ხარჯის შემცირება.



ნახ. 2. მანგანუმის (1) და სილიციუმის (2) ამოკრეფის დამოკიდებულება წიდის ტუტე მოდულთან



ნახ. 3. მანგანუმის (1) და სილიციუმის (2) წიდაში გადასვლის ხარისხის დამოკიდებულება ტუტე მოდულთან



ნახ. 4. ელექტროენერგიის ხვედრითი ხარჯის (1) და წიდის ჯერადობის (2) დამოკიდებულება წიდის ტუტე მოდულთან

### **3. დასკვნა**

ჩატარებული გამოკვლევების საფუძველზე შეიძლება დაგასცვნათ, რომ ტუტე ლითონების ოქსიდების თიხამიწათან თანარსებობის პორბებში წარმოიქმნება ტუტე ალუმინიუმიკატები, რომლებიც სილიკონმანგანუმის დნობისას მჟავე წილური ნალეობებიდან მნიშვნელოვნად აჩქარებს მანგანუმის და სილიციუმის აღდგენის პროცესს და აუმჯობესებს დნობის ტექნიკურ-გაონომიურ მანგენებლებს, რაც დადასტურდა ჩატარებული სამრეწველო გამოკვლევების შედეგად. ასე, მაგალითად, ლუმლის წარმადობა გაიზარდა 7%-ით, მანგანუმისა და სილიციუმის სასარგებლო გამოყენება კი – 4–5 და 5–6%-ით, შესაბამისად. შემცირდა დახარჯული ელექტროენერგიის ხვედრითი ხარჯი 6–7%, თვითდირებულება კი 30–40 ამერიკული დოლარით ერთ ტონა შენადნოზე.

### **ლიტერატურა**

1. Гасик М.И., Кучер А.Г., Ткач Г.Д. и др. Исследование процесса выплавки силикомарганца с использованием в шихту пегматита // Материалы III республиканской научно-техн. конф. "Совершенствование технологии производства марганцевых сплавов". Тбилиси, 1978, с. 145-153.
2. Гасик М.И., Садовский М.Г., Бойцов Л.И. и др. Результаты промышленного опробования гранитов при производстве металлического марганца // Материалы II всесоюзного совещания. "Металлургия марганца". Тбилиси, 1977, с. 147-149.
3. Казаков И.Н., Ткач Г.Д., Гасик М.И., Кучер А.Г. Использование пегматита в шихту при выплавке силикомарганца. Бюл. СНИИТЭМ ЧМ, 1979, №16, с. 37-38.
4. Симонгулашвили З.А., Камкина Л.Г. Кинетика восстановления силикомарганцевых шихт // Маргант. Тбилиси, 1989, с. 26-28.
5. Ацагорциян З.А., Мартиросян О.А. Туфы и мраморы Армении. – Ереван: Армгосиздат, 1977, с. 80-85.

---

**UDC 669.168:553.3**

**LEARNING THE SILICO-MANGANESE SMELTING PROCESS BY USING TUFF IN FURNACE**

**Z. Simongulashvili, G. Qurdadze**

**Resume:** On the basis of the executed researches it has been developed, mastered and introduced the resource-saving technology of production wastes (tuff) instead of quartzite that allows to increase usage of manganese and silicon, to improve technical and economic process indicators and to reduce prime cost of silicon manganese by 5-6%.

**Key words:** silicon manganese; furnace charge; manganese; silicium; reduction; metal; slag; tuff.

---

**УДК 669.168:553.3**

**ИССЛЕДОВАНИЕ ПРОЦЕССА ВЫПЛАВКИ СИЛИКОМАРГАНЦА С ИСПОЛЬЗОВАНИЕМ  
В ШИХТЕ ТУФА**

**Симонгулашвили З.А., Курдадзе Г.У.**

**Резюме:** На основе выполненных исследований разработана, освоена и внедрена ресурсосберегающая технология утилизации ранее не применяемых отходов производства (туфа) взамен кварцита и известняка, позволяющая повысить использование марганца и кремния, улучшить технико-экономические показатели процесса и на 5-6% снизить себестоимость силикомарганца.

**Ключевые слова:** силикомарганец; шихта; марганец; силиций; туф; кварцит; восстановление; металл; шлак.

---

ზაპ 800.029

## ნატრიუმის ქლორიდის გამოყენებით დაბალფოსფორიანი მანგანუმის კონცენტრატის მიღება

ზ. სიმონიშვილი, ა. გოგიძერიძე, დ. ჩიკაშვა, გ. ქინქლაძე

ქიმიური და ბიოლოგიური ტექნოლოგიების დეპარტამენტი, საქართველოს ტექნიკური უნივერსიტეტი,  
საქართველო, 0175, თბილისი, კოსტავას 69

E-mail: zviad\_simonishvili@yahoo.com

**რეზიუმე:** სამუშაოს მიზანია დარიბი მანგანუმის მაღნისაგან დაბალფოსფორიანი კონცენტრატის მიღება, რომელიც გამოდგება მეტალურგულ მრეწველობაში. მეთოდი ითვალისწინებს ძვირად დირებული მადეფოსფორებელი რეაგენტების ნაცვლად ბუნებრივი, იაფი ნატრიუმის ქლორიდის გამოყენებას.

**შედეგები:** ჩვენ მიერ ჩატარებული ცდებით მიღებული დაბალფოსფორიანი მანგანუმის კონცენტრატი გამოდგება სტანდარტული მეტალის მისაღებად.

**საკანონო სიტყვები:** ნატრიუმის ქლორიდი; მანგანუმის მადანი; კოქსი.

### 1. შესავალი

დამუშავებულია მცირეფოსფორიანი მანგანუმის კონცენტრატის მიღების მეთოდი. დეფოსფორიებისათვის გამოყენებულია ბუნებრივი, იაფი ნედლეული ნატრიუმის ქლორიდი. მიღებული მანგანუმის კონცენტრატი შესაძლებელია გამოვიყენოთ სტანდარტული ფერომანგანუმის შენადნობის მისაღებად.

საქართველოში მაღალი ხარისხის მანგანუმის მაღნების გამოლექვის გამო, საწარმოო და ეროვნობიური თვალსაზრისით, უაღრესად აქტუალურია მანგანუმის დარიბი მაღნების გამოყენების საკითხი. ასეთ მაღნებს მიეკუთვნება მჩატეფორებიანი მადანი, რომელიც მთელი მარაგის 14% შეადგენს, მიეკუთვნება განსაკუთრებულ ძნელად გასამდიდრებელ მაღნებს [1-2]. მანგანუმის მაღნების დეფოსფორიება უმნიშვნელოვანესი საკითხია, რადგან ფოსფორი ყველაზე მავნე მინარევია მადანში. ამრიგად, მაღნის წინასწარი დეფორმირება აუცილებელია ხარისხიანი ფეროშენადნობის მისაღებად. ლიტერატურაში ცნობილია მანგანუმის მაღნის დეფოსფორირების მეთოდები, რომელთაგან ზოგი მნელად განსახორციელებულია, ხოლო ზოგი ითვალისწინებს ძვირად დორებული რეაგენტების გამოყენებას [1-4].

### 2. მირითადი ნაწილი

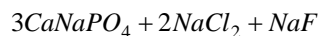
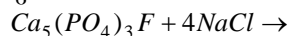
ამ ნაკლოვანების თავიდან ასაცილებლად მანგანუმის მაღნის დეფოსფორირებისათვის გამოვიყენეთ ნატრიუმის ქლორიდი, რაც შემდეგი მოსაზრებითაა განპირობებული:

1. გამოიყენება ბუნებრივი იაფი რეაგენტი – ნატრიუმის ქლორიდი;

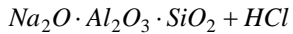
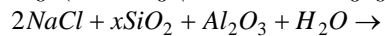
2. ტექნოლოგიური პროცესი შედარებით ადგილად განსახორციელებელია;

3. პროცესის შედეგად შეიძლება მივიღოთ ქლორწყალბადი, რომლის უტილიზაციის შემთხვევაში საშუალება გვეძლევა მივიღოთ მარილები და მანგანუმის კონცენტრატი.

ჩვენ მიერ დამუშავებულ იქნა დარიბი მაღნების დეფოსფორიების მეთოდი ნატრიუმის ქლორიდის გამოყენებით (ნახ.1). მოცემულია მანგანუმის მაღნის გამდიდრების პრინციპული ტექნოლოგიური სქემა ფოსფორის მოცილების მიზნით. მანგანუმის მადანს ვფქვავდით და ვურევდით ნატრიუმის ქლორიდს: კასმში რეაგენტის (ნატრიუმის ქლორიდის) ფართობი მანგანუმის მადანთან  $0,1 \div 0,8$  ფარგლებში იცვლება. შემდეგ კაზმს ვახურებდით  $1200^{\circ}\text{C}$  45  $\div$  60 წთის განმავლობაში. დაქანგული მანგანუმის მადანში ფოსფორი რამდენიმე ფორმით შედის, ჩვენ მიერ შესწავლილ მადანში ფოსფორი აპატიტის სახითაა [5]. ფოსფატებთან ნატრიუმის ქლორიდის შეცხობის პროცესი შემდეგი რეაქციის მიხედვით მიმდინარეობს:

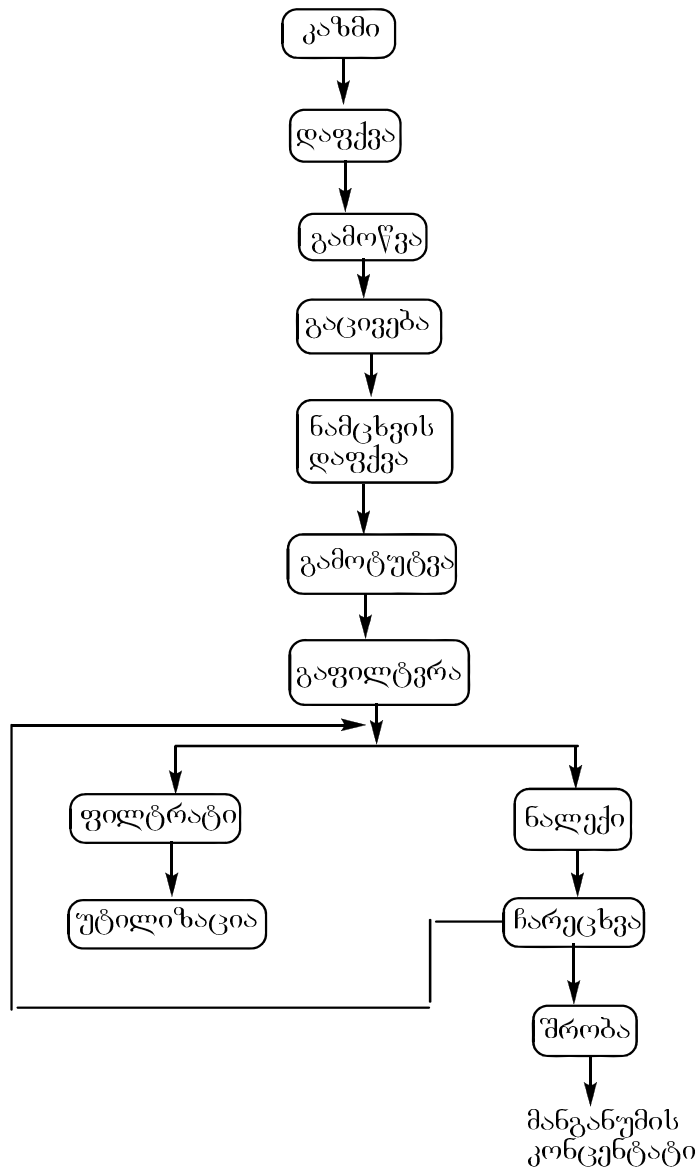


ამ პროცესის შედეგად მიიღება ლიმონესნადი ფოსფატი რენატიტი, რომელიც მიღებული ნამცხების დაფქვისა და წყალში შემდგომი გამოტუტვისას გადადის სსნარში. რადგან მადანი დიდი რაოდენობით კაშმიწას შეიცავს, ჭარბი ნატრიუმის ქლორი შედის მასთან რეაქციაში [7]:



გახურების შედეგად მიღებულ ნამცხებს ვაცივებდით ჰაერზე, ვფქვავდით და გამოხდილ წყალში  $80 \div 85^{\circ}\text{C}$  60 წუთის განმავლობაში გამოვტუტვივდით. მყარი და თხევადი ფაზების თანაფარდობაა 1:5. პულპის გაფილტვრის შემდგენ ნალექს ვაშრობდით ჰაერზე ან ჰაერის საშრობ საკანში და ვიღებდით დაბალფოსფორიან მანგანუმის კონცენტრატს, ფილტრატში გადაღინდებით და სხვა მარილები, რომელთა უტილიზაცია შესაძლებელია კირით და მუშავებისას. ფოსფორის ამოდების ხარისხი 55-56% შეადგენდა.

**მანგანუმის დარიბი მაღნის  
ქიმიური გამდიდრების პრინციპული ტექნოლოგიური სქემა.  
მანგანუმის მაღნი, ნატრიუმის ქლორი, კოქსი**



შემდგომმა კვლევებმა გვიჩვენა, რომ კაზმში აღმდგენლის დამატება, კოქსის სახით ზრდის ფოსფორის ამოდგების ხარისხს 69–70%-მდე.

კაზმის გახურება  $1000^{\circ}\text{C}$ -ზე წყლის ორთქლის თანაობისას როგორც აღმდგენელთან ერთად, ასევე მის გარეშე, იძლევა ფოსფორის ამოდგების ხარისხს 69–70%, ე.ო. ისეთივეს, რაც იყო  $1200^{\circ}\text{C}$  ტემპერტურაზე გამოწვისას ორთქლის გარეშე.

რიცხვის ოპტიმალური პირობები: გამოწვის ტემპერატურა –  $1200^{\circ}\text{C}$ , წყლის ორთქლის თანაობის 1000°C; კაზმის გამოწვის ხანგრძლივობა 45–60 წთ; გამოტუტვის ტემპერატურა –  $80\div 85^{\circ}\text{C}$ ; გამოტუტვის ხანგრძლივობა – 60–90 წთ; ფოსფორის ამოდგების ხარისხი – 69–70%. ასეთი სახის ფოსფორისაგან გაწმენდილი მანგანუმის კონცენტრატი ვარგისია მეტალურგიული წარმოებისათვის.

### 3. დასკვნა

ექსპერიმენტების მსვლელობისას დადგინდა მჩატეფორმებიანი მანგანუმის მაღნის დეფოსფო-

### ლიტერატურა

1. ა. ავალიანი. საქართველოს წიაღისეულის ქიმიური გადამუშავების გზები. თბილისი: მეცნიერება, 1974, გვ. 43–77.

2. Брыляков Ю.В., Горшнов А.Ш., Лыгач В.И. Современное состояние, направления развития технологии переработки фосфорсодержащих руд // Горный журнал, 2007(2), с. 170-181.
  3. Сутирин Ю.Е., Литвинцев Э.Г. Технология обогащения бедных марганцевых руд // Обогащение руд. 200(3).
  4. Легашова В.И., Майсторенко В.Н., Казакова Е.В. Обогащение карбонатных марганцевых руд // Башкирский химический журнал 2012, т.19, №4, с. 44-47.
  5. Фомин Я.И. Распределение фосфора окисленной марганцевой руды Чиатурского месторождения // «Марганец», 1(42)-2(43), Тбилиси, 1975, с. 71-81.
  6. Позин М.Е. Технология минеральных солей. Часть II, Химия, 1970, с. 1054-1056.
  7. Вольфович С.И., Роговин З.И., Руденко Ю.Н. Общая химическая технология. М.: Химия, 1959. - с. 92.
- 

**UDC 800.029**

**PREPARATION OF LOW-PHOSPHOROUS MANGANESE CONCENTRATE USING SODIUM CHLORIDE**

**Z. Simonishvili, A. Gogiberidze, D. Chikashua, V. Qinqladze**

**Resume:** Developed a method for making low-phosphorous manganese concentrate. For dephosphorization is used naturae cheap raw material Sodium chloride. Obtained manganese concentrate can be used to make standard ferromanganese alloys.

**Key words:** Manganese; Sodium chloride; cox.

---

**УДК 800.029**

**ПОЛУЧЕНИЕ НИЗКОФОСФОРИСТОГО МАРГАНЦЕВОГО КОНЦЕНТРАТА С ПРИМЕНЕНИЕМ ХЛОРИДА НАТРИЯ**

**Симонишвили З.З., Гогиберидзе А.В., Чикашва Д.С., Кинкладзе В.Л.**

**Резюме:** Разработан метод получения малофосфористого марганцевого концентрата. Для дефосфорации применяется природный дешевый материал - хлористый натрий. Полученный марганцевый концентрат может быть применен для получения стандартного сплава ферромарганца.

**Ключевые слова:** хлорид натрия; марганцевая руда; кокс.

---

UDC 666.952

## STUDY OF ALLUVIUM SHALES (FALLING ROCKS OF CAUCASIAN RIDGE, GENERATED AS A RESULT OF SILL-MUDFLOWS), AS A POZZOLANIC ADDITIVE FOR CEMENT

E. Shapakidze\*, R. Skhvitaridze\*\*, I. Gejadze\*, V. Maisuradze\*, M. Nadirashvili\*, E. Khuchua\*

\* Ivane Javakhishvili Tbilisi State University, Caucasian Alexander Tvalchrelidze Institute of Mineral Resources (CIMR), 11, Mindeli st., Tbilisi, 0186, Georgia

\*\* Georgian Technical University, Research Centre "NanoDugabi", 77, Kostava st, Tbilisi, 0175, Georgia

E-mail: ellennelia@gmail.com

**Resume:** Possibility of application of alluvium shales (falling rocks of Caucasian ridge, generated as a result of sill-mudflows), as a pozzolanic additive for cement has been studied. For this purpose shales were studied by methods of chemical, petrographic and differential-thermal analyses, which showed the tendency of phase transformations on heating shales at temperature range 20-1000 °C.

Shales were burned at temperatures 600, 800 and 1250 °C at 60 min. exposures at maximal temperature. Physical-mechanical examinations showed that the cement with additives of 10 - 35 mass percent of shales, burned at temperature 800°C, had the best strength.

**Key words:** pozzolanic additive for cement; alluvium shale; sill-mudflow; ecological balance.

### 1. INTRODUCTION

Up to now portland cement is the most widespread and popular construction material in spite of the fact that not a few novelties have been invented in the last decades [1]. Concrete products and reinforced concrete constructions on the base of Portland cement are the basis of the modern construction.

Reliability and durability of concrete and reinforced concrete constructions, sturdiness to the influence of aggressive environments, relatively simple technology of production, opportunity of regulating main technical-operational and physical-mechanical characteristics and finally practically inexhaustible raw material base for production of binding agents and fillers – all of this explains widespread occurrence of concrete and makes it possible to consider it as a main component of the capital construction not only of the present but also of the future.

However despite many remarkable qualities and accessibility of raw components, a global problem is that, concrete belongs to energy- and material-consuming

construction materials. In addition the most expensive component of concrete is cement, more precisely its basis – clinker.

Application of pozzolanic additives in cement and concrete is an effective method of lowering the consumption of clinker part of cement. Introduction of different kinds of additives in cement is carried out for the purpose of improvement of construction-technical properties of cements, reduction of expenditure fuel-raw resources on their production, giving cements some specific properties, such as sulfate resistance, water resistance, service durability, etc.

However lack of high-quality local materials, expensiveness of imported additives (because of high transportation expenses) have the most negative influence on the quality and production costs of cement and concrete.

High rates of construction in Georgia, as well as in border republics (Azerbaijan, Armenia, Turkey) increment year after year are increasing demands on quantity and quality of the produced cement. For the last 25 years cement industry of Georgia has been experiencing sharp deficit of pozzolanic additives of standard composition. It causes the necessity of importing them from abroad and the increase of production cost of the product and decrease of the growth of cement industry. Otherwise there is observed a backward process – poor-quality local materials having no pozzolanic properties are applied, which are lowering the activity and quality of cements and concretes.

For solving this problem scientific surveys have been made by CIMR for the last 10 years for the purpose and usage of acidic volcanic rock formations of Georgia as a pozzolanic additive for cement.

In the process of investigations there were discovered volcanic rocks with distinguished high reactive capacity to calcium hydroxide. Such are acidic tuffs with high content of volcanic glass, i.e. welded tuffs (ignimbrites), vitric tuffs and volcanic ashes [2].

Researches confirmed that addition of the studied volcanic rocks while grinding cement in the amount of 10 - 35 % favors economy of expensive clinker without lowering its grade strength and hardening to aggressive environment (sulfate resistance).

Recently in connection with the transference of cement productions of Georgia on European Standards, except of the volcanic rocks, important interest calls application of burnt shales as a pozzolanic additive of cement. According to EN 197-1 it is foreseen to produce Portland cements with burnt shales CEM II/AT (6-20%) and CEM II/BT (21- 35%) [3].

Since 2014 a new Russian standard has been also put into operation, which considers burnt shales as active mineral (pozzolanic) additive for cement [4].

In Georgia, as well as in North Caucasus, and all over the world, there are huge supplies of clay shales. Shales are solid dark-grey, black and more rarely reddish or greenish clay rocks with more or less marked layer structure. They are found in the oldest geological deposits and represent consolidated clay changed by pressure and later metamorphic processes. Shales can contain different inclusions, mainly quartz, and also carbonaceous substances and oil.

In Kakheti in surroundings of the city of Kvareli, because of sill-mudflows carried by the Durudji River, there are accumulated million tons of clay shales. Every spring when snow begins melting, the little river Durudji shows its frantic character: it swells sweeping away everything away and the accumulated mass of clay shales threatens the city of Kvareli with ecological catastrophe. So in case of stating usefulness of the above mentioned shales as a

pozzolanic additive for cement and utilization of them a dual problem will be solved: a risk of flooding of the populated area will be decreased and at the same time cement industry will be provided with the high quality additive.

In this direction during many years by Georgian specialists with the financial support of the European Union there were conducted preliminary scientific and production-practical researches and calculations, which showed economical appropriateness of applying burnt shales as a pozzolanic additive for cement [5].

## 2. THE BODY OF THE ARTICLE

In CIMR works for studying shales of Kvareli as a pozzolanic additive for cement began comparatively not long ago. During many years scientific studies of shales were conducted for the purpose of producing heat-insulating substances, precondition of which was the property of clay shales of heating at temperatures over 1250 °C and getting a layer structure [6].

In North Caucasus laboratory investigations for the purpose of reception of pozzolanic cements with application of burnt clay slates of Dagestan deposit were carried out [7].

## RESULTS AND DISCUSSION

In mineral composition shales of Kvareli are mixtures of: hydromica, muscovite, biotite, pyrite, limonite, quartz, augite, sericite, calcite, plagioclase, orthoclase, chlorate and aggregates of shales.

The chemical composition of shales is presented in Table 1.

Table 1

**Chemical composition of shales of Kvareli,  
mass %**

L.O.I.	SiO <sub>2</sub>	TiO <sub>2</sub>	Al <sub>2</sub> O <sub>3</sub>	Fe <sub>2</sub> O <sub>3</sub>	FeO	P <sub>2</sub> O <sub>5</sub>	MnO	CaO	MgO	SO <sub>3</sub>	Na <sub>2</sub> O	K <sub>2</sub> O	C	Humus
3,5	58,0	0,89	18,8	2,86	3,65	0,23	0,23	1,52	1,75	0,23	2,1	3,0	1,74	2,0

According to the differential-thermal analysis data (Figure 1) the endo-effect within the temperature range 100 -150 °C complies with the removal of the water absorption. In the temperature range 450 – 680 °C loss of weight about 4 % takes place. It is obviously connected with the loss of constitution water, but at 560-680 °C temperature the exo-effect is observed, which corresponds to burning out of organic compounds and oxidizing of iron. In the temperature range 680-730 °C there is observed endo-effect, which is evidently connected with the destruction of the crystalline lattice of shales and their active amorphization.

For the preliminary assessment of availability of a pozzolanic additive from the material under examination were conducted series of burning of shale at temperatures 600, 800 and 1250 °C with time delay 60 minutes at the given temperature. Produced materials were X-ray phase analyzed in order to define their phase composition.

On diffractograms (Figure 2) are clearly seen phase changes of the material with increasing burning temperature.

On diffractogram No1 (unburnt shale) there is observed the presence of quartz (4.25, 3.34, 2.464, 2.285, 2.230, 2.010, 1.985, 1.817 Å<sup>0</sup>); clay mineral chlorite (14.14, 7.08, 4.73, 3.54 Å<sup>0</sup>); mica (9.96, 4.96, 2.555, 2.010 Å<sup>0</sup>); feldspar of Ca-Na (4.02, 3.77, 3.67, 3.19, 2.954, 2.930, 2.800, 2.395 Å<sup>0</sup>).

On diffractogram No2 (600°C) quantities of chlorite and mica is decreasing and X-ray amorphous phase is observed (in the kind of bellying).

On diffractogram No3 (800°C) argillous phase is completely vanished, mica is diminishing and X-ray amorphous phase is increasing.

On diffractogram No4 (1250°C) X-ray amorphous (liquid) phases prevails, in which there is quartz up to

90%, mica is completely dissolved and mullite (5.45, 3.44, 3.39, 2.695, 2.511, 2.208, 1.837 Å<sup>0</sup>) appears.

According to X-ray phase analysis data it can be supposed that at 600°C temperature partial decomposition of argillous component is begun and oxides SiO<sub>2</sub>, Al<sub>2</sub>O<sub>3</sub> and Fe<sub>2</sub>O<sub>3</sub> are emerging in X-ray amorphous – active form, i.e. burnt shale acquires pozzolanic properties (ability of binding of calcium hydroxide on hardening cement paste into hardly soluble hydrate calcium silicate). With increasing temperature up to 800°C clay is completely being decomposed and percentage of the active phase is increased, hence pozzolanic properties of the burnt shale are improved. On burning of shale at temperature about 1250°C, activity of the latter is decreased, because there is emerging mullite - 3Al<sub>2</sub>O<sub>3</sub> · 2SiO<sub>2</sub> fire resistant compound, which is non-reactive in relation to calcium hydroxide.

For confirmation of the given hypothesis our further researches were directed for testing the burnt shales as a pozzolanic additive on cement milling.

In the laboratory ball grinder clinker with its additives 10, 20 and 35% shales (burnt at temperatures 600, 800 and 1250 °C) were ground. For regulating times of setting 5% gypsum is added.

Samples in the form of cubes of 2x2x2 cm size were prepared from the paste of normal density. Forms with samples were kept in moist environment for twenty-four hours, then removed out of forms and placed the water-bath. Compression capacity tests were carried out on hydrostatic press after 28 days. In every series 6 cubes were decomposed.

Results of physical - mechanical tests are presented in Table 2. Cement No0 is considered as control cement (free from additive).

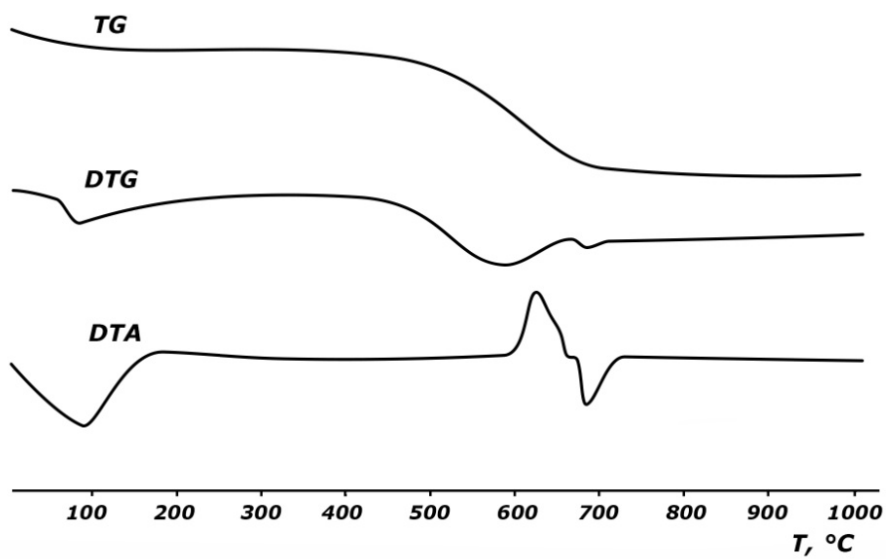


Figure 1. Differential-thermal pattern of Kvareli shales

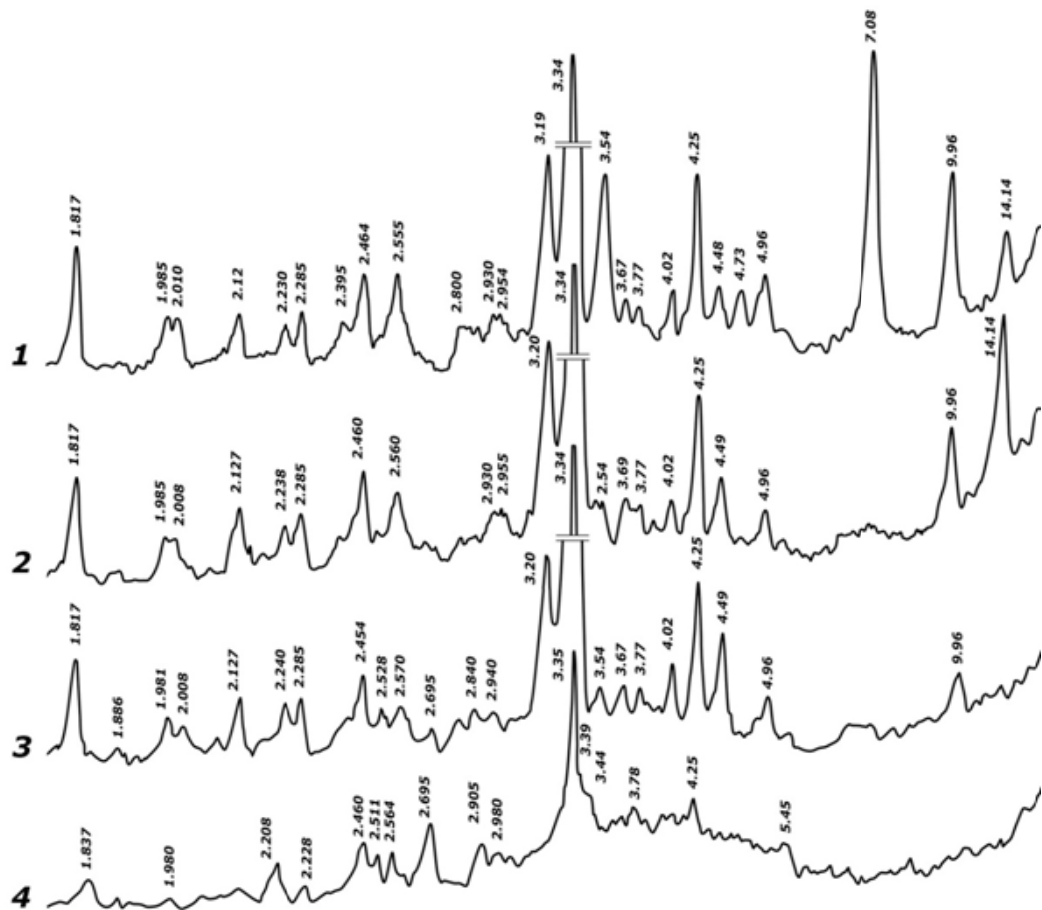


Figure 2. Diffraction patterns of Kvareli shales: No1- unburnt shale; No2 - heated at 600 °C; No3 - heated at 800 °C; No4 - heated at 1250 °C

**Table 2**  
**Physical-mechanical properties of cements**

No	Cement composition, mass.%	Normal density of cement paste, mass.%	Sample strength after 28 days, MPa	Changes in cement activity, %
0	Clinker - 95 Gypsum - 5	29.0	65.5	-
1 <sup>1</sup>	Clinker - 85 Burnt shale (600 <sup>0</sup> C) - 10 Gypsum - 5	30.5	61.8	-5.6
1 <sup>2</sup>	Clinker - 75 Burnt shale (600 <sup>0</sup> C) - 20 Gypsum - 5	31.0	58.4	-10.8
1 <sup>3</sup>	Clinker - 60 Burnt shale (600 <sup>0</sup> C) - 35 Gypsum - 5	32.0	46.0	-29.8
2 <sup>1</sup>	Clinker - 85 Burnt shale (800 <sup>0</sup> C) - 10 Gypsum - 5	31.5	69.5	+6.1
2 <sup>2</sup>	Clinker - 75 Burnt shale (800 <sup>0</sup> C) - 20 Gypsum - 5	32.5	62.3	-4.9
2 <sup>3</sup>	Clinker - 60 Burnt shale (800 <sup>0</sup> C) - 35 Gypsum - 5	33.5	53.5	-18.3
3 <sup>1</sup>	Clinker - 85 Burnt shale (1250 <sup>0</sup> C) - 10 Gypsum - 5	32.0	60.7	-7.3
3 <sup>2</sup>	Clinker - 75 Burnt shale (1250 <sup>0</sup> C) - 20 Gypsum - 5	32.0	51.2	-21.8
3 <sup>3</sup>	Clinker - 60 Burnt shale (1250 <sup>0</sup> C) - 35 Gypsum - 5	33.5	41.4	-36.8

From the data of Table 2 it is clear that the best strength is observed for the samples produced on the base of additive burnt at temperature 800<sup>0</sup>C in the amount of 10 - 35 % mass from cement content.

### 3. CONCLUSION

However for the final decision about the suitability of Kvareli shales as a pozzolanic additive for cement, it is necessary to conduct the further researches, as the accumulated mass of the mudflows in the vicinity of the city of Kvareli is inhomogeneous material. Apart from shale rocks it also contains other weathering products of different fractions. Therefore it is necessary to study maximal amount of probes from different dislocations.

The positive solving of the problem will give the opportunity of providing cement industry of Georgia and also the nearby countries (Azerbaijan, Armenia, Turkey) with high-quality and at the same time cheap pozzolanic additive, thus to conserve ecological balance in regions of the raised hazard.

### References

1. Kondratyev V. B. Mirovaya Ekonomika I Mezhdunarodnie Otnoshenia, No3, Moscow, 2015, p. 5-17.
2. Shapakidze E., Nadareishvili G., Kvashashidze R., Tkemaladze M., Maisuradze V., Nadirashvili M., Gejadze I. Materials of XIII International Conference "Reproduce Of The Resources, Low Waste And Environmental

- Technology Exploitation Of Mineral Resouces", Tbilisi, 15-20 September, 2014.
3. EN 197-1:2011. Composioton, Spesifications And Conformity Of Criteria For Common Cements.
4. GOST R 56196-2014. Dobavki Aktivnie Mineralnie Dlia Cementov. Tekhnicheskie Uslovia.
5. Mirianashvili A., Koivunen L., Dolidze T., Skhvitaridze R. Mining Journal, No1(8), Tbilisi, 2002, p. 52-55
6. Gabunia L., Shapakisze E., Magalashvili G., Gejadze I. Anniversary Collection Of Works Of CIMR, Tbilisi, 2009, p.399–401.
7. Toturbiev B.D., Toturbiev A.B. Beton I Zhelezobeton, No1, Moscow, p. 12-14.

## უაგ 666.952

გავარასის ქადის ღვარცოფული ნაკადის შედეგად ფარმოზოგილი ნაშალი თიხაფილების ნატანის ბამოკვლევა ცემენტის აუცოლანური დანერატის სახით

ე. შავაქიძე, რ. სხვიტარიძე, ი. გვჯაძე, ვ. მაისურაძე, მ. ნადირაშვილი, ე. ხუჭუა

**რეზიუმე:** გამოკვლეულია კავკასიის ქედის ღვარცოფული ნაკადის შედეგად წარმოშობილი ნაშალი თიხაფილების ნატანის გამოყენების შესაძლებლობა ცემენტის პუცოლანური დანამატის სახით. ამ მიზნით თიხაფილების შესწავლა ჩატარდა ქიმიური, რენტგენოფაზური და დიფერენციულ-თერმული ანალიზების მეთოდებით, რომლებმაც გახურების შედეგად გამოავლინა თიხაფილების ფაზური გარდაქმნების ტენდენცია  $20-1250^{\circ}\text{C}$  ინტერვალში.

თიხაფილების გამოწვა ხდებოდა  $600$ ,  $800$  და  $1250^{\circ}\text{C}$  ტემპერატურებზე, 1 სთ დაყოვნებით მაქსიმალურ ტემპერატურაზე. ფიზიკურ-მექანიკურმა გამოცდებმა აჩვენა, რომ სიმტკიცის საუკეთესო მაჩვენებლებით ხასიათდება ცემენტები, რომელთაც დაემატა  $10-35$  მას.% თიხაფილი, წინასწარ გამომწვარი  $800^{\circ}\text{C}$  ტემპერატურაზე.

**საკვანძო სიტყვები:** ცემენტის პუცოლანური დანამატი; ნაშალი თიხაფილის ნატანი; ღვარცოფული ნაკადი; ეკოლოგიური წონასწორობა.

## УДК 666.952

### ИССЛЕДОВАНИЕ НАНОСОВ ГЛИНИСТЫХ СЛАНЦЕВ (ОБРУШАЮЩЕЙСЯ ГОРНОЙ ПОРОДЫ КАВКАЗСКОГО ХРЕБТА, ОБРАЗОВАВШЕЙСЯ ВСЛЕДСТВИЕ СЕЛЕВО-ГРЯЗЕВЫХ ПОТОКОВ) В КАЧЕСТВЕ ПУЦЦОЛАНОВОЙ ДОБАВКИ ДЛЯ ЦЕМЕНТА

Шапакидзе Е.В., Схвитаридзе Р.Е., Геджадзе И.В., Майсурадзе В.И., Надирашвили М.Р.,  
Хучуа Е.А.

**Резюме:** Исследована возможность применения наносов глинистых сланцев (обрушающейся горной породы Кавказского хребта, образовавшейся вследствие селево-грязевых потоков) в качестве пущцолановой добавки для цемента. С этой целью сланцы были изучены методами химического, петрографического, рентгенофазового и дифференциально-термического анализов, которые выявили тенденцию фазовых превращений при нагреве сланцев в интервале температур  $20 - 1000^{\circ}\text{C}$ .

Глинистые сланцы обжигались при температурах  $600$ ,  $800$  и  $1250^{\circ}\text{C}$  с выдержкой при максимальной температуре 60 мин. Физико-механические испытания показали, что наилучшими показателями по прочности обладают цементы с добавкой 10-35 масс.% сланцев, обожженных при температуре  $800^{\circ}\text{C}$ .

**Ключевые слова:** пущцолановая добавка для цемента; наносный глинистый сланец; селево-грязевой поток; экологическое равновесие.

УДК 666.1.25

## ОСОБЕННОСТИ ТЕРМИЧЕСКОГО РАСШИРЕНИЯ И ЭЛЕКТРОСОПРОТИВЛЕНИЯ СТЕКЛОМАТЕРИАЛОВ В СИСТЕМЕ $\text{Cu}_2\text{O}-\text{MnO}-\text{B}_2\text{O}_3$

Т.Ш. Чеишвили, Н.Г. Чиджавадзе

Департамент химической и биологической технологий, Грузинский технический университет, Грузия, 0175, Тбилиси, ул. Костава 77  
E-mail: t.cheishvili@gtu.ge

**Резюме:** Исследование выполнено с целью изучения возможности получения стекломатериалов электротехнического назначения. Тепловое расширение стекломатериалов изучалось на кварцевом дилатометре, а электросопротивление – тераомметрами. В работе представлены условия получения специфических стекломатериалов в системе  $\text{Cu}_2\text{O}-\text{MnO}-\text{B}_2\text{O}_3$  и рассмотрены вопросы влияния состава на температурные зависимости их удлинения и электросопротивления. Показано, что взаимозамещением оксидов марганца (II) и меди (I) в пределах 10-40 мол.% можно получить стекломатериалы со стабильными электрофизическими характеристиками.

**Ключевые слова:** стекломатериалы; оксиды меди; марганца и бора; тепловое расширение; электросопротивление; температурный коэффициент сопротивления; тип проводимости.

### 1. ВВЕДЕНИЕ

Известно, что сферы применения имеющих многовековую историю искусственных стекол становятся все многообразнее. Стекло из предмета быта человека превратилось в определяющий фактор перспективности развития многих отраслей техники. На сегодняшний день насчитываются десятки видов стекол, отличающихся как функциональностью применения, так и составом. На основе стекол и стекломатериалов изготавливаются многие необходимые для технического прогресса материалы и среди них полупроводниковые, радиационностойкие, лазерные, магнитные, специальные оптические, деградирующие биостекломатериалы и др. [1-5].

Предпосылкой данных достижений стало создание аморфных и аморфно-кристаллических материалов, которые являются носителями свойств традиционных кристаллических материалов. В качестве примера можно привести ферритные марганецсодержащие стекла, марганец- и титансодержащие химически стойкие стеклопокрытия, лазерные стекла и т.п. [2,6]. В этом аспекте внимания заслуживают работы, прове-

денные в целях создания поверхностно- и объемно-проводящих полупроводниковых стекол с преобладающей электронной проводимостью, на основе медьсодержащих боратных и силикатных стекол [7-9].

Электротехнические характеристики таких материалов, содержащих d-элементы, позволяют рекомендовать их в качестве специальных резистивных элементов, способных замещать известные сплавы и легированные полупроводники [10]. Исходя из имеющихся в научной литературе данных и с учетом технологического синтеза боратных стекол (по сравнению с силикатными) нами были синтезированы и изучены электрофизические и тепловые свойства стекломатериалов в системе  $\text{Cu}_2\text{O}-\text{MnO}-\text{B}_2\text{O}_3$ .

### 2. ОСНОВНАЯ ЧАСТЬ

Целью данной работы было изучение материалов, полученных в системе  $\text{Cu}_2\text{O}-\text{MnO}-\text{B}_2\text{O}_3$ , т.е. варкой композиций на боратной основе, содержащих оксиды двух (медь и марганец) d-элементов. Оксиды марганца и меди хорошо известны в стеклоделии – на их основе получают окрашенные стекла бытового и светотехнического назначения. Однако их концентрации в таких стеклах не превышают нескольких процентов, а глубину окраски определяют следующие факторы: состав стекла, температура и атмосфера варки, окислительно-восстановительные процессы между двумя d-элементами. Представленные параметры (условия) предопределяют в конечном счете валентно-координационное состояние d-элементов при их совместном присутствии в стеклах [1,11]. Поэтому при синтезе стекол в изучаемой системе  $\text{Cu}_2\text{O}-\text{MnO}-\text{B}_2\text{O}_3$  были приняты идентичные для всех составов условия синтеза и дальнейшей подготовки образцов для замера свойств.

Для синтеза были взяты следующие реагенты: медь (I) окись, марганец (II) окись и борная кислота качества (марки) «х.ч» и «ч.д.а.» с содержанием основных веществ не менее 99,0 вес. %. Варка шихт проводилась в электрической печи с карборундовыми нагревателями, тигли для синтеза – фарфоровые емк. 70 мл. Температура варки составляла  $1025 \pm 25^\circ\text{C}$ ; время

выдержки расплавов при данной температуре – 30 мин. Для отжига образцов, полученных отливкой расплавов в металлические формы, применялась муфельная электропечь. Температура отжига устанавливалась с учетом температуры стеклования ( $T_g$ ) и составляла ( $T_g-20$ )°С при скорости последующего охлаждения не более 3°C/мин. В целях изучения свойств отожженные образцы шлифовались для получения дисков (диаметр 30-40 мм, толщина 3-4 мм) и четырехгранных стержней (длина 50±2мм; сечение 3x3 мм).

Тепловое расширение определялось на дилатометре ДКВ-4А (скорость подъема температуры 2,5-3°C/мин), а электрическое сопротивление (электроды графитовые) измерялось тераомметром (Е6-3, Е6-13А) в высокотемпературной ячейке [12].

В системе  $\text{Cu}_2\text{O}-\text{MnO}-\text{B}_2\text{O}_3$  были синтезированы и изучены составы трех серий с содержанием 40, 50 и 60 мол.%  $\text{B}_2\text{O}_3$ . Однако, в данной статье представлены результаты по свойствам для составов с молекулярной формулой  $(50-x)\text{Cu}_2\text{O}\cdot x\text{MnO}\cdot 50\text{B}_2\text{O}_3$ , т.к. составы двух других серий (с 40 и 60 мол.% основного стеклообразователя) показали схожие результаты по значениям электросопротивления ( $\rho$ ) и теплового расширения ( $\Delta\ell$ ) от температуры. Состав и оценка внешнего вида переохлажденных в формах и отожженных расплавов изучаемой серии представлены в табл. 1. Полученные образцы материалов отличаются по внешнему виду – состав 1 можно отнести к аморфным, а составы 2-4 больше похожи на аморфно-кристаллические материалы.

Табл. 1

**Исходный состав и визуальная оценка переохлажденных расплавов состава  $(50-x)\text{Cu}_2\text{O}\cdot x\text{MnO}\cdot 50\text{B}_2\text{O}_3$**

№	Индексы составов	Химический состав по синтезу (мол. %)			Визуальная оценка
		$\text{Cu}_2\text{O}$	$\text{MnO}$	$\text{B}_2\text{O}_3$	
1	Cu'Mn-145	10	40	50	Черное стекло
2	Cu'Mn-235	20	30	50	Матовая поверхность темно-бордового цвета
3	Cu'Mn-325	30	20	50	То же, что и состав 2
4	Cu'Mn-415	40	10	50	То же, что и состав 2

Изучение зависимостей «удлинение-температура» показало определенную идентичность составов 1 и 2, а также составов 3 и 4 (табл. 1) по схожести дилатометрических кривых, которые представлены на рис. 1 для крайних составов: Cu'Mn-145 и Cu'Mn-415. Кривая зависимости « $\Delta\ell - t$ » в обоих случаях имеет сложный характер – четко проявляются изгибы (переходы) от одного прямолинейного участка к другому в области температур от комнатной до 450°C. Дальнейший рост температуры предопределяет плавность хода кривых « $\Delta\ell - t$ », однако для состава с 40 мол.%  $\text{Cu}_2\text{O}$  наблюдается заторможенность хода расширения в области температур 450-525°C (фиксируется нулевое расширение) с последующей завершающей и характерной для аморфного состава петлей в области температур размягчения. Полученные результаты

свидетельствуют о неоднородном строении изучаемых материалов, в которых предположительно возможно одновременное сосуществование нескольких составляющих структуру группировок и в том числе медноборатных и марганцевоборатных. Данный вопрос требует дополнительного изучения, тем более с учетом выявленного факта – температуры размягчения материалов ( $t_{\text{н.д.}}$ ) практически совпадают (рис. 1).

Возможность влияния состава на структурное устройство синтезированных материалов нашло отражение и в зависимости электрического сопротивления от состава и температуры замера значений сопротивления (рис. 2). В интервале температур 20-300°C зависимость « $I_{\text{sp}} - t$ » носит прямолинейный характер, однако угол их наклона меняется в зависимости от состава.

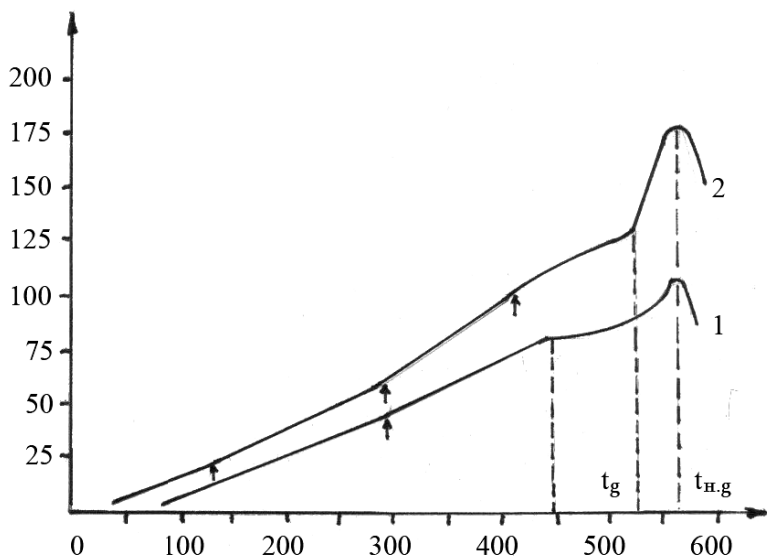


Рис. 1. Характеристические дилатометрические кривые стекол:  
1 – состав  $10\text{Cu}_2\text{O}\cdot40\text{MnO}\cdot50\text{B}_2\text{O}_3$ ; 2 – состав  $40\text{Cu}_2\text{O}\cdot10\text{MnO}\cdot50\text{B}_2\text{O}_3$

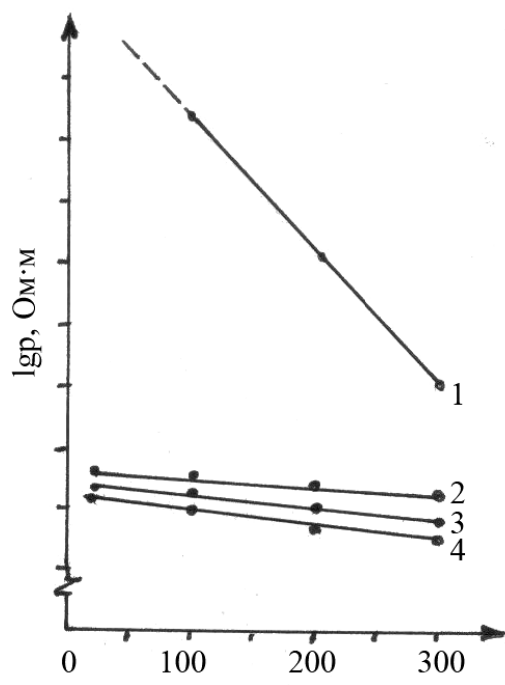


Рис. 2. Зависимость « $\Delta\theta - t$ » для  
составов  $x\text{Cu}_2\text{O}\cdot(50-x)\text{MnO}\cdot50\text{B}_2\text{O}_3$   
(составы см. табл. 1)

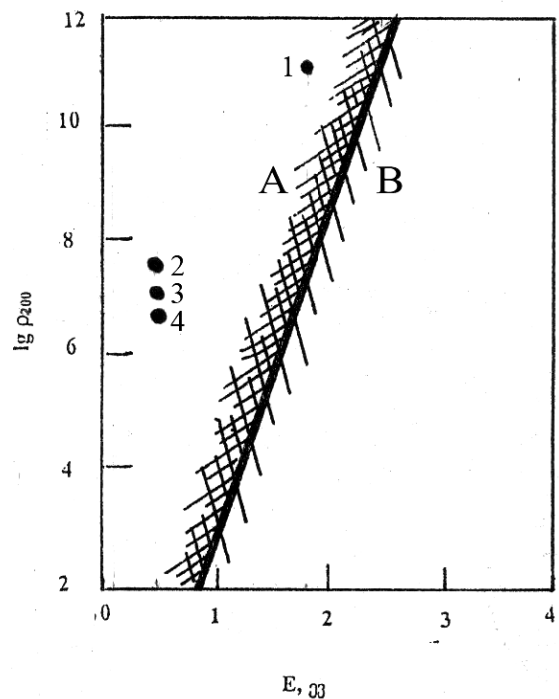


Рис. 3. Взаимная зависимость электросопротивления  
и энергии активации для составов  
 $x\text{Cu}_2\text{O}\cdot(50-x)\text{MnO}\cdot50\text{B}_2\text{O}_3$ : А – электронная  
проводимость, В – ионная проводимость  
(составы см. табл. 1)

Состав Cu'MnB-145 (кривая 1) характеризуется особенной чувствительностью к изменению температуры, в то время как составы с 20 и более процент-

ным содержанием  $\text{Cu}_2\text{O}$  менее чувствительны к изменению температуры. Эти же составы имеют более

низкие значения удельного электросопротивления, чем состав Cu'MnB-145.

Изученные стекла характеризуются резко отличающимися значениями температурного коэффици-

ента электросопротивления ( $\alpha_T$ ) и энергии активации проводимости (E), что подтверждается приведенными в табл. 2 расчетными данными [13].

Табл. 2

**Электротехнические характеристики стекол состава  $x\text{Cu}_2\text{O}\cdot(50-x)\text{MnO}\cdot50\text{B}_2\text{O}_3$**

Индекс состава	Значения удельного электросопротивления ( $I_{gp}$ ) при температуре			Температурный коэффициент электросопротивления ( $-\alpha_T \cdot 10^{-2} \text{ K}^{-1}$ )	Энергия активации электропроводности (E), эВ
	100°C	200°C	300°C		
Cu'MnB-145	-	11,3	9,1	1,8	0,40
Cu'MnB-235	7,7	7,5	7,2	0,5	0,11
Cu'MnB-325	7,3	7,0	6,8	0,5	0,11
Cu'MnB-415	7,0	6,7	6,5	0,5	0,11

Для определения типа проводимости в изучаемых композициях был использован подход, предложенный в [14]. Представленный на рис. 3 материал в виде зависимости « $I_{gp200}\text{-E}$ » показывает, что все материалы из серии  $x\text{Cu}_2\text{O}\cdot(50-x)\text{MnO}\cdot50\text{B}_2\text{O}_3$  должны проявлять склонность к электронному типу проводимости, однако данное предположение предпочтительно в отношении составов с 20, 30 и 40 мол.%  $\text{Cu}_2\text{O}$  (рис. 3, составы 2, 3, 4).

### 3. ЗАКЛЮЧЕНИЕ

Синтезом и изучением стекломатериалов состава  $x\text{Cu}_2\text{O}\cdot(50-x)\text{MnO}\cdot50\text{B}_2\text{O}_3$  было установлено, что по характеру изменения свойств они представляют собой аморфные или аморфнокристаллические материалы, предположительно с дифференцированной структурой. Составы с 20, 30 и 40 мол.%  $\text{Cu}_2\text{O}$  характеризуются низкими значениями электросопротивления и энергии активации, а также малыми величинами температурного коэффициента сопротивления, что может предопределить их применение в качестве многофункциональных низкоомных резисторов.

### ЛИТЕРАТУРА

- Химическая технология стекла и ситаллов / Под ред. Павлушкина Н.М.: Стройиздат, 1983. - 432с.
- Справочник по электротехническим материалам / Под ред. Корицкого Ю.В., Пасынкова В.В., Тареева Б.М. Т. 3, Изд. 3-е, Л.: Энергоиздат, 1988. - 728с.
- Тайров Ю.М., Цветков В.Ф. Технология полупроводниковых и диэлектрических материалов. М.: Выш. шк., 1990. - 423с.
- Саркисов П.Д. Направленная кристаллизация стекла – основа получения многофункциональных стеклокристаллических материалов. М.: РХТИ, 1997. - 218с.
- Баринов С.М., Комлев В.С. Биокерамика на основе фосфатов кальция. М.: Наука, 2005. – 204 с.
- Саруханишвили А.В. Многомарганцевые боратные и силикатные стекла. Тб.: ТГУ, 1989. – 160 с.
- Чеишвили Т.Ш. Стекла трехкомпонентных систем с содержанием d-элементов. Автореферат докторской диссертации. Тб.: ТГУ, 2003. – 35 с.
- Файнберг Е.А., Пановкина В.И. Исследование электротехнических свойств марганец- и медьсодержащих стекол с электропроводящими окисленными слоями // Неорганические материалы, т. 3, №11, 1967, с. 2123-2125.
- Гаприндашвили Х.И., Мясников И.А. К электропроводности стекол системы  $\text{CdO}\text{-}\text{CuO}\text{-}\text{B}_2\text{O}_3$  // Georgian Engineering News, №2, 2002, с. 96-98.
- ru.wikipedia.org/wiki; mash-xxl; info/127733/dic.academic.ru/dic, nsf/ruwiki/348220.
- Кутолин С.А., Нейг А.Н. Физическая химия цветного стекла. М.: Стройиздат, 1988. -296с.
- Чеишвили Т.Ш. Оценка протекающих на поверхности стекол процессов новой электроизмерительной ячейкой с регулируемыми параметрами температуры и давления // Труды ГТУ, №4(458), 2005, с. 45-49.
- Люсов В.Ф. Практикум по физике полупроводников. М.: Просвещение, 1976, с. 35-56.
- Зерцалова И.Н., Файнберг Е.А., Гречаник Л.А. О характере изменения энергии активации и объемной электропроводности твердых стекол в связи с механизмом переноса тока // Материалы IV Всесоюзн. совещ., М.-Л., 1964, с. 30-38.

**შაბ 666.125**

**Cu<sub>2</sub>O-MnO-B<sub>2</sub>O<sub>3</sub> სისტემაში მიღებული მინამასალების თერმული გაფართოებისა  
და ელექტროდინამიკის თავისებურებაზე**

**თ. ჭეიშვილი, ნ. ჩიჯავაძე**

**რეზიუმე:** წარმოდგენილია Cu<sub>2</sub>O-MnO-B<sub>2</sub>O<sub>3</sub> სისტემაში სპეციფიკური მინამასალების მიღების პორტები და განხილულია შედგენილობის გავლენის საკითხი მათი დაგრძელებისა და ელექტროდინამიკის ტემპერატურულ დამოკიდებულებასთან. ნაწვენებია, რომ 10–40 მოლ.%-იან ზღვრებში მანგანუმის (II) და სპილენდის (I) ურთიერთხანაცვლებით შესაძლებელია სტაბილური ელექტროფიზიკური მახასიათებლების მინამასალების მიღება.

**საკვანძო სიტყვები:** მინამასალები; სპილენდის, მანგანუმის და ბორის ოქსიდები; თბერი გაფართოება; ელექტროდინამიკა; ტინადობის ტემპერატურული კოეფიციენტი; გამტარობის სახე.

---

**UDC 666.1.25**

**PECULIARITIES OF THERMAL EXPANSION AND ELECTRIC RESISTIVITY OF GLASS MATERIALS IN  
THE SYSTEM Cu<sub>2</sub>O-MnO-B<sub>2</sub>O<sub>3</sub>**

**T. Cheishvili, N. Chijavadze**

**Resume:** Conditions of receipt of specific glass materials in the system Cu<sub>2</sub>O-MnO-B<sub>2</sub>O<sub>3</sub> are represented and issues of effect of their composition on temperature dependencies of their enlargement and electric resistivity are considered. It is shown that by mutual substitution of manganese (II) and copper (I) oxides within the limits of 10-40 mol.% is possible to receive glass materials with stable electrophysical characteristics.

**Key words:** glass materials; copper, manganese and boron oxides; thermal expansion; electric resistivity; thermal coefficient of resistance; type of conductivity.

---

# მ ი ლ რ ც პ ა



## ზურაბ სიმონგულაშვილი

ზურაბ სიმონგულაშვილი დაიბადა 1946 წლის 2 აგვისტოს თერჯოლის რაიონის სოფელ ჩხარში პედაგოგის ოჯახში. 1964 წელს, საშუალო სკოლის ოქროს მედალზე დამთავრების შემდეგ, სწავლა განაგრძო საქართველოს პოლიტექნიკური ინსტიტუტის მეტალურგიის ფაკულტეტზე. 1969 წლიდან, ისნიტუტის წარჩინებით დამთავრების შემდეგ, ორი წელი ოფიცრად მსახურობდა საბჭოთა არმიის რიგებში.

1972 წელს მუშაობას იწყებს საქართველოს პოლიტექნიკური ინსტიტუტის შავი ლითონების მეტალურგიის კათედრასთან არსებულ კაზმის მომზადებისა და გადამუშავების საპრობლემო ლაბორატორიაში, სადაც განვლო გზა უმცროსი მეცნიერი თანამშრომლიდან პროფესორამდე.

ზ. სიმონგულაშვილი არის აღიარებული მეცნიერი მკვლევარი მანგანუმიანი ფეროშენადნობების მიღების თეორიასა და ტექნოლოგიის დარგში. ხანგრძლივი სამეცნიერო მოღვაწეობის პერიოდში გამოქვეყნებული აქვს ასზე მეტი ნაშრომი, მათ შორის რამდენიმე გამოგონება, პატენტი და სახელმძღვანელო. გამოკვლევები ძირითადად ეხება ჭიათურა-ზესტაფონის სამთო-მეტალურგიული კომპლექსის შესწავლას და მოიცავს მანგანუმიან ფეროშენადნობთა წარმოების თეორიული და ექსპერიმენტული კვლევების თითქმის ყველა მიმართულებას. მისი ხელმძღვანელობით და უშეალო მონაწილეობით წარმოებაში დაინერგა მადნური ბრიკეტების და ადგილობრივი კაჟმიწაშემცველი ალუმინიული კატექტების გამოყენება სილიკომანგანუმის გამოსადნობ კაზმში, რამაც ქარხანას მნიშვნელოვანი ეკონომიკური ეფექტი მოუზანა. განსაკუთრებით აღსანიშნავია პროფ. ზ. სიმონგულაშვილის წვლილი წარმოების ნარჩენების გამოყენების საქმეში. მის მიერ შემუშავებული სილიკომანგანუმის მიღების ახალი, ორიგინალური ტექნოლოგიური სქემა უზრუნველყოფს ეკოლოგიურად საშიში მანგანუმიანი ნარჩენების უტილიზაციას, აფართოებს სანედლეულო ბაზას, ამცირებს შენადნობის თვითდირებულებას და ჭრის გარემოს დაბინძურების პრობლემას.

ზ. სიმონგულაშვილს, როგორც ფეროშენადნობთა მაღალკვალიფიციურ სპეციალისტს, იცნობენ არა მარტო საქართველოში, არამედ მის ფარგლებს გარეთაც – უკრაინაში, რუსეთში, ყაზახეთში, თურქეთში და სხვა. მისი გამოკვლევები ციტირებულია საზღვარგარეთ გამოცემულ ცნობილ ავტორთა მონოგრაფიებსა და სახელმძღვანელოებში. მონაწილეობდა მრავალ საერთაშორისო სამეცნიერო კონ-

ფერენციებში. მას, როგორც ექსპერტს, ხშირად იწვევენ სხვადასხვა სახელმწიფო და კერძო ორგანიზაციები სამეცნიერო, საპროექტო, საწარმოო და უკონომიკური საკითხების განსახილველად და შესაბამისი დასკვნის გასაცემად.

განსაკუთრებით აღსანიშნავია პროფ. ზ. სიმონგულაშვილის როლი ბოლო წლებში ჩვენს ქვეყანაში ფართოდ განვითარებულ მცირე და საშუალო სიმძლავრის საწარმოთა დაპროექტების და ათვისების საქმეში. ბოლო ორი წლის განმავლობაში იგი მიწვეული იყო თურქეთის რესპუბლიკაში, როგორც მეცნიეროკონსულტანტი, სადაც მონაწილეობდა და ხელმძღვანელობდა ფეროშენადნობთა სადნობი ზემძლავრ-მადანთერმული დუმლების ექსპლუატაციაში შესვლასა და ათვისებას.

გარდა სამეცნიერო მუშაობისა, პროფ. ზ. სიმონგულაშვილი წლების განმავლობაში ეწევა პედაგოგიურ მოღვაწეობასაც. კითხულობს ლექციების კურსს თუკის, ფოლადის და ფეროშენადნობთა მეტალურგიაში. ხელმძღვანელობს საბაკალავრო, სამაგისტრო და სადოქტორო სამუშაოების შესრულებას. მისი ხელმძღვანელობით დაცულია ერთი საკანდიდატო და ოთხი სადოქტორო დისერტაცია.

ზ. სიმონგულაშვილი განსაკუთრებული ავტორიტეტით და სიყვარულით სარგებლობს მეგობრებში, თანამშრომლებსა და სტუდენტებს შორის, მას საპატიო ადგილი უჭირავს ქართველ მეტალურგთა დიდ ოჯახში.

მრავალრიცხოვანი მეგობრები და კოლეგები ულოცავენ პროფ. ზ. სიმონგულაშვილს იუბილეს და უსურვებენ ჯანმრთელობას, ბედნიერებას და ახალ შემოქმედებით წარმატებებს.

**საქართველოს ტექნიკური უნივერსიტეტის  
ქიმიური ტექნოლოგიისა და მეტალურგიის ფაკულტეტი,**

**ზესტაფონის ფეროშენადნობთა ქარხანა**

# შინაარსებ

## მეცნიერება და ტექნოლოგია

გ. გაფრინდაშვილი. ინჰინირობის სხივებით პურ-ფუნთუმელი პროდუქტების ცხობა .....	3
ზ. კოვზირიძე, ნ. ნიუარაძე, ნ. დარახველიძე, გ. ტაბატაძე, ზ. მესტვირიშვილი. სიაღონებების კომპოზიტის მიღება ნიტროალუმინიტერმული პროცესებით, რეაქციული შეცხობის და ცხელი დაწნების მეთოდით .....	9
ზ. კოვზირიძე, ნ. ნიუარაძე, ა. მიქანაძე, გ. ტაბატაძე. მეტალოპერამიკული კომპოზიტი ლითონების ჭრით დასამუშავებელად .....	20
ზ. კოვზირიძე, ნ. ჯოგლიძე, ნ. ნიუარაძე, ხ. ბლუაშვილი. მართვადი ლოკალური პიავერთერმიტის მეთოდით სტრიქ ნაწლავის კიბოსა (პროქტოლობიური) და საშვილოსნოს ყელის დაკადებების სამკურნალო აკარატი და უსაფრთხოების შესწავლა თეთრ ვირთაბებებზე .....	30
ზ. სიმონგულაშვილი, გ. ქურდაძე. სილიკონმანბანუმის ბამოდენობის პროცესის ბამოკვლევა პაზმი ტუზების ბამოყვენებით .....	41
ზ. სიმონიშვილი, ა. გოგიბერიძე, დ. ჩიკაშვა, გ. ქინქლაძე. ნატრიუმის ქლორიდის ბამოყვენებით დაბალფოსფორიანი მანგანუმის კონცენტრატის მიღება .....	46
ე. შაფაქიძე, რ. სხვიტარიძე, ი. გეჯაძე, ვ. მაისურაძე, მ. ნადირაშვილი, ე. ხუჭუა. კაპკასიის ძელის ღვარცოფული ნაკადის შედებად ზარმოშობილი ნაშალი თიხაფილების ნატანის ბამოკვლევა ცემენტის კუცოლანური დანამატის სახით .....	49
თ. ჭეიშვილი, ნ. ჩიჯავაძე. $Cu_2O\text{-MnO}\text{-B}_2O_3$ სისტემაში მიღებული მინამასალების თერმული გაფართოებისა და ელექტროზინალობის თავისებურებანი .....	55
<b>მიკროცენ</b>	
ზურაბ სიმონგულაშვილი .....	60

# CONTENTS

## SCIENCE END TECHNOLOGY

<b>G. Gafrindashvili.</b> BAKING OF BAKERY PRODUCTS WITH APPLICATION OF INFRARED RAYS .....	3
<b>Z. Kovziridze, N. Nizharadze, N. Darakhvelidze, G. Tabatadze, Z. Mestvirishvili.</b> PREPARATION OF COMPOSITES BY NITRO ALUMINOTHERMIC PROCESSES BY REACTIV SINTERING AND HOT PRESSING .....	9
<b>Z. Kovziridze, N. Nizharadze, A. Mikanadze, G. Tabatadze.</b> METAL-CERAMIC COMPOSITES FOR METAL TREATMENT BY CUTTING .....	20
<b>Z. Kovziridze, N. Joglidze, N. Nizharadze, Kh. Bluashvili.</b> APPARATUS FOR THERAPY OF (PROCTOLOGIC) RECTUM CANCER AND CERVIX UTERI DISEASES BY LOCAL CONTROLLED HYPERTERMIA AND STUDY OF SAFETY ON ALBINO RATS .....	30
<b>Z. Simongulashvili, G. Qurdadze.</b> LEARNING THE SILICO-MANGANESE SMELTING PROCESS BY USING TUFF IN FURNACE .....	41
<b>Z. Simonishvili, A. Gogiberidze, D. Chikashua, V. Qinqladze.</b> PREPARATION OF LOW-PHOSPHOROUS MANGANESE CONCENTRATE USING SODIUM CHLORIDE .....	46
<b>E. Shapakidze, R. Skhvitaridze, I. Gejadze, V. Maisuradze, M. Nadirashvili, E. Khuchua.</b> STUDY OF ALLUVIUM SHALES (FALLING ROCKS OF CAUCASIAN RIDGE, GENERATED AS A RESULT OF SILL-MUDFLOWS), AS A POZZOLANIC ADDITIVE FOR CEMENT .....	49
<b>T. Cheishvili, N. Chijavadze.</b> PECULIARITIES OF THERMAL EXPANSION AND ELECTRIC RESISTIVITY OF GLASS MATERIALS IN THE SYSTEM Cu <sub>2</sub> O-MnO-B <sub>2</sub> O <sub>3</sub> .....	55
<b>GREETING</b>	
<b>Zurab Simongulashvili</b> .....	60

# СОДЕРЖАНИЕ

## НАУКА И ТЕХНОЛОГИЯ

<b>Гаприндашвили Г.Г.</b> ВЫПЕЧКА ХЛЕБОБУЛОЧНЫХ ПРОДУКТОВ С ПРИМЕНЕНИЕМ ИНФРАКРАСНЫХ ЛУЧЕЙ .....	3
<b>Ковзиридзе З.Д., Нижарадзе Н.С., Дарахвелидзе Н.И., Табатадзе Г.С., Мествиришвили З.Д.</b> ПОЛУЧЕНИЕ СИАЛОНСОДЕРЖАЩИХ КОМПОЗИТОВ НИТРОАЛЮМОТЕРМИЧЕСКИМИ ПРОЦЕССАМИ, МЕТОДАМИ РЕАКЦИОННОГО СПЕКАНИЯ И ГОРЯЧЕГО ПРЕССОВАНИЯ .....	9
<b>Ковзиридзе З.Д., Нижарадзе Н.С., Миканадзе А.И., Табатадзе Г.С.</b> МЕТАЛЛОКЕРАМИЧЕСКИЙ КОМПОЗИТ ДЛЯ ОБРАБОТКИ МЕТАЛЛОВ РЕЗАНИЕМ .....	20
<b>Ковзиридзе З.Д., Джоглидзе Н.Ш., Нижарадзе Н.С., Блуашвили Х.Т.</b> АППАРАТ ДЛЯ ЛЕЧЕНИЯ ЗАБОЛЕВАНИЙ РАКА ПРЯМОЙ КИШКИ (ПРОКТОЛОГИЧЕСКОЙ) И ШЕЙКИ МАТКИ МЕТОДОМ УПРАВЛЯЕМОЙ ЛОКАЛЬНОЙ ГИПЕРТЕРМИИ И ИЗУЧЕНИЕ БЕЗОПАСНОСТИ НА БЕЛЫХ МЫШАХ .....	30
<b>Симонгулашвили З.А., Курдадзе Г.У.</b> ИССЛЕДОВАНИЕ ПРОЦЕССА ВЫПЛАВКИ СИЛИКОМАРГАНЦА С ИСПОЛЬЗОВАНИЕМ В ШИХТЕ ТУФА .....	41
<b>Симонишвили З.З., Гогибериадзе А.В., Чикашша Д.С., Кинкладзе В.Л.</b> ПОЛУЧЕНИЕ НИЗКОФОСФОРИСТОГО МАРГАНЦЕВОГО КОНЦЕНТРАТА С ПРИМЕНЕНИЕМ ХЛОРИДА НАТРИЯ .....	46
<b>Шапакидзе Е.В., Схвитаридзе Р.Е., Геджадзе И.В., Майсурладзе В.И., Надирашвили М.Р., Хучуа Е.А.</b> ИССЛЕДОВАНИЕ НАНОСОВ ГЛИНИСТЫХ СЛАНЦЕВ (ОБРУШАЮЩЕЙСЯ ГОРНОЙ ПОРОДЫ КАВКАЗСКОГО ХРЕБТА, ОБРАЗОВАВШЕЙСЯ ВСЛЕДСТВИЕ СЕЛЕВО-ГРЯЗЕВЫХ ПОТОКОВ) В КАЧЕСТВЕ ПУЦЦОЛНОВОЙ ДОБАВКИ ДЛЯ ЦЕМЕНТА .....	49
<b>Чеишвили Т.Ш., Чиджавадзе Н.Г.</b> ОСОБЕННОСТИ ТЕРМИЧЕСКОГО РАСШИРЕНИЯ И ЭЛЕКТРОСОПРОТИВЛЕНИЯ СТЕКЛОМАТЕРИАЛОВ В СИСТЕМЕ $Cu_2O\text{-}MnO\text{-}B_2O_3$ .....	55
<b>ПОЗДРАВЛЕНИЕ</b> <b>Зураб Симонгулашвили</b> .....	60

**kompiuterul i uzrunvel yofa x. ungi aZis  
redaqtoRebi: I. mamal aZe, m. preobraJenskai a, d. SoSi aSvili**

**saqarTvel os keramikosTa asociacia 2007 wl i dan  
gawevri anda keramikosTa msofi i o federaci aSi**

**saqarTvel os keramikosTa asociacia 2002 wl i dan evropis  
keramikosTa asociaci s wevria**

**saqarTvel os keramikosTa asociacia daarsda 1998 wel s  
Jurnal i daarsda 1999 wel s**

**Jurnal Si statiebi i beWdeba qarTul , ingl isur, germanul da rusul enebze**

*gamoqveynebul i masal is avtorebi pasuxismgebel ni arian moyvani i  
faqtobis, citatebis da sxva monacemebis SerCevasa da sizusteze, aseve Ria  
publ ikaciaSi kanoniT akrZal ul i monacemis gaxmaurebaze.  
redaqcias SeuZi ia gamoqveynos masal ebi ise, rom ar iziarebdes avtoris  
Sexedul ebebs.*

*Авторы публикуемых материалов несут ответственность за подбор и точность приведенных фактов, цитат и других сведений, а также за неразглашение сведений, запрещенных законом к открытой публикации.*

*Редакция может публиковать материалы, не разделяя точку зрения автора.*

*Authors of the published materials are responsible for choice and accuracy of adduced facts, quotations and other information, also for not divulging information forbidden open publication.*

*Publishing material the editorial board may not share the views of the author.*

Tbilisi, `keramika~, Vol. 18. 1(35).2016  
masal is gadabeWvdvisas Jurnal is miTiTeba aucil ebel ia  
ТБИЛИСИ, “КЕРАМИКА”, Vol. 18. 1(35). 2016

При перепечатке ссылка на журнал обязательна  
TBILISI, “CERAMICS”, Vol. 18. 1(35). 2016  
Reference of magazine is obligatory on reprinting

pirobiTi nabeWdi Tabaxi 3. tiraji 50 egz., fasi saxel Sekrul ebo.

saqarTvel os keramikosTa asociacia, Tbilisi, kostavas 69, tel : 233-53-48, Sida 62-39,  
E-mail: kowsiri@gtu.ge, z. kovzirize



<http://www.ceramics.gtu.ge>